

ผลขององค์ประกอบของดาวบอน/เรซิโน่คอมพิวต์สมบูรณ์ของแผ่นโลหะเคลือบ

สำหรับเซลล์เชื่อเพลิงพื้นที่เอ็ม



นาย จักรพงศ์ ศิริประสมทรัพย์

ศูนย์วิทยทรัพยากร จุฬาลงกรณ์มหาวิทยาลัย

วิทยานิพนธ์นี้เป็นส่วนหนึ่งของการศึกษาตามหลักสูตรปริญญาวิทยาศาสตรมหาบัณฑิต

สาขาวิชาเทคโนโลยีเชื่อเพลิง ภาควิชาเคมีเทคนิค

คณะวิทยาศาสตร์ จุฬาลงกรณ์มหาวิทยาลัย

ปีการศึกษา 2553

ลิขสิทธิ์ของจุฬาลงกรณ์มหาวิทยาลัย

EFFECTS OF COMPOSITION OF CARBON/RESIN COMPOSITE ON COATED METAL
PLATE PROPERTIES FOR PEM FUEL CELL

Mr. Jakrapong Siriprasomsub

ศูนย์วิทยทรัพยากร
จุฬาลงกรณ์มหาวิทยาลัย

A Thesis Submitted in Partial Fulfillment of the Requirements

for the Degree of Master of Science Program in Fuel Technology

Department of Chemical Technology

Faculty of Science

Chulalongkorn University

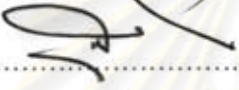
Academic Year 2010

Copyright of Chulalongkorn University

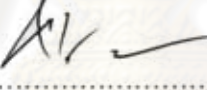
หัวข้อวิทยานิพนธ์
โดย
สาขาวิชา^๑
อาจารย์ที่ปรึกษาวิทยานิพนธ์หลัก

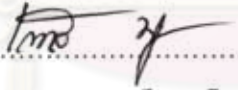
ผลขององค์ประกอบของかる์บอน/เชิงคอมโพสิตต่อสมรรถภาพ
ของแผ่นโลหะเคลือบสำหรับเหล็กเชือเพลิงพื้นดิน
นาย จักรพงศ์ ศิริประสมทรัพย์
เทคโนโลยีเชือเพลิง
รองศาสตราจารย์ ดร.เก็บวี พฤกษาทร

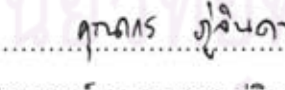
คณะวิทยาศาสตร์ จุฬาลงกรณ์มหาวิทยาลัย อนุมัติให้นับวิทยานิพนธ์ฉบับนี้เป็นส่วนหนึ่ง
ของการศึกษาตามหลักสูตรบริณญาณมาตรฐานชิต


..... คณบดีคณะวิทยาศาสตร์
(ศาสตราจารย์ ดร.สุพจน์ นารอนงบัว)

คณะกรรมการสอบวิทยานิพนธ์


..... ประธานกรรมการ
(รองศาสตราจารย์ ดร.อราพงษ์ วิทิตศานต์)


..... อาจารย์ที่ปรึกษาวิทยานิพนธ์หลัก
(รองศาสตราจารย์ ดร.เก็บวี พฤกษาทร)


..... กรรมการ
(อาจารย์ ดร.คุณานคร ภู่จินดา)


..... กรรมการภายนอกมหาวิทยาลัย
(รองศาสตราจารย์ ดร.สมศักดิ์ วงศ์สวัสดิ์)

จักรพงศ์ ศิริประสมทรัพย์: ผลขององค์ประกอบของคาร์บอน/เรซินคอมโพสิตต่อสมบัติของแผ่นโลหะเคลือบสำหรับเซลล์เชื้อเพลิงพีอีเอ็ม. (EFFECTS OF COMPOSITION OF CARBON/RESIN COMPOSITE ON COATED METAL PLATE PROPERTIES FOR PEM FUEL CELL) อ. ที่ปรึกษาวิทยานิพนธ์หลัก: ดร. เก่งวุฒิ พฤกษาทร, 84 หน้า.

งานวิจัยนี้ศึกษาผลขององค์ประกอบของสารเคลือบที่มีต่อสมบัติการด้านทานการกัดกร่อนและการนำกระแทไฟฟ้าของแผ่นโลหะเคลือบcarbon/rezinc composite โดยใช้ผงแปรงถ่านเป็นองค์ประกอบหลักและใช้สารตัวเติมเป็นท่อนาในcarbonที่มีค่าการนำไฟฟ้าต่างกัน รวมกับตัวประสานคือซิงก์เรซิน (Zinc resin) และอะคริลิกเรซิน (Acrylic resin) องค์ประกอบรวมของการเคลือบคือ ผงแปรงถ่าน เรซิน และตัวทำละลาย ร้อยละ 20 30 และ 50 ตามลำดับ โดยใช้วิธีสเปรย์ในการเคลือบผิวโลหะที่ความหนาของฟิล์มระหว่าง 0.09 ถึง 0.11 มิลลิเมตร และศึกษาท่อนาในcarbonบนในช่วงร้อยละ 1- 5 โดยน้ำหนักในการแทนที่ตัวทำละลาย จากผลการทดลองพบว่า การใช้ซิงก์เรซิน (Zinc resin) จะมีค่าความด้านทานเรืองส้มผัสต่ำกว่าอะคริลิกเรซิน (Acrylic resin) แต่ค่าการกัดกร่อนสูงกว่า ส่วนค่าความด้านทานเรืองส้มผัสมีค่าลดลงเมื่อการเติมท่อนาในcarbonในปริมาณร้อยละ 0- 2 โดยน้ำหนักการเติมท่อนาในcarbonที่มีสภาพนำไปไฟฟ้าสูง (100 ซีเมนต์ต่อเซนติเมตร) ส่งผลให้สมบัติของฟิล์มที่เคลือบดีที่สุด เมื่อปริมาณท่อนาในcarbonเพิ่มขึ้นทำให้สภาพนำไปไฟฟ้า การด้านทานการกัดกร่อนและการยึดติดของฟิล์มที่เคลือบมีแนวโน้มต่ำลงทั้งเรซิน 2 ชนิด การเติมท่อนาในcarbonชนิด 100 ซีเมนต์ต่อเซนติเมตร ร้อยละ 2 โดยน้ำหนักในการเคลือบด้วยซิงก์เรซินและอะคริลิกเรซิน ให้ค่าความด้านทานเรืองส้มผัส 4 และ 35 มิลลิโอมตารางเซนติเมตร และค่ากระแทไฟฟ้า 0.5 ในโครงปีต่อตารางเซนติเมตร ตามลำดับ พบว่าให้ค่ากระแทไฟฟ้าต่ำกว่าแผ่นโลหะที่ไม่ได้เคลือบ เมื่อนำแผ่นโลหะเคลือบด้วยซิงก์เรซินไปไว้ในเซลล์เชื้อเพลิง ให้ค่าความหนาแน่นกระแทไฟฟ้า 325.2 มิลลิแอมเปอร์ต่อตารางเซนติเมตร และแผ่นโลหะเคลือบด้วยอะคริลิกเรซินให้ค่าความหนาแน่นกระแทไฟฟ้า 259 มิลลิแอมเปอร์ต่อตารางเซนติเมตร ซึ่งน้อยกว่าชุดเซลล์เชื้อเพลิงเดียวกันที่ใช้แผ่นนำกระแทไฟฟ้านิดแกร์ไฟต์เรืองพาณิชย์ (395.4 มิลลิแอมเปอร์ต่อตารางเซนติเมตร) ที่ความต่างศักย์ 0.6 โวลต์

ภาควิชา.....เคมีเทคนิค.....
สาขาวิชา.....เทคโนโลยีเชื้อเพลิง.....
ปีการศึกษา.....2553.....

ลายมือชื่อนิสิต.....ที่นี่.....
ลายมือชื่อ อ.ที่ปรึกษาวิทยานิพนธ์หลัก.....

5172236123 : MAJOR FUEL TECHNOLOGY

KEYWORDS: BIPOLAR PLATE / CARBON COMPOSITE / STAINLESS STEEL.

JAKRAPONG SIRIPRASOMSUB: EFFECTS OF COMPOSITION OF CARBON/RESIN COMPOSITE ON COATED METAL PLATE PROPERTIES FOR PEM FUEL CELL. ADVISOR: ASSOC. PROF. KEJVALEE PRUKSATHORN, Ph.D., 84 pp.

This research was to study the effect of composition in coating layer on corrosion protection and electronically conductive of SUS 304 stainless steel coated by carbon/resin composite. The carbon base is carbon brush powder. The additive is carbon nanotubes. Zinc resin and acrydic are used as a binder. The studied parameter was amount of carbon nanotubes (CNTs) 1-5 wt% in carbon/resin composite layers. The composition of coating was 20 wt% of carbon, 30 wt% of resin and 50 wt% of solvent. The spray technique is used to coat carbon composite on the stainless steel. The results were shown that zinc resin binder gave lower interfacial contact resistance (ICR) than acrydic resin, but corrosion rate is higher. The ICR decreased when CNTs were added until 2 wt%. The addition of 3 types of CNTs, high conductivity CNTs (100 S/cm) revealed the best condition for metal coated carbon/resin composite. The corrosion resistance and adhesion of coating film had lower trend in both of resins when CNTs were added over 2 wt%. Addition of CNTs 2 wt%, the ICR at 200 lb._{in} tightening force was 35 and 4 m Ω cm² when acrydic resin and zinc resin were used, respectively. Corrosion rate of zinc and acrydic resin were 6 and 0.5 μ A/cm², respectively. When coated metal plate with zinc resin and acrydic resin were used in fuel cell, current density were 325.2 mA/cm² and 259 mA/cm², respectively. This was less than commercial graphite plate of 395.4 mA/cm².

Department :.....Chemical Technology..... Student's Signature.....*Jakrapong Siriprasomsub*
Field of Study :.....Fuel Technology..... Advisor's Signature.....*K. Pukkathorn*
Academic Year :.....2010.....

กิตติกรรมประกาศ

ขอกราบขอบพระคุณ รองศาสตราจารย์ ดร. เก้าวี พฤกษาทร อาจารย์ที่ปรึกษา
วิทยานิพนธ์ที่กรุณาให้คำปรึกษา แนะนำ และช่วยเหลือให้งานวิจัยครั้งนี้สำเร็จลุล่วงไปได้ด้วยดี
รวมทั้งคณาจารย์ทุกท่านในภาควิชาเคมีเทคนิค ที่ได้ให้คำแนะนำ และความช่วยเหลือ

ขอขอบพระคุณรองศาสตราจารย์ ดร. มรภาพงษ์ วิทิตศานต์ ประธานกรรมการ
สอบวิทยานิพนธ์ อาจารย์ ดร.คุณกร ภูจินดา และ รองศาสตราจารย์ ดร.สมศักดิ์ วรมงคลชัย ที่ได้
กรุณารับเป็นกรรมการในการสอบวิทยานิพนธ์และให้คำแนะนำ แก้ไขข้อผิดพลาดเพื่อให้
วิทยานิพนธ์ฉบับนี้สมบูรณ์ยิ่งขึ้น ซึ่งผู้วิจัยต้องขอขอบพระคุณมา ณ ที่นี่

ขอขอบคุณโครงการพัฒนาบัณฑิตศึกษาและวิจัยด้านเชื้อเพลิง ภายใต้โครงการ
พัฒนาบัณฑิตศึกษาด้านวิทยาศาสตร์และเทคโนโลยี ศูนย์ความเป็นเลิศแห่งชาติด้านปฏิรูปพลังงาน
ปฏิรูปเคมีและวัสดุขั้นสูง ที่ได้มอบทุนอุดหนุนและส่งเสริมวิทยานิพนธ์

ขอขอบคุณเจ้าหน้าที่ บุคลากรภาควิชาเคมีเทคนิคทุกท่านที่ได้ให้ความช่วยเหลือ
และคำนึงถึงความสะอาดตลอดการทำวิจัย

ขอขอบคุณเพื่อนๆ พี่ๆ น้องๆ ในภาควิชาเคมีเทคนิคทุกท่านที่ได้ให้ความ
ช่วยเหลือคำแนะนำ และให้กำลังใจ ทำให้การทำวิจัยลุล่วงไปได้ด้วยดี

สุดท้ายนี้ ขอกราบขอบพระคุณบิดา-มารดา และทุกคนในครอบครัวที่ให้กำลังใจ
เข้าใจ ให้ความช่วยเหลือ และให้การสนับสนุนที่ดีเสมอมาจนสำเร็จการศึกษา

จุฬาลงกรณ์มหาวิทยาลัย

สารบัญ

	หน้า
บทคัดย่อภาษาไทย.....	๔
บทคัดย่อภาษาอังกฤษ.....	๕
กิตติกรรมประกาศ.....	๖
สารบัญ.....	๗
สารบัญตาราง.....	๘
สารบัญภาพ.....	๙

บทที่

1 บพนฯ.....	1
1.1 ที่มาและความสำคัญ.....	1
1.2 วัตถุประสงค์.....	2
1.3 ประโยชน์ที่คาดว่าจะได้รับจากการวิจัยนี้.....	2
1.4 ขั้นตอนการวิจัย.....	2
2 ทฤษฎีและงานวิจัยที่เกี่ยวข้อง	4
2.1 เทคโนโลยีไฮดรเจนและเซลล์เชื้อเพลิงชนิดเมมเบรนแลกเปลี่ยนโปรตอน.....	4
2.2 แผ่นนำกระแสไฟฟ้าแบบสองขั้ว.....	7
2.2.1 แผ่นนำกระแสไฟฟ้าแบบสองขั้วชนิดแผ่นเกราะไฟต์ที่ไม่มีรูพรุน.....	8
2.2.2 แผ่นนำกระแสไฟฟ้าสองขั้วแบบคอมโพสิต.....	9
2.2.3 แผ่นนำกระแสไฟฟ้าสองขั้วแบบโลหะ.....	11
2.3 เหล็กกล้าไร้สนิม.....	16
2.3.1 ประเภทของเหล็กกล้าไร้สนิม.....	17
2.3.2 ธาตุและการให้คุณสมบัติของธาตุที่ผสมลงในเนื้อเหล็กกล้าไร้สนิม.....	19
2.4 คาร์บอน.....	20
2.5 ท่อนาโนคาร์บอน.....	23
2.5.1 การสังเคราะห์ท่อนาโนคาร์บอน.....	23
2.5.2 รูปแบบและโครงสร้างของท่อนาโนคาร์บอน.....	25
2.5.3 สมบัติต่างๆของท่อนาโนคาร์บอน.....	28
2.6 การสังเคราะห์หมู่ฟังก์ชันลงบนท่อนาโนคาร์บอน.....	31
2.7 งานวิจัยที่เกี่ยวข้อง.....	34

บทที่		หน้า
3	เครื่องมือและวิธีการทดลอง.....	36
3.1	วัสดุและสารเคมีที่ใช้ในการวิจัย.....	36
3.2	เครื่องมือและอุปกรณ์.....	36
3.3	การดำเนินงานวิจัย.....	37
3.3.1	การเตรียมผู้ชี้นำก่อนการเคลือบผิว.....	37
3.3.2	การเคลือบผิวโดยการใช้สารยึดเกาะซิงก์เรซินและอะคริลิกเรซิน.....	37
3.3.3	วัดค่าการกัดกร่อนของชิ้นงานที่เคลือบผิวด้วยคาร์บอนคอมพอยต์.....	38
3.3.4	วัดค่าความต้านทานเชิงสัมผัสของชิ้นงาน.....	40
3.3.5	การทดสอบสมบัติเหล็กกล้าไร์สนิมที่ผ่านการเคลือบผิวเตรียมเป็นแผ่นนำร่องแล้วเพ้าแบบสองขั้วนิดละในเซลล์เชื้อเพลิงชนิดพื้นเมือง.....	42
4	ผลการทดลองและวิจารณ์ผลการทดลอง.....	44
4.1	การศึกษาผลของปริมาณผงแปรงถ่านในสารเคลือบต่อสมบัติของแผ่นเหล็กกล้าไร์สนิมเคลือบคาร์บอนคอมพอยต์ที่ใช้ซิงก์เรซินเป็นตัวประสาน.....	45
4.2	ผลของค่าความต้านทานเชิงสัมผัสและอัตราการกัดกร่อนของชิ้นงานที่เคลือบผิวด้วยสารเคลือบที่มีซิงก์เรซินเป็นตัวประสานและมีการใช้ท่อนาในคาร์บอนชนิดการนำไฟฟ้าต่ำเป็นสารตัวเติม.....	47
4.3	ผลของค่าความต้านทานเชิงสัมผัสและอัตราการกัดกร่อนของแผ่นเหล็กกล้าไร์สนิมเคลือบคาร์บอนคอมพอยต์เมื่อใช้อะคริลิกเรซินเป็นตัวประสาน.....	52
4.4	ผลของค่าความต้านทานเชิงสัมผัสและอัตราการกัดกร่อนของแผ่นเหล็กกล้าไร์สนิมเคลือบคาร์บอนคอมพอยต์เมื่อมีการใช้ท่อนาในคาร์บอนชนิดที่มีค่าการนำไฟฟ้าสูงเมื่อใช้อะคริลิกเรซินเป็นตัวประสาน.....	54
4.5	ผลของการเพิ่มปริมาณผงแปรงถ่านต่อค่าความต้านทานเชิงสัมผัสของแผ่นเหล็กกล้าไร์สนิมเคลือบคาร์บอนคอมพอยต์.....	57
4.6	ผลของค่าความต้านทานเชิงสัมผัสและอัตราการกัดกร่อนของแผ่นเหล็กกล้าไร์สนิมเคลือบคาร์บอนคอมพอยต์เมื่อมีการใช้ท่อนาในคาร์บอนชนิดที่มีค่าการนำไฟฟ้าสูงเมื่อใช้ซิงก์เรซินเป็นตัวประสาน.....	58

บทที่	หน้า
4.7 ผลของสมบัติการยึดติดของแผ่นเหล็กกล้าไว้สนิมเคลือบคาร์บอนคอมโพสิต เมื่อมีการใช้ท่อนาโนคาร์บอนที่มีค่าการนำไฟฟ้าสูงเมื่อใช้ชิงก์เรซินเป็นตัวประสาณ.....	62
4.8 ผลของค่าการความต้านสัมผัสและอัตราการกัดกร่อนของแผ่นเหล็กกล้าไว้สนิมเคลือบคาร์บอนคอมพอยต์เมื่อมีการใช้ตัวประสาณที่มีการผสมกันระหว่างชิงก์เรซินและอะคริลิกเรซิน.....	64
4.9 ผลของความหนาของการเคลือบแผ่นเหล็กกล้าไว้สนิมด้วยคาร์บอนคอมพอยต์เมื่อมีการใช้อะคริลิกเรซินเป็นตัวประสาณต่อค่าความต้านทานเชิงสัมผัส และอัตราการกัดกร่อน.....	66
4.10 การทดสอบสมรรถนะเซลล์เชือเพลิงเมื่อใช้แผ่นนำกระแสไฟฟ้าแบบสองขั้ว ชนิดโลหะเคลือบด้วยคาร์บอนคอมพอยต์จากการงานวิจัย.....	67
5 สรุปผลการทดลองและข้อเสนอแนะ.....	70
5.1 สรุปผลการทดลอง.....	70
5.2 ข้อเสนอแนะในงานวิจัย.....	71
รายการข้างต้น.....	72
ภาคผนวก.....	75
ภาคผนวก ก สมบัติของสารเคมีที่ใช้ในงานวิจัย.....	76
ภาคผนวก ข ตัวอย่างการคำนวณ.....	80
ประวัติผู้เขียนวิทยานิพนธ์.....	84

ศูนย์วิทยทรัพยากร จุฬาลงกรณ์มหาวิทยาลัย

สารบัญตาราง

ตาราง	หน้า
2.1 วัสดุค่าว์บอนคอมพอยสิตสำหรับใช้ผลิตแผ่นนำกระแสงไฟฟ้าแบบสองขั้ว.....	10
2.2 วัสดุเคลือบสำหรับแผ่นนำกระแสงไฟฟ้าแบบสองขั้วบนแผ่นโลหะชนิดต่างๆ.....	13
2.3 กระบวนการเคลือบโลหะ.....	14
2.4 การเบรียบเทียบวัสดุที่นิยมนำมาใช้เป็น bipolar plate.....	15
2.5 การเบรียบเทียบสมบัติเชิงกลของท่อนาโนคาร์บอนชนิดต่างๆ.....	29
4.1 สมบัติของท่อนาโนคาร์บอนชนิดต่างๆที่ใช้เป็นสารตัวเติม.....	54
4.2 ความสัมพันธ์ของค่าความเป็นกรดเบสของสารละลายกรดชัลฟิวเริก 0.1 มิลาร์ เมื่อจุ่มแผ่นเหล็กกล้าไว้สนิมเคลือบcarbon compositeที่มีการใช้ท่อนาโนคาร์บอนเป็นสารตัวเติมที่ร้อยละโดยน้ำหนักต่างๆ.....	61
4.3 ความสัมพันธ์ของค่าความต้านสัมผัสและอัตราการกัดกร่อนของแผ่นเหล็กกล้าไว้สนิมเคลือบcarbon compositeที่มีการใช้ตัวประสานที่มีการผสมกันระหว่างชิ้งค์เรซิโนและอะคริลิกเรซิโน.....	64
4.4 ความสัมพันธ์ของค่าความต้านสัมผัสและอัตราการกัดกร่อนของแผ่นเหล็กกล้าไว้สนิมเคลือบcarbon compositeที่มีการใช้ตัวประสานที่มีการผสมกันระหว่างชิ้งค์เรซิโนและอะคริลิกเรซิโน เมื่อมีการเติมอะคริลิกเรซิโนในปริมาณต่ำ....	65

สารบัญภาพ

ภาพประกอบ	หน้า
2.1 ส่วนประกอบและการทำงานของเซลล์เชื้อเพลิงชานิด PEM	5
2.2 หอยเซลล์เชื้อเพลิง	7
2.3 แบบจำลองแสดงโครงสร้างของเกรไฟต์	21
2.4 แบบจำลองแสดงโครงสร้างของบัคกีบูล	22
2.5 ตัวอย่างแสดงโครงสร้าง resonance	22
2.6 การสังเคราะห์ท่อ nano ในการบอนโดยวิธีตกสะสมไอเคมี	24
2.7 การสังเคราะห์ท่อ nano ในการบอนโดยวิธีอาร์ค迪สชาร์จ	24
2.8 การสังเคราะห์ท่อ nano ในการบอนโดยวิธีระเหยด้วยเลเซอร์	25
2.9 โครงสร้างของท่อ nano ในการบอน	26
2.10 ทิศทางผลึกในโครงสร้างของท่อ nano ในการบอน	27
2.11 Electron micrograph แสดงให้เห็นถึงท่อ nano ในผนังหลาຍขึ้น	28
2.12 รูปแบบต่างๆ ของการสังเคราะห์หมุ่ฟังก์ชันลงบน nano ในการบอนแบบผนังขึ้น เดียว a) แบบไม่ใช้แรงจากพันธะโควาเลนต์ b) แบบสังเคราะห์หมุ่ฟังก์ชันลงบน จุดบกพร่องบนท่อ c) แบบแต่ละจุดต่อเนื่องบนผนังท่อ d) แบบสม่ำเสมอบน ผนังท่อและ e) แบบที่มีหมุ่ฟังก์ชันภายในท่อ	32
2.13 รูปแบบโครงสร้างของท่อ nano ในการบอนที่มี (A) หมุ่การบอกซีลิกและ (B) หมุ่ 1,3-dipolar azomethine	33
2.14 ผลของการเติมท่อ nano ในการบอนที่มีการสังเคราะห์หมุ่ฟังก์ชันชนิดต่างๆ ต่อค่า การนำไฟฟ้าของวัสดุคอมโพสิต	33
3.1 การวัดค่าการกัดกร่อนของชิ้นงาน	40
3.2 ค่าความต้านทานเป็นความชันของกราฟระหว่างค่าความต้านทานศักย์และ กระแสไฟฟ้า	40
3.3 การจัดเรียงอุปกรณ์การวัดความต้านทานเชิงสัมผัส (ICR)	42
3.4 การการวัดความต้านทานเชิงสัมผัส (ICR)	42
4.1 ความสัมพันธ์ของค่าความต้านทานสัมผัส และค่าการกัดกร่อนของแผ่น เหล็กกล้าไร้สนิม (SUS 304) โดยสารเคลือบประกอบด้วยผงแปรุงถ่าน (CB): ชิ้งก์เรชิน: ตัวทำละลายโลหุอิน ในอัตราส่วน 25:10:65 โดยนำหนักที่ความหนา ในการเคลือบผิวต่างๆ	45

ภาพประกอบ	หน้า
4.2 ความสัมพันธ์ของค่าความต้านทานสัมผัสแผ่นเหล็กกล้าไร้สนิม (SUS 304) เคลือบด้วยคาร์บอนคอมโพสิต โดยใช้ผงแปร่งถ่าน (CB) เคลือบในอัตราส่วนร้อยละโดยน้ำหนักที่แตกต่างกัน ที่ไมเมนต์ทอร์กในการอัดชิ้นงานต่างๆ.....	46
4.3 ความสัมพันธ์ของค่าความต้านทานสัมผัสของแผ่นเหล็กกล้าไร้สนิม (SUS 304) เคลือบด้วยคาร์บอนคอมโพสิต กับไมเมนต์ทอร์กในการอัดชิ้นงานค่าต่างๆ โดยสารเคลือbmีซิงก์เรซินเป็นตัวประสานและมีการเติมท่อนาโนคาร์บอนที่ร้อยละโดยน้ำหนักต่างๆ 2 และ 4 โดยน้ำหนัก.....	47
4.4 ความสัมพันธ์ของค่าความต้านทานสัมผัสของแผ่นเหล็กกล้าไร้สนิม (SUS 304) เคลือบด้วยคาร์บอนคอมโพสิต โดยสารเคลือbmีซิงก์เรซินเป็นตัวประสานและมีการเติมท่อนาโนคาร์บอนที่ร้อยละโดยน้ำหนักต่างๆ กับไมเมนต์ทอร์กในการอัดชิ้นงาน.....	48
4.5 ความสัมพันธ์ค่าการกัดกร่อนของแผ่นเหล็กกล้าไร้สนิม (SUS 304) เคลือบด้วยคาร์บอนคอมโพสิต โดยสารเคลือbmีซิงก์เรซินเป็นตัวประสานและมีการเติมท่อนาโนคาร์บอนที่ร้อยละโดยน้ำหนักต่างๆ.....	50
4.6 ภาพถ่ายของแผ่นเหล็กกล้าไร้สนิมเคลือบคาร์บอนคอมโพสิตที่มีการเติมท่อนาโนคาร์บอนปริมาณต่างๆ จากกล้องจุลทรรศน์ (A) ไม่มีการเติมท่อนาโนคาร์บอน, (B) เติมท่อนาโนคาร์บอนร้อยละ 2 โดยน้ำหนักและ (C) เติมท่อนาโนคาร์บอนร้อยละ 4 โดยน้ำหนัก.....	51
4.7 แสดงความสัมพันธ์ของค่าการกัดกร่อนของแผ่นเหล็กกล้าไร้สนิมเคลือบด้วยคาร์บอนคอมโพสิตกับร้อยละของท่อนาโนคาร์บอนที่ใช้เป็นสารตัวเติม โดยใช้ตัวประสานที่ต่างกันคือ ซิงก์เรซินและอะคริลิกเรซิน.....	52
4.8 ความสัมพันธ์ของค่าความต้านทานสัมผัสที่ไมเมนต์ทอร์ก 200 ปอนด์แรงนิวตันของแผ่นเหล็กกล้าไร้สนิม (SUS 304) เคลือบด้วยคาร์บอนคอมโพสิตที่มีการใช้ตัวประสานต่างชนิดกันคืออะคริลิกเรซินและซิงก์เรซิน กับร้อยละการเติมท่อนาโนคาร์บอนที่โดยน้ำหนัก.....	53
4.9 ความสัมพันธ์ของค่าความต้านทานสัมผัสที่ไมเมนต์ทอร์ก 200 ปอนด์แรงนิวตันของแผ่นเหล็กกล้าไร้สนิม (SUS 304) เคลือบด้วยคาร์บอนคอมโพสิตกับชนิดของท่อนาโนคาร์บอนที่ใช้เป็นสารตัวเติมในร้อยละโดยน้ำหนักต่างๆ.....	55
4.10 ความสัมพันธ์ของค่าอัตราการกัดกร่อนในสารละลายกรดซัลฟิวริก 0.1 มอลาร์	

ภาพประกอบ	หน้า
ของแ芬เหล็กกล้าไร้สนิม (SUS 304) เคลือบด้วยคาร์บอนคอมพอสิตกับชนิด ของท่อนในคาร์บอนที่ใช้เป็นสารตัวเติมในร้อยละการเติมโดยน้ำหนักต่างๆ.....	
	56
4.11 ความสัมพันธ์ของค่าความต้านทานสัมผัส ของแ芬เหล็กกล้าไร้สนิม (SUS 304) เคลือบด้วยคาร์บอนคอมพอสิตกับปริมาณของผงแปร่งต่านเมื่อมีการเติม ท่อนในคาร์บอนในร้อยละการเติมโดยน้ำหนักต่างๆ.....	57
4.12 ความสัมพันธ์ของค่าความต้านทานสัมผัสที่ไมเนนเดอร์ทอร์ก 200 ปอนด์แรงนิว ของแ芬เหล็กกล้าไร้สนิม (SUS 304) เคลือบด้วยคาร์บอนคอมพอสิตที่มีการใช้ ซิงก์เรชินเป็นตัวประสานกับชนิดของท่อนในคาร์บอนที่ใช้เป็นสารตัวเติมใน ร้อยละโดยน้ำหนักต่างๆ.....	59
4.13 ความสัมพันธ์ของค่าการกัดกร่อนของแ芬เหล็กกล้าไร้สนิม (SUS 304) โดยสารเคลือบด้วยคาร์บอนคอมพอสิตที่มีการใช้ซิงก์เรชินเป็นตัวประสานกับ [*] ชนิดของท่อนในคาร์บอนที่ใช้เป็นสารตัวเติมในร้อยละโดยน้ำหนักต่างๆ.....	60
4.14 ภาพถ่ายของแ芬เหล็กกล้าไร้สนิมเคลือบคาร์บอนคอมพอสิตที่มีการเติมท่อน ในคาร์บอนปริมาณต่างๆ จากกล้องจุลทรรศน์ (A) เติมท่อนในคาร์บอนร้อยละ 2 โดยน้ำหนัก, (B) เติมท่อนในคาร์บอนร้อยละ 3 โดยน้ำหนักและ (C) เติมท่อน ในคาร์บอนร้อยละ 4 โดยน้ำหนัก หลังจากการทดสอบค่าความต้านทาน สัมผัสที่ไมเนนเดอร์ทอร์ก 200 ปอนด์แรงนิว.....	62
4.15 ความสัมพันธ์ของค่าแรงที่ใช้ดึงพิล์มของแ芬เหล็กกล้าไร้สนิม (SUS 304) โดยสารเคลือบด้วยคาร์บอนคอมพอสิตที่มีการใช้ตัวประสานชนิดต่างๆกับการ เติมท่อนในคาร์บอนในร้อยละโดยน้ำหนักต่างๆ.....	63
4.16 ความสัมพันธ์ของความหนาของการเคลือบแ芬เหล็กกล้าไร้สนิมด้วยคาร์บอน คอมพอสิตเมื่อมีการใช้อัลตร้าโซนิกเรชินเป็นตัวประสานต่อค่าความต้านทานเชิง สัมผัสและอัตราการกัดกร่อน.....	66
4.17 โพลาไรเซชันของชุดเซลล์เชือกเพลิงเดี่ยวที่ใช้แ芬นำกระแสงไฟฟ้าชนิดโลหะ เคลือบด้วยคาร์บอนคอมพอสิต แ芬นำกระแสงไฟฟ้าชนิดโลหะ เปรียบเทียบกับ ชุดเซลล์เชือกเพลิงเดี่ยวที่ใช้แ芬นำกระแสงไฟฟ้าเชิงพาณิชย์ของ Electrochem ..	67

ภาพประกอบ

หน้า

- 4.18 โลลาไรเซ็นของชุดเซลล์เชือกเพลิงเดี่ยวที่ใช้แผ่นนำกระแสงไฟฟ้าชนิดโลหะเคลือบด้วยคาร์บอนคอมพอสิตโดยใช้ท่อนาโนคาร์บอนชนิดสภาพนำไฟฟ้าสูง Timesnano 1 (B) ที่ร้อยละ 2 โดยน้ำหนัก โดยใช้อัตราคิดิกรีซินเป็นตัวประสานที่ความหนาในการเคลือบแผ่นโลหะและแรงอัดเซลล์ต่างกัน..... 68



บทที่ 1

บทนำ

1.1 ที่มาและความสำคัญ

ในช่วงศตวรรษที่ผ่านมาแหล่งพลังงานที่ใช้ส่วนใหญ่ได้จากน้ำมันเชื้อเพลิง แต่ความต้องการที่เพิ่มขึ้นและแหล่งผลิตที่มีอยู่จำกัดทำให้เกิดปัญหาการขาดแคลนน้ำมัน จากเหตุดังกล่าวจึงได้มีการค้นคว้าและพัฒนาแหล่งพลังงานเพื่อทดแทนพลังงานจากน้ำมันเชื้อเพลิง ซึ่งทางเลือกหนึ่งคือ พลังงานไฮโดรเจนซึ่งเป็นพลังงานที่ไม่ก่อให้เกิดมลพิษต่อสิ่งแวดล้อม โดยเซลล์เชื้อเพลิงเป็นเทคโนโลยีที่ใช้ในการแปลงพลังงานจากไฮโดรเจนเป็นพลังงานไฟฟ้าโดยเกิดปฏิกิริยาเคมีไฟฟ้ากับออกซิเจน สมบัติของเซลล์เชื้อเพลิงมีลักษณะคล้ายกับแบตเตอรี่ แต่มีการออกแบบมาให้มีการเติมสารตั้งต้นเข้าสู่ระบบตลอดเวลาทำให้ช่วยขจัดปัญหาความจุที่จำกัดของแบตเตอรี่ออกไป

หลักการทำงานของเซลล์เชื้อเพลิงพีอีเอ็ม (Proton Exchange Membrane fuel cell) เมื่อแก๊สไฮโดรเจนผ่านเข้าทางช่องทางเข้า แก๊สไฮโดรเจนจะเกิดปฏิกิริยาออกซิเดชันโดยอาศัยตัวเร่งปฏิกิริยาที่ข้าวแอนด์ได้เป็นอิเล็กตรอนอิสระเคลื่อนผ่านตัวนำไฟฟ้าและโปรดอนเคลื่อนตัวผ่านแผ่นเยื่อแลกเปลี่ยนโปรดอนที่เป็นแผ่นพอลิเมอร์ไปเกิดปฏิกิริยาไวริดักชันกับออกซิเจนที่ข้าวแคโทดโดยอาศัยตัวเร่งปฏิกิริยาช่วยในการรวมตัว เกิดเป็นผลิตภัณฑ์น้ำ ไฟฟ้าและความร้อน จึงถือเป็นพลังงานที่เป็นมิตรต่อสิ่งแวดล้อม เซลล์เชื้อเพลิงมีประสิทธิภาพสูงประมาณร้อยละ 40-50 หากกว่าประสิทธิภาพของเครื่องยนต์ชนิดเผาไหม้ภายในสามารถทำงานได้ในสภาพแวดล้อมที่มีอุณหภูมิต่ำ [1, 2]

ปัจจุบันได้มีการพัฒนาทางด้านวิศวกรรมและวัสดุทำให้เซลล์เชื้อเพลิงสามารถเพิ่มความหนาแน่นกำลัง (power density) ให้สูงระดับหน่วยชั้นเซลล์เชื้อเพลิง (Fuel-Cell Stack) มีขนาดเล็กและยังสามารถให้กำลังได้สูง การเพิ่มกำลังของเซลล์เชื้อเพลิงทำโดยนำแต่ละเซลล์มาต่ออนุกรมกัน เชื่อมด้วยแผ่นนำกระแสไฟฟ้าแบบสองข้าง ที่เป็นตัวนำกระแสไฟฟ้าจากเซลล์หนึ่งไปสู่อีกเซลล์หนึ่ง นอกเหนือนี้แผ่นนำกระแสไฟฟ้าเป็นส่วนที่กำหนดปริมาตร น้ำหนัก (แผ่นนำกระแสไฟฟ้าแบบสองข้างนี้คิดเป็นร้อยละ 80 โดยน้ำหนักจากน้ำหนักทั้งหมดของเซลล์เชื้อเพลิง) และราคาของเซลล์เชื้อเพลิง วัสดุที่นิยมใช้ทำแผ่นนำกระแสไฟฟ้าแบบสองข้างคือเกรไฟต์ เนื่องจากมีความเสถียรทางเคมีและมีค่าการนำไฟฟ้าที่สูง ซึ่งการนำไฟฟ้าที่ดีนี้จะทำให้ลดความต้านทานภายในของเซลล์เชื้อเพลิงและเพิ่มกำลังไฟฟ้าที่ได้รับ แต่เกรไฟต์มีข้อเสียทางด้านความเปราะบาง เมื่อได้รับแรงอัดขณะประกอบเป็นเซลล์จะแตกหักง่าย และยังมีกระบวนการการขึ้นรูปที่ยุ่งยากทำให้มีราคาสูง [3] ดังนั้นจึงมีการหันมาใช้

แผ่นนำกระแสงไฟฟ้าชนิดโลหะมากขึ้น เนื่องจากมีกระบวนการผลิตที่ง่าย ราคาถูกกว่าแบบเกราไฟต์ รวมถึงมีสมบัติเชิงกลและการนำกระแสงไฟฟ้าที่ดี แต่จะเกิดการกัดกร่อนได้ง่ายเนื่องจากภายใน เชลล์มีสภาพเป็นกรด จึงมีการศึกษาทางด้านการเคลือบผิวแผ่นโลหะด้วยคาร์บอนคอมพ็อกซิตเพื่อ ลดปัญหาการกัดกร่อน อย่างไรก็ตาม การเคลือบที่ภาวะไม่เหมาะสมยังเป็นสาเหตุให้เกิดการกัด กร่อนและสภาพนำกระแสงไฟฟ้ายังต่างกว่าเกราไฟต์ [4] จึงควรมีการศึกษาพัฒนาองค์ประกอบของ คาร์บอนคอมพ็อกซิตให้มีความเหมาะสมมากขึ้น เช่น การเติมท่อนาโนคาร์บอน (carbon nanotubes, CNTs) ผสมกับผงคาร์บอน ทำให้เกิดการทำงานร่วมกัน (synergistic) ทางด้านความ ทนทานต่อการกัดกร่อนและการนำไฟฟ้าที่ดีของแผ่นคาร์บอนคอมพ็อกซิต [5]

ในงานวิจัยนี้ทำการศึกษาผลขององค์ประกอบของสารเคลือบที่มีต่อสมบัติการต้านทานการ กัดกร่อนและความต้านทานเชิงล้มเหลวของแผ่นโลหะเคลือบคาร์บอน/เรซิโนมคอมพ็อกซิต

1.2 วัตถุประสงค์

- ศึกษาการเตรียมแผ่นโลหะเคลือบด้วยคาร์บอน/เรซิโนมคอมพ็อกซิตสำหรับเชลล์เชือเพลิงพืชีเอ็ม
- ศึกษาผลขององค์ประกอบของคาร์บอน/เรซิโนมคอมพ็อกซิตที่มีต่อสมบัติการนำไฟฟ้าและ ความต้านทานการกัดกร่อนของแผ่นโลหะเคลือบคาร์บอนคอมพ็อกซิต

1.3 ประโยชน์ที่คาดว่าจะได้รับจากการวิจัยนี้

- สามารถพัฒนาแผ่นนำกระแสงไฟฟ้าชนิดโลหะเคลือบสำหรับเชลล์เชือเพลิงพืชีเอ็ม
- สามารถเพิ่มประสิทธิภาพของแผ่นนำกระแสงไฟฟ้าชนิดโลหะเคลือบที่ใช้ในเชลล์ เชือเพลิงพืชีเอ็ม

1.4 ขั้นตอนการวิจัย

- ศึกษาค้นคว้าข้อมูลและงานวิจัยต่างๆ ที่เกี่ยวข้อง ศึกษาวิธีการและวางแผนการ ทดลอง เพื่อเป็นแนวทางในการทำการทดลองที่มีขั้นตอนเหมาะสมและไม่เกิด อันตราย
- เตรียมสารเคมี
- เตรียมอุปกรณ์สำหรับวัดความต้านทานไฟฟ้าและการกัดกร่อนของแผ่นโลหะเคลือบ
- ศึกษาการเตรียมแผ่นโลหะ โดยการเคลือบด้วยคาร์บอนคอมพ็อกซิต โดยวิธีฉีดพ่น

5. ศึกษาปัจจัยในองค์ประกอบของสารเคลือบที่มีผลต่อการเตรียมแผ่นโลหะเคลือบด้วยคาร์บอนคอมโพสิต โดยศึกษาตัวแปรดังนี้
 - ปริมาณและชนิดของท่อนานोคาร์บอน (Carbon nanotubes) ที่ใช้เป็นสารตัวเติม
 - อัตราส่วนที่เหมาะสมของคาร์บอน ท่อนานोคาร์บอนและเรซิน
 - ชนิดตัวประสาน (Binder)
6. นำชิ้นงานที่เตรียมได้ไปวิเคราะห์สภาพนำกระแทไฟฟ้าและการกัดกร่อน
7. ทดสอบสมรรถนะการใช้งานในเซลล์เชื้อเพลิง
8. วิเคราะห์ข้อมูล และสรุปผลการทดลอง
9. เขียนวิทยานิพนธ์

ศูนย์วิทยทรัพยากร
จุฬาลงกรณ์มหาวิทยาลัย

บทที่ 2

ทฤษฎีและงานวิจัยที่เกี่ยวข้อง

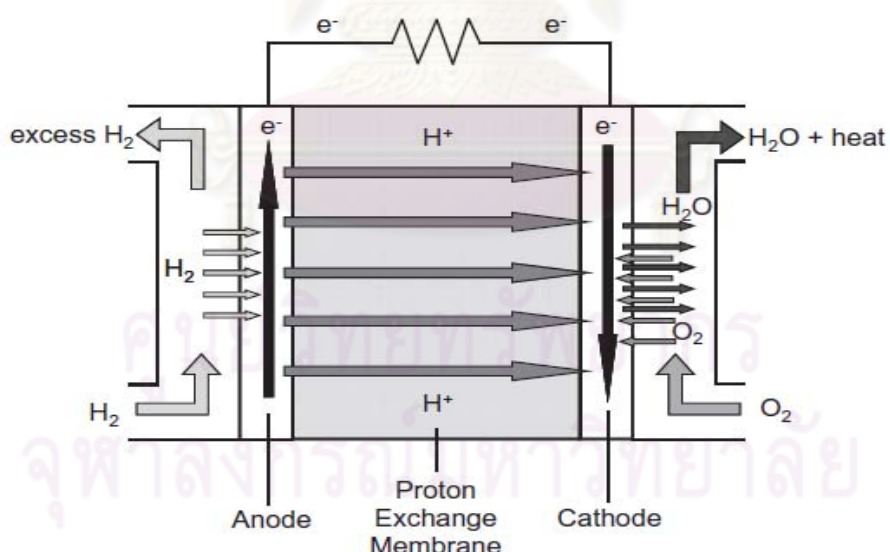
2.1 เทคโนโลยีไฮโดรเจนและเซลล์เชื้อเพลิงชนิดเมมเบรนแลกเปลี่ยนprotoon (พีอีเอ็ม)

ไฮโดรเจนเป็นธาตุที่เบาที่สุดและพบได้มากที่สุด เมื่อนำมาใช้ในรูปแบบของพลังงานซึ่งไม่มีอะตอมคาร์บอนเลยล่ะ ไม่ปล่อยคาร์บอนไดออกไซด์ออกมานะ แต่ไฮโดรเจนนั้นไม่ปราศภัยตามธรรมชาติ ในรูปที่แยกตัวเป็นอิสระจึงจำเป็นต้องนำมาแยกด้วยปฏิกิริยาทางเคมี ไฮโดรเจนเป็นองค์ประกอบของน้ำซึ่งเป็นสารประกอบที่อยู่ในสิ่งมีชีวิตทุกชนิดและมีคุณสมบัติสามารถทำปฏิกิริยากับธาตุอื่นๆ ได้ โดยปกติแล้วในอุตสาหกรรมมีการผลิตไฮโดรเจนเป็นปริมาณมากในโลกเพื่อใช้ในการผลิตเอมโมเนียเพื่อทำเป็นปุ๋ยสำหรับการเกษตรหรือใช้ในอุตสาหกรรม ส่วนทางปีตระเคมีเพื่อผลิตพอลิพรอพิลีน (Polypropylene) แต่น้อยมากที่ไฮโดรเจนได้ถูกนำมาใช้เป็นเชื้อเพลิงทั้งที่จริงแล้วเป็นเชื้อเพลิงประสิทธิภาพสูง โดยเมื่อเบรียบเทียบค่าพลังงานของไฮโดรเจนกับน้ำมันพบว่ามีค่าพลังงานมากกว่าประมาณ 3 เท่าตัวและมากกว่าถ่านหินถึง 4 เท่า [6] ซึ่งในปัจจุบันรถยนต์ใช้น้ำมันเป็นเชื้อเพลิง ซึ่งประสิทธิภาพในการเผาไหม้ค่อนข้างต่ำมาก เพราะพลังงานความร้อนของเครื่องยนต์จะสูญเสียไปกับไอเสีย ระบบระบายความร้อนและจะต้องสูญเสียไปกับปั๊มน้ำ พัดลมประสิทธิภาพรวมได้ประมาณ 20 % เท่านั้น นอกจากนั้นยังก่อให้เกิดมลภาวะต่อสิ่งแวดล้อม เพราะทำให้เกิดแก๊สพิษ เช่น แก๊สคาร์บอนไดออกไซด์ (CO_2), แก๊สคาร์บอนมอนอกไซด์ (CO) เป็นต้น ซึ่งเป็นทางเลือกหนึ่งที่มีศักยภาพสูงในการนำมาใช้งานอย่างจริงจังโดยใช้เทคโนโลยีเซลล์เชื้อเพลิง ขณะนี้นวัตกรรมทั่วโลกทั้งภาครัฐและภาคเอกชนได้ให้ความสนใจและร่วมลงทุนในการเตรียมพร้อมสำหรับการผลิตเซลล์เชื้อเพลิงเข้าสู่ตลาดพลังงานไฟฟ้าเนื่องจากเป็นพลังงานทดแทนที่สะอาดและไม่มีผลพิษต่อสิ่งแวดล้อม จึงนับได้ว่าเทคโนโลยีไฮโดรเจนเป็นพลังงานทดแทนที่สำคัญต่อการพัฒนาพลังงานรูปแบบใหม่ขึ้นให้เองในประเทศเพื่อวัตถุประสงค์ดังนี้ [7]

- ลดปริมาณการนำเข้าและใช้เชื้อเพลิงจำพวกน้ำมันและถ่านหิน
- สร้างเสริมการใช้พลังงานทดแทน
- ลดความเสี่ยงจากการพึ่งพาพลังงานที่ต้องนำเข้า
- ลดปัญหาผลกระทบทางอากาศ น้ำ รวมถึง ปราศภัยการณ์เรือนกระจก (green house effect) เพื่อรักษาสิ่งแวดล้อม

เซลล์เชื้อเพลิงเป็นอุปกรณ์ที่ทำให้เกิดปฏิกิริยาเคมีไฟฟ้าระหว่างออกซิเจนกับไฮโดรเจนซึ่งทำให้เกิดการเปลี่ยนแปลงไปเป็นพลังงานไฟฟ้าโดยไม่ต้องผ่านการเผาไหม้ คุณสมบัติของเซลล์เชื้อเพลิงจะมีลักษณะคล้ายกับแบตเตอรี่แต่สามารถจ่ายไฟฟ้าให้กับอุปกรณ์ไฟฟ้าได้โดยตรง โดยไม่ต้องนำมาอัดประจุใหม่ และใช้ไฮโดรเจนเป็นเชื้อเพลิง เซลล์เชื้อเพลิงประกอบด้วยเชื้อเพลิงออกซิเจน อิเล็กโทรไลต์ ขั้วแอนโอดและขั้วแคโทด ในการทำงานของเซลล์มีขั้นตอนคือ ไฮโดรเจนจากเชื้อเพลิงจะแตกตัวเป็นไฮโดรเจนไออ่อนและอิเล็กตรอนที่ขั้วแอนโอดและออกซิเจนจากอากาศ จะจับไฮโดรเจนไออ่อนที่ผ่านอิเล็กโทรไลต์มายังแคโทดเกิดปฏิกิริยาเรียดักชันดังแสดงในรูปที่ 2.1 อิเล็กตรอนที่เกิดขึ้นจะไหลเวียนทำให้เกิดพลังงานซึ่งพลังงานจะถูกส่งไปยังเครื่องยนต์โดยผ่านทางขั้วไฟฟ้าทั้ง 2 ขั้ว และผลที่ได้จากการเปลี่ยนแปลงนี้คือความร้อนและน้ำเท่านั้น จึงถือเป็นพลังงานที่เป็นมิตรต่อสิ่งแวดล้อม

เซลล์เชื้อเพลิงชนิดเยื่อแลกเปลี่ยนprototon (Proton exchange membrane fuel cells) ถูกคาดหมายว่าเป็นเซลล์เชื้อเพลิงชนิดที่ดีที่สุดที่จะนำมาใช้เป็นแหล่งจ่ายพลังงานให้กับยานพาหนะต่างๆ แทนที่เครื่องยนต์แบบแก๊สโซลินหรือดีเซลที่เป็นระบบการเผาไหม้ภายใน เนื่องจากให้ความหนาแน่นของพลังงานสูง มีการใช้งานที่อุณหภูมิต่ำ และเป็นมิตรกับสิ่งแวดล้อม ซึ่งในปัจจุบันถูกพัฒนาและกำลังระบบการใช้งานที่ให้พลังงานได้ในช่วง 1-2,000 วัตต์



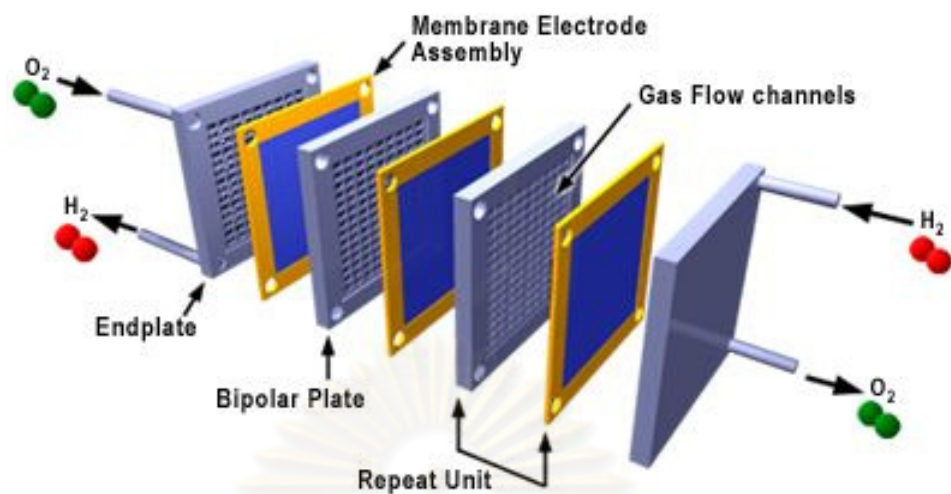
รูปที่ 2.1 ส่วนประกอบและการทำงานของเซลล์เชื้อเพลิงชนิด PEM [8]

ส่วนประกอบสำคัญของเซลล์เชื้อเพลิงชานิดพิโภคิม แบ่งได้ดังนี้

- แอนโnode (anode) เป็นข้าไฟฟ้าที่ให้ประจุลบกับเซลล์เชื้อเพลิง มีหน้าสำคัญคือ ส่งผ่านประจุอิเล็กตรอนหรือประจุไฟฟ้าลบออกไปทางข้าไฟฟ้าเมื่อต่อสายไฟกับ ข้าไฟฟ้า ประจุไฟฟ้าจะไหลออกไปทางนี้ ส่วนไขดรเจนที่ถูกดึงอิเล็กตรอนออกไป จะแสดงประจุบวก เรียกว่า protoon และถูกแรงดันของก๊าซขัดผ่านเซลล์ PEM ไป ยังตัวแคตตาลิสต์ (ตัวเร่งปฏิกิริยาเคมี)
- แคโทด (cathode) เป็นข้าไฟฟ้าที่รับประจุลบมาจากข้าไฟฟ้าแอนโnode มีหน้าที่สำคัญคือ ต่อเข้ากับสายไฟภายนอก รับอิเล็กตรอนเข้ามา รวมเข้ากับอะตอมของออกซิเจน กับไฮดรเจน ทำปฏิกิริยาภายในแคตตาลิสต์กล้ายเป็นโมเลกุลของน้ำ
- Polymer Electrolyte Membrane (PEM) คือ ตัวอิเล็กโทรไลต์ที่จากวัสดุคล้ายกับ แผ่นพลาสติก โดยมีหน้าที่สำคัญคือยอมให้ประจุบวกหรือprotoonเคลื่อนที่ผ่าน เท่านั้นและไม่ยอมให้ประจุลบหรืออิเล็กตรอนและแก๊สผ่านไปได้
- ตัวเร่งปฏิกิริยา มีหน้าที่เร่งการเกิดปฏิกิริยาโดยใช้ผงแพลทินัม (Platinum) ทำ เป็นฟิล์มบางเคลือบอยู่บนกระดาษคาร์บอนหรือแผ่นผ้า แคตตาลิสต์จึงมีลักษณะ เป็นรูปruna ด้วยคุณลักษณะพิเศษนี้ ก็เพื่อเพิ่มพื้นที่ผิวที่ทำปฏิกิริยาให้มาก ที่สุด ตัวเร่งปฏิกิริยามีอยู่ทั้งสองด้านของ PEM

เมื่อเปรียบเทียบกับเซลล์เชื้อเพลิงชานิดอื่น เซลล์เชื้อเพลิงชานิดเยื่อแลกเปลี่ยนprotoon จะสามารถผลิตพลังงานได้มากกว่าโดยเทียบจากปริมาตรหรือน้ำหนักของตัวเซลล์ ซึ่งข้อดีทางด้านการให้ความหนาแน่นของกำลังไฟฟ้าสูงนี้ทำให้เวลานำไปใช้งานสามารถทำให้ระบบเบาและมีขนาดเล็ก กว่าระบบอื่น นอกจากรับน้ำหนักจากการดำเนินการของระบบที่คุณภาพต่ำยังทำให้เวลาที่ใช้ในการผลิต กระแสไฟฟ้าออกมากสามารถทำได้อย่างรวดเร็ว ส่วนข้อดีอีกอย่างหนึ่งของเซลล์เชื้อเพลิงชานิดนี้คือ การใช้อิเล็กโทรไลต์ที่เป็นของแข็ง เพราะสามารถป้องกันการหลุดร่วงกันของแก๊สทั้งผองแอนโnode และ แคโทดได้ง่ายกว่ากรณีที่ใช้อิเล็กโทรไลต์ที่เป็นของเหลว และยังไม่มีปัญหาที่เกิดจากการกัดกร่อนจึง ทำให้การใช้งานเซลล์ยานานกว่าการใช้อิเล็กโทรไลต์ในรูปแบบอื่นๆ

ในการเพิ่มแรงดันไฟฟ้าของเซลล์สามารถทำได้โดยนำเซลล์มาต่ออนุกรมกัน (Fuel cell stack) โดยใช้แผ่นนำกระแสไฟฟ้าแบบสองขั้วมาเชื่อมต่อระหว่างเซลล์เดียวดังแสดงในรูปที่ 2.2



รูปที่ 2.2 หอเซลล์เชื้อเพลิง (stack component of fuel cell) [9]

โดยแผ่นนำกระแสไฟฟ้าสองข้างในเซลล์เชื้อเพลิงจะทำหน้าที่เป็นทั้งข้อบกและข้อลบ แผ่นนำกระแสไฟฟ้าสองข้างมีหน้าที่หลักคือ กระจายเชื้อเพลิงและตัวออกซิไดซ์กายในเซลล์ จัดการน้ำภายในเซลล์ นำกระแสไฟฟ้าจากเซลล์ต่อเซลล์ จำกัดความร้อนของจากพื้นที่ที่ทำปฏิกิริยาและป้องกันการรั่วไหลของแก๊สและสารหล่อเย็น ดังนั้นการนำวัสดุมาใช้ผลิตแผ่นนำกระแสไฟฟ้าสองข้างต้องมีสมบัติดังนี้คือนำกระแสไฟฟ้าและนำความร้อนได้ดี แก๊สไม่สามารถซึมผ่านได้ มีความแข็งแรงต่อการบีบอัด ทนต่อปฏิกิริยาเคมีและไม่มีสารเป็นพิษต่อเยื่อแผ่นพอลิเมอร์และตัวเร่งปฏิกิริยา ราคาถูกใช้วัสดุที่ทาง่ายและสามารถขึ้นรูป (Machine) ได้ง่าย [10]

2.2 แผ่นนำกระแสไฟฟ้าแบบสองข้าง (Bipolar plate)

แผ่นนำกระแสแบบสองข้าง มีบทบาทมากมายในการทำงานของเซลล์เชื้อเพลิงพีวีเอ็ม โดยจะเป็นทั้งข้อบกและข้อลบภายใต้แรงดึงดูด หน้าที่หลักของแผ่นนำกระแสแบบสองข้าง ได้แก่

- กระจายแก๊สเชื้อเพลิงและสารออกซิไดซ์กายในเซลล์
- จัดการระบบนำเข้า-ออก ภายในเซลล์
- แยกเซลล์แต่ละเซลล์ภายในชั้นเซลล์เชื้อเพลิง
- นำกระแสไฟฟ้าออกจากเซลล์
- จัดการควบคุมความร้อนที่เกิดขึ้นภายในเซลล์

การเตรียมวัสดุเพื่อใช้เป็นแผ่นนำกระแสไฟฟ้าแบบสองข้างนั้นจะอยู่บนพื้นฐานของความทันทันต่อสารเคมี ความทนทานต่อการกัดกร่อน ค่าการนำกระแสไฟฟ้าสูง การแพร่ผ่านของแก๊ส หรือความสามารถในการให้แก๊สซึมผ่านมีค่าต่ำ ขั้นตอนการผลิตไม่ซับซ้อนซึ่งจะช่วยให้ลดเวลาและค่าใช้จ่าย จึงมีค่ามาตรฐานของวัสดุที่จะใช้ทำแผ่นนำกระแสไฟฟ้าแบบสองข้างดังนี้ [9]

Electrical conductivity : plate resistance	$< 10 \text{ m}\Omega\text{cm}^2$
In-plane electrical conductivity	$> 100 \text{ S/cm}$
Thermal conductivity	$> 10 \text{ W(mK)}^{-1}$
Gas permeability	$< 10^{-4} \text{ cm}^3 \text{cm}^{-2} \text{s}^{-1}$
Flexural Strength	$> 59 \text{ MPa}$
Tensile Strength	$> 41 \text{ MPa}$
Corrosion resistance (pH<4)	$< 16 \mu\text{Acm}^{-2}$

โดยสมบดิต่างๆ เหล่านี้จะขึ้นอยู่กับชนิดวัสดุที่จะนำมาสร้าง และกระบวนการหรือวิธีการในการสร้าง ชนิดของแผ่นนำกระแสไฟฟ้าสองข้างแบ่งได้ตามวัสดุที่ใช้ดังนี้

2.2.1 แผ่นนำกระแสไฟฟ้าแบบสองข้างชนิดแผ่นแกรไฟต์ที่ไม่มีรูพรุน (Non-porous graphite plate) [12]

แผ่นนำกระแสไฟฟ้าสองข้างนี้ทำมาจากการผสมแกรไฟต์ที่ประกอบด้วยแกรไฟต์ที่เป็นผลึก (Crystalline graphite) ที่มีสารเติมแต่ง (Additive) และตัวประสาน (Binder) มาขึ้นรูปด้วยเครื่องอัดขึ้นรูป (Compression molding) แล้วนำไปให้ความร้อน (Heat treatment) ในภาวะที่ปราศจากแก๊สออกซิเจน สารเติมแต่งที่เหมาะสมในการทำแผ่นนำกระแสไฟฟ้าสองข้างของแกรไฟต์ที่ไม่มีรูพรุน (Non-porous graphite bipolar plate) ได้แก่ อะลูминเนียมออกไซด์ (Aluminium oxide) เชอร์โคนไดออกไซด์ (Zircon dioxide) ซิลิคอนไดออกไซด์ (Silicon dioxide) ไทเทเนียมไดออกไซด์ (Titanium dioxide) ซิลิคอนคาร์บิด (Silicon carbide) และ ผงถ่านหิน (Powdered coke)

ตัวประสานที่ใช้ในการทำแผ่นนำกระแสไฟฟ้าสองข้างของแกรไฟต์ที่ไม่มีรูพรุน ได้แก่ ถ่านหินที่ได้จากอุณหภูมิ 300-800 องศาเซลเซียส คาร์โบไฮเดรต (Carbohydrate) เช่น ฟรอกโตส

(Fructose) กลูโคส (Glucose) กาแลกโตส (Galactose) และmannose (Mannose) โอลิโกแซคาราيد (Oligosaccharide) เช่น ซูครอส (Sucrose) มอลโตส (Maltose) และแลกโตส (Lactose)

การเลือกแกรไฟต์มาใช้เนื่องจากน้ำหนักและมีความหนาแน่นต่ำ อย่างไรก็ตาม ข้อเสียของแกรไฟต์คือ การขึ้นรูปยากและมีราคาแพง ดังนั้นจึงมีการศึกษาค้นคว้าเพื่อหาวัสดุ ทดแทนแกรไฟต์ โดยอาศัยสมบัติของแผ่นนำกระแสงไฟฟ้าสองขั้วดังกล่าวข้างต้น

2.2.2 แผ่นนำกระแสงไฟฟ้าสองขั้วแบบคอมโพสิต (Composite plate) [12-13]

แผ่นนำกระแสงไฟฟ้าสองขั้วที่ทำจากแกรไฟต์มีสมบัติเด่นคือ สามารถนำกระแสงไฟฟ้าได้ทันต่อการกัดกร่อนได้ดี อีกทั้งมีสภาพความด้านทานไฟฟ้าน้อยมาก แต่ข้อเสียของแกรไฟต์คือขึ้นรูปค่อนข้างยากเนื่องจากมีความประวัติทั้งยังมีราคาสูง สำหรับวัสดุที่เรียกว่าวัสดุผสม (composite material) ก็คือวัสดุที่เกิดจากการนำเอาวัสดุตั้งแต่ 2 ชนิดขึ้นไป มาผสานรวมกันเพื่อนำไปใช้ในการสร้าง สาเหตุที่ต้องมีการนำวัสดุมารวมกันนั้นก็เพราะสมบัติหรือข้อดี-ข้อเสียที่แตกต่างกัน แต่เมื่อนำมารวมกันแล้ว ทำให้ได้วัสดุที่มีสมบัติที่ดีขึ้นเหมาะสมในการนำมาสร้างเป็นแผ่นนำกระแสงไฟฟ้าแบบสองขั้ว โดยการผสมนั้นจะต้องทำในสัดส่วนและวิธีการที่เหมาะสมกล้ายเป็นวัสดุคาร์บอนคอมโพสิตที่มีสมบัติต่างๆ ดีขึ้น ซึ่งแบ่งตามวัสดุที่ใช้ดังนี้

2.2.2.1 ชนิดที่มีโลหะเป็นองค์ประกอบหลัก

แผ่นนำกระแสงไฟฟ้าสองขั้วชนิดที่มีโลหะเป็นองค์ประกอบหลักได้รับการพัฒนาโดย Los Alamos National Laboratory ซึ่งใช้ แกรไฟต์ที่มีรูพรุน (Porous graphite) พอลิคาร์บอเนต (Polycarbonate) และเหล็กกล้าไร้สนิม (Stainless steel) เนื่องจากแกรไฟต์สามารถทนต่อการกัดกร่อนได้ เหล็กกล้าไร้สนิมแก๊สไม่สามารถแพร่ผ่านได้และมีความแข็ง พอลิคาร์บอเนตทนต่อสารเคมีและสามารถขึ้นรูปได้หลากหลาย โดยกระบวนการการทำแผ่นนำกระแสงไฟฟ้าสองขั้ว เริ่มจากเตรียมชั้นของเหล็กกล้าไร้สนิม (Stainless steel layer) โดยการตัด (Shearing) หรือการกด (Stamping) จากนั้นนำแกรไฟต์ที่มีรูพรุนและพอลิคาร์บอเนตผสานกันในเครื่องผลิตและขึ้นรูปด้วยเทคนิคอัดแบบขึ้นรูป (Compression molding) หรือการฉีดขึ้นรูป (Injection molding) นำแผ่นคอมโพสิตที่ได้ไปอบในเตาอบจากนั้นนำสารเกาติดที่นำกระแสงไฟฟ้า (Conductive adhesive) ให้ติดอยู่บนแผ่นคอมโพสิตด้วยวิธีการพิมพ์สกรีน (Screen-print method) นำชั้นของเหล็กกล้าไร้สนิมที่เตรียมไว้จากวิธีข้างต้นมาเชื่อมติดกับแผ่นคอมโพสิตด้วยกระบวนการขัดด้วยความร้อน (Hot-press)

ข้อเสียของแผ่นนำกระแสงไฟฟ้าสองขั้วชนิดที่มีโลหะเป็นองค์ประกอบหลักคือต้องใช้กระบวนการการหลายขั้นตอนในการทำแผ่นนำกระแสงไฟฟ้าสองขั้ว

2.2.2.2 ชนิดที่มีคาร์บอนเป็นองค์ประกอบหลัก

แผ่นนำกระแสงไฟฟ้าสองขั้วชนิดที่มีคาร์บอนเป็นองค์ประกอบหลักใช้เทอร์โมพลาสติก เช่น พอลิโพร์พีลีน (Polypropylene) พอลิเอทิลีน (Polyethylene) พอลิไวนิลคลีนฟลูออยด์ (Poly vinylidene fluoride) หรือเรซินของเทอร์โมเซต เช่น พีโนลิกเรซิน (Phenolics resin) อีพ็อกซี่เรซิน (Epoxy resin) และ ไวนิลเอสเทอร์เรซิน (Vinyl ester resin) ผสมกับสารเติมแต่งซึ่งอาจเสริมแรงด้วยเส้นใย วัสดุที่นำมาใช้ทำคาร์บอนคอมโพสิต (Carbon composites) แสดงดังตารางที่ 2.1

ตารางที่ 2.1. วัสดุคาร์บอนคอมโพสิตสำหรับใช้ผลิตแผ่นนำกระแสงไฟฟ้าแบบสองขั้ว [3]

เรซิน	สารเติมแต่ง	เส้นใย
พอลิไวนิลคลีนฟลูออยด์	อนุภาคคาร์บอน/แกรไฟต์	-
พอลิไวนิลคลีนฟลูออยด์	อนุภาคคาร์บอน/แกรไฟต์	เส้นใยคาร์บอน/แกรไฟต์
ของผสมระหว่างอีพ็อกซี่เรซินและสารเอนไซม์ติกทำให้แข็ง	ผงแกรไฟต์	-
พินิล-แอดดิ-ไอกซ์-รีชอล หรือ พินิล-แอดดิ-ไอกซ์ ในไวนิล	ผงแกรไฟต์	เส้นใยแกรไฟต์ หรือ วิสเกอร์
พินิล-แอดดิ-ไอกซ์-รีชอล หรือ พินิล-แอดดิ-ไอกซ์ ในไวนิล	อนุภาคถ่านหิน-แกรไฟต์	-
Reichhold 24-655 พีโนลิกเรซิน	ผงแกรไฟต์	เส้นใยเซลลูโลส (ไม่ใช่เส้นใยเรยอง และเซลลูโลสโซเดียม)
พีโนลิกเรซินที่แวนิลเรซิน	ผงแกรไฟต์	เส้นใยเซลลูโลส (ไม่ใช่เส้นใยเรยอง และเซลลูโลสโซเดียม)
พีโนลิกเรซิน		เส้นใยคาร์บอน (PAN-Based)
ไวนิลเอสเทอร์	ผงแกรไฟต์	คอทตอนฟลี๊อก (เส้นใยแกรไฟต์/ คาร์บอน) เส้นใยแก้ว เส้นใยคอทตอน และพอลิเมอร์

ข้อดีของวัสดุคอมพอยต์

- ความแข็งแรงจำเพาะสูง เนื่องจากน้ำหนักเบา ความหนาแน่นต่ำ
- ช่วยลดน้ำหนักของวัสดุได้
- มีสมบัติทาง化 สามารถสร้างให้มีสมบัติเหมาะสมกับการใช้งาน
- ต้านทานการสึกหรอได้ดี อายุการใช้งานยาวนาน
- ทนทานต่อการล้าตัวได้ดี
- มีความเสถียรด้านรูปร่างสูง เนื่องจากมีสมบัติที่การขยายตัวทางด้านความร้อนต่ำ

ข้อเสียของวัสดุคอมพอยต์

- ต้นทุนด้านเครื่องมือการผลิตสูง
- สมบัติในแต่ละพิธีทางไม่เท่ากัน เนื่องจากในตัวของวัสดุมีองค์ประกอบของสารหลายชนิด เช่น ส่วนเสริมแรงซึ่งเป็นวัสดุที่ทำให้คอมพอยต์มีความแข็งแรง มากเป็นส่วนที่ไม่ต่อเนื่อง (Discontinuous phase)
- เชื่อมติดกับวัสดุอื่นยาก เป็นผลมาจากการค์ประกอบภายในของวัสดุที่แตกต่างกัน
- การตรวจวิเคราะห์สมบัติค่อนข้างยาก
- การหมุนเวียนกลับมาใช้ใหม่ยาก

อย่างไรก็ตาม วัสดุคอมพอยต์ที่นำมาผลิตแผ่นนำกระแไฟฟ์ฟ้าสองแบบสองขั้นนั้น ไม่มีวัสดุชนิดใดที่จะเป็นไปตามเกณฑ์ของค่ามาตรฐานวัสดุที่จะใช้ทำแผ่นนำกระแไฟฟ์ฟ้าแบบสองขั้นนี้ ทั้งหมด จึงยังคงต้องมีการปรับปรุงต่อไป

2.2.3 แผ่นนำกระแไฟฟ์ฟ้าสองขั้นแบบโลหะ

การนำโลหะมาทำแผ่นนำกระแไฟฟ์ฟ้าสองขั้นนี้เนื่องจากโลหะนำกระแไฟฟ์ฟ้าและความร้อนได้ดี แก๊สชีมผ่านเนื้อโลหะได้ยาก สามารถผลิตได้ในปริมาณมากในราคาถูกและให้ความหนาแน่นกำลังไฟฟ้าต่อบริษัตรีสูง สำหรับข้อจำกัดของโลหะคือ ในการทำงานของเซลล์เชื้อเพลิงจะมีภาวะเป็นกรดสูง มีผลให้เกิดการป้องกันตัวเองของโลหะโดยจะเกิดฟิล์มบางเคลือบอยู่บนผิวโลหะเพื่อลดการกัดกร่อนของตัวโลหะ เรียกว่า “แพสสิไวชัน (Passivation)” ตัวอย่างของโลหะที่เกิดแพสสิไวชันได้ง่าย เช่น เหล็กกล้าไร้สนิม (Stainless) nickel (Nickel) ไทเทเนียม (Titanium) อะลูมิเนียม (Aluminum) และโลหะผสม (Alloy) ตัวอย่างของชั้นป้องกันที่อาจเกิดขึ้นได้แก่ ออกไซด์

ของโลหะและออกไซด์ของโลหะผสม เป็นต้น ซึ่งมีผลให้ความต้านทานไฟฟ้าของโลหะสูงขึ้น ดังนั้น เพื่อให้เหมาะสมสำหรับใช้งานในเซลล์เชือกเพลิง โลหะที่นำมาทำแผ่นนำกระแสไฟฟ้าสองขั้วต้องผ่านกระบวนการเคลือบโลหะ (Coating) ก่อน โดยวัสดุกระบวนการที่ใช้เคลือบแสดงดังตารางที่ 2.2 และ 2.3 ตามลำดับ



ตารางที่ 2.2 วัสดุเคลือบสำหรับแผ่นนำกระแสงไฟฟ้าแบบสองชั้วนนแผ่นโลหะชนิดต่างๆ [3]

ชนิดการเคลือบ (Coating types)	วัสดุที่ใช้เคลือบ (Coating materials)	วัสดุที่เป็นฐานในการเคลือบผิว			
		Al	SS	Ti	Ni
การเคลือบพอลิเมอร์นำไฟฟ้า	พอลิเมอร์นำกระแสงไฟฟ้า	ไม่ระบุ			
การเคลือบคาร์บอนคล้ายเพชร	คาร์บอนคล้ายเพชร	ไม่ระบุ			
การเคลือบชั้นบนด้วยทอง	ทองแดงเคลือบด้วยนิกเกิลและทองตามลำดับ	X			
การเคลือบด้วยฟอยล์แกรไฟต์	(1) ผิวชั้นล่าง-อนุภาคแกรไฟต์ภูกระดับด้วยเสียง ในอีมัลชัน สารเคมีลดอย หรือสี (เช่น อนุภาคแกรไฟต์ ในอีพ็อกซี่เชิงกฎทำให้บางลงด้วยสารละลายอินทรีย์ เช่น โกลูอีน) (2) การหลุดลอกของชั้นบนแกรไฟต์ในรูปของแผ่นที่ยึดหยุ่น และฟอยล์แกรไฟต์		X		X X
การเคลือบชั้นบนด้วยแกรไฟต์	(1) ผิวชั้นล่าง-ไทเทเนียมเคลือบบนไทเทเนียม- อะลูมิเนียม-ไนโตรล (2a) ชั้นบน-ชั่วคราว ของชั้นโลหะของโครงสร้าง ที่คุณอยู่ ชั่วคราว (ไทเทเนียม นิกเกิล เหล็กและโคบอลต์) ตามด้วยกรดซัลฟูริก/กรดไฮดรอกซิลิก หรือ(2b) ชั้นบน-แกรไฟต์		X X	X	X
การเคลือบอินเดียมที่ถูกโดย ด้วยทินออกไซด์	อินเดียมถูกโดยด้วยทินออกไซด์ ($\text{Sn}(\text{In})\text{O}_2$)			X	
การเคลือบด้วยเลดออกไซด์	(1) ผิวชั้นล่าง- เลด; (2) ผิวด้านบน- เลดออกไซด์		X		
การเคลือบด้วยมอนพอลิเมอร์ อินทรีย์	(PbO/PbO_2)สารอินทรีย์ที่ทำหน้าที่คล้ายมอนพอลิเมอร์	ไม่ระบุ			
การเคลือบด้วยซิลิโคนคาร์บีด	(1) n-Type ซิลิโคนคาร์บีด (SiC); (2) ทอง		X		
การเคลือบด้วยเหล็กกล้าเร้สโนม	(1) ผิวชั้นล่าง- โครงสร้าง/นิกเกิล/ไมโครบีนัม-เหล็กกล้า เร้สโนมมากเกินพอ หรือ นิกเกิล-ฟอสฟอรัส อัลลอยด์ (2) ผิวชั้นบน-ไทเทเนียมไนโตรล	X	X	X	
การเคลือบไทเทเนียม- อะลูมิเนียม-ไนโตรล	ชั้นของไทเทเนียม-อะลูมิเนียม	X			
การเคลือบไทเทเนียม-ไนโตรล	ชั้นของไทเทเนียม-ไนโตรล (TiN)			X	

ตารางที่ 2.3 กระบวนการเคลือบโลหะ (Coating process for metallic plates) [3]

ชนิดการเคลือบ (Coating types)	กระบวนการเคลือบ (Coating process)
การเคลือบผิวชั้นบนด้วยทอง	การเกาด์ติดด้วยกระแทกไฟฟ้า
การเคลือบด้วยเหล็กกล้าไร้สนิม	การพอกพูนทางกายภาพด้วยไอ (Physical vapor deposition, PVD) ตัวอย่างเช่น การชาบโลหะด้วยเมกานิตรอน หรือ การพอกพูนทางเคมีด้วยไอ (chemical vapor deposition, CVD) และการพอกพูนโดยไม่ใช้กระแทกไฟฟ้า (electroless deposition) สำหรับ Ni -P alloy
การเคลือบผิวชั้นบนด้วยแกรไฟต์	PVD
การเคลือบชั้นบนด้วยแกรไฟต์	PVD (closed-field, unbalance, magnetron sputter ion plating) และ การเคลือบสารเคมีด้วยเทคนิค anodization/oxidation
การเคลือบด้วยแกรไฟต์ฟอยล์	การทำหรือการกด
การเคลือบด้วยไทเทเนียมไนโตรล์	RF-ไดโอด สปัตเตอร์ริง
การเคลือบด้วยอินเดียมที่ถูกเต็ปด้วยทินออกาไซด์	การกลายเป็นไอของลำแสงอิเล็กตรอน
การเคลือบด้วยเลดออกาไซด์	การสลายตัวด้วยไอและการสปัตเตอร์ริง
การเคลือบด้วยซิลิกอนคาร์บีบด์	การสลายของประจุและการสลายของไอ
การเคลือบด้วยไทเทเนียม-อะลูมิเนียม-ไนโตรล์	RF-พานาร์เมกานิตรอน (สปัตเตอร์ริง)

โลหะที่ได้รับความสนใจนำมาทำแผ่นนำกระแทกไฟฟ้าสองชั้น ไทเทเนียม สแตนเลสสตีล และอะลูมิเนียม สำหรับสแตนเลสสตีล มีการศึกษาและลองใช้งานในเซลล์เชือเพลิงทั้งแบบเคลือบผิวและไม่เคลือบผิว การเปรียบเทียบข้อดี-ข้อเสียของแผ่นนำกระแทกไฟฟ้าแบบสองชั้นทั้งสามชนิดที่ได้กล่าวมา นั้น แสดงดังตารางที่ 2.4

ตารางที่ 2.4 การเปรียบเทียบวัสดุที่นิยมนิยมนำมาใช้เป็น bipolar plate [14]

วัสดุ	ส่วนนำไฟฟ้า (S/cm)	ข้อดี	ข้อเสีย
แกรไฟต์ (คาร์บอน- คาร์บอน)	200-300	<ul style="list-style-type: none"> - มีความเสถียร - ความหนาแน่นจำเพาะต่ำ - ความต้านทานต่อมัลลิกับ ชื้วไฟฟ้าต่ำ - ความต้านทานการกัดกร่อนสูง 	<ul style="list-style-type: none"> - ราคาแพง - เปราะ - มีความหนา
คอมพอยติ	50-200	<ul style="list-style-type: none"> - ความหนาแน่นต่ำ - อายุการใช้งานยาวนาน - มีสมบัติหลากหลาย 	<ul style="list-style-type: none"> - ใช้เครื่องมือในการผลิตที่ซับซ้อน - สมบัติแต่ละทิศทางไม่เท่ากัน - นำกลับมาใช้ใหม่ไม่ได้
โลหะ	$\sim 5.5 \times 10^5$	<ul style="list-style-type: none"> - ค่าการนำความร้อนสูง - สามารถรีไซเคิลได้ - ผลิตภัณฑ์ที่ได้มีความสม่ำเสมอ 	<ul style="list-style-type: none"> - ต้องการการเคลือบทึบในการกัดกร่อนได้ - เป็นพิษต่อเยื่อแลกเปลี่ยน - เกิดจนวนออกไซด์ที่พื้นผิว

จากข้อดี-ข้อเสียของแกรไฟต์ และโลหะนี้ จึงได้มีการวิจัยเพื่อที่จะพัฒนาและปรับปรุงสมบัติต่างๆ ของแผ่นนำกระแสไฟฟ้าแบบสองข้าง ซึ่งแกรไฟต์มีข้อเสียทางด้านความเปราะ เมื่อได้รับแรงอัดจะประดับเป็นชิ้นชิ้นและแตกหักง่าย และยังมีกระบวนการขึ้นรูปที่ยุ่งยากทำให้มีราคาสูง ทำให้มีการหันมาใช้แผ่นนำกระแสไฟฟ้าชนิดโลหะมากขึ้น เนื่องจากมีกระบวนการผลิตที่ง่าย ราคากลูกกว่าแบบแกรไฟต์รวมถึงมีสมบัติเชิงกลและการนำกระแสไฟฟ้าที่ดี เนื่องจากการใช้โลหะเป็นแผ่นนำกระแสแบบสองข้างจะเกิดการกัดกร่อนได้ง่ายเนื่องจากภายในชิ้นเดียวมีส่วนเป็นกรด จึงมีการศึกษาทางด้านการเคลือบผิวแผ่นโลหะด้วยคอมพอยติคาร์บอนเพื่อลดปัญหาการกัดกร่อนอย่างไรก็ตาม การเคลือบที่ภาวะไม่เหมาะสมยังเป็นสาเหตุให้เกิดการกัดกร่อนและการนำกระแสไฟฟ้าต่ำกว่าแกรไฟต์ [4] จึงมีการศึกษาพัฒนาองค์ประกอบของคาร์บอนคอมพอยติให้มีความเหมาะสมมากขึ้น เช่น การเติมท่อนาโนคาร์บอน (carbon nanotubes, CNTs) ผสมกับผงคาร์บอน ทำให้เกิดการทำงานร่วมกัน (synergistic) ทางด้านความทนทานต่อการกัดกร่อนและการนำกระแสไฟฟ้าที่ดี [5] มาเคลือบผิวแผ่นโลหะ เพื่อที่จะสามารถนำไปสู่การผลิตเชิงพาณิชย์ต่อไป

2.3 เหล็กกล้าไร้สนิม (Stainless Steel) [15]

เหล็กกล้าไร้สนิม (Stainless Steel) นั้น ในทางด้านกรรมวิธีที่เป็นโลหะผสมเหล็ก ที่มีโครงสร้างอย่างน้อยที่สุดร้อยละ 10.5 เนื่องจากโลหะผสมดังกล่าวไม่เป็นสนิมอันเนื่องมาจากการทำปฏิกิริยากับระหว่างออกซิเจนในอากาศกับโครงสร้างในเนื้อเหล็กกล้าไร้สนิมเกิดเป็นฟิล์มบางๆ เคลือบผิวไว้ ทำหน้าที่ป้องกันการเกิดความเสียหายให้กับตัวเนื้อเหล็กกล้าไร้สนิมได้เป็นอย่างดี ป้องกันการเกิดการกัดกร่อน (Corrosion) และไม่ชำรุดหรือสึกกร่อนง่ายอย่างโลหะทั่วไป โดยแรกเริ่มเหล็กกล้าไร้สนิมได้ถูกพัฒนาเพื่อนำมาผลิตเครื่องใช้บนโต๊ะอาหาร ในเวลาต่อมาได้มีการแพร่ขยายอย่างกว้างขวางของครอบคลุมจนถึงชนิดและสมบัติหรือเกรดของเหล็กที่นำมาใช้ในอุตสาหกรรมการผลิต ซึ่งโดยส่วนใหญ่จะเน้นในเรื่องสมบัติของความทนต่อการกัดกร่อน และปฏิกิริยาเคมีที่เกิดจากการรวมตัวของออกซิเจนกับสารอื่นอันเนื่องมาจากกระบวนการใช้งานหรือสภาพแวดล้อมที่แตกต่างกัน

ปกติเหล็กกล้าไร้สนิมจะไม่เป็นสนิม เพราะที่ผิวจะมีฟิล์มโครงสร้างออกไซด์บางๆ เคลือบอยู่ การทำให้เหล็กกล้าไร้สนิมเป็นสนิมคือ ฟิล์มโครงสร้างออกไซด์ที่เคลือบผิวถูกทำลายออกไประหว่างที่สามารถเกิดสนิมได้ ก่อนที่ฟิล์มโครงสร้างออกไซด์จะก่อตัวขึ้นมาอีกครั้ง เช่น ถ้าเหล็กกล้าไร้สนิมถูกทำให้เกิดรอยขีดข่วน แล้วบริเวณรอยนั้นมีความชื้น ซึ่งสามารถทำให้เกิดปฏิกิริยากับธาตุเหล็ก ก่อนที่ฟิล์มโครงสร้างออกไซด์จะก่อตัวขึ้นมา ก็จะเป็นสาเหตุให้เกิดสนิมขึ้นได้

ข้อดีเนื่องจากเหล็กกล้าไร้สนิมคือโลหะผสมที่มีความคงทนต่อการกัดกร่อน ดังนั้นจึงมีอายุการใช้งานยาวนานหลายทศวรรษที่ผ่านมา มากกว่าร้อยละ 90 ของผลิตภัณฑ์ที่ทำจากเหล็กกล้าไร้สนิม มีขบวนการผลิตโดยนำเศษโลหะที่ได้จากการรีไซเคิลมา ผลิตเป็นผลิตภัณฑ์หรือสารประกอบ ได้ว่าอุตสาหกรรมเหล็กกล้าไร้สนิมขึ้นอยู่กับการรีไซเคิลก่อให้ได้ ถึงแม้ว่าราคาของเหล็กกล้าไร้สนิมจะค่อนข้างสูงในช่วงแรกๆ แต่เมื่อเบริกเปลี่ยนกับวัสดุของต้นทุนในการผลิตเหล็กกล้าไร้สนิมนั้น ให้ประโยชน์และผลกำไรมากกว่าต้นทุนดิบประมาณที่ต้องจ่าย ดังตัวอย่าง เช่น มีความคงทนสูงกว่าเหล็กกล้าคาร์บอน (Carbon Steel) หรือมีความแข็งแรงทนทานดีกว่า ผลิตภัณฑ์ที่ทำจากสารโพลิเมอร์ (Polymer) อย่าง GRP นอกจากนั้นเหล็กกล้าไร้สนิมยังมีคุณสมบัติที่เป็นประโยชน์อย่างมาก ซึ่งขึ้นอยู่กับประเภทของเหล็กกล้าไร้สนิม

2.3.1 ประเภทของเหล็กกล้าไร้สนิม (Stainless Steel)

แม้ว่าเหล็กกล้าไร้สนิมจะมีความโดดเด่นในเรื่องของการทนทานต่อการเป็นสนิมและการกัดกร่อนในสภาพแวดล้อมที่เกิดขึ้นเองโดยธรรมชาติหรือที่มนุษย์สร้างขึ้นก็ตาม เรายังจำเป็นที่จะต้องเลือกประเภทและคุณสมบัติของเหล็กกล้าไร้สนิมอย่างถูกต้องเพื่อให้เหมาะสมต่อการใช้งานเนื่องจากมีอยู่หลายประเภทด้วยกันซึ่งแต่ละประเภทจะถูกนำไปใช้งานที่แตกต่างกันออกไป

การแบ่งแยกหรือจำแนกประเภทของเหล็กกล้าไร้สนิมนั้นสามารถทำได้ด้วยวิธีการเพิ่มหรือลดจำนวนของส่วนผสมที่เป็นธาตุแต่ละตัว ยกตัวอย่างเช่น การเพิ่มนิกเกิล (Nickel) จะช่วยทำให้โครงสร้างออกสเตนิติก (Austenitic) ของเหล็กมีความมั่นคงยิ่งขึ้น จึงจัดว่าเหล็กกล้าไร้สนิมประเภทที่มีจำนวนนิกเกิล (Nickel) สูงจะมีโอกาสของการไม่เกิดเป็นแม่เหล็กเจือปนสูงตามไปด้วย ในขณะที่การเพิ่มคาร์บอน (Carbon) จะช่วยเพิ่มความแข็งแรงและความทานทาน อย่างไรก็ตามเราสามารถลดต้นทุนด้วยการเพิ่มแมงกานีส (Manganese) แทนนิกเกิล (Nickel) ซึ่งมีราคาถูกกว่า เพื่อให้ได้เหล็กกล้าไร้สนิมที่มีสมบัติดังที่ได้กล่าวมาข้างต้นได้ เช่นกัน

เหล็กกล้าไร้สนิม (Stainless Steel) สามารถจำแนกออกได้เป็น 5 ประเภท ได้แก่

1. เหล็กกล้าไร้สนิมประเภทออกสเตนิติกที่มีคุณสมบัติไม่เป็นแม่เหล็ก (Austenitic non-magnetic) ผลิตภัณฑ์ที่ทำจากเหล็กกล้าไร้สนิมไม่ว่าจะเริ่มจากเครื่องมือเครื่องใช้บันตุะอาหารจนกระทั่งถึงผลิตภัณฑ์ที่ต้องมีคุณสมบัติที่มีความต้านทานการกัดกร่อนแบบรูเข็ม และการกัดกร่อนในที่อับ (Chloride pitting and Crevice corrosion) ส่วนใหญ่จะนิยมใช้เหล็กกล้าไร้สนิมประเภทนี้ประกอบ ด้วย 3 ธาตุ คือ คาร์บอน (Carbon) โครเมียม (Chromium) และนิกเกิล (Nickel) หรือแมงกานีส (Manganese) ถ้าต้องการคุณสมบัติของความคงทนและทานทานต่อการกัดกร่อนสูงๆ ออกสเตนิติก (Austenitic) หรือมากกว่าสามารถทำได้โดยการเพิ่มส่วนผสมของโมลิบดินัม (Molybdenum) ในไตรเจน (Nitrogen) และนิกเกิล (Nickel) ให้มากขึ้น ดังนั้น จากออกสเตนิติก (Austenitic) ก็จะกลายเป็น “ซูเปอร์ออกสเตนิติก” (Superaustenitic) ก็หมายถึงราคาที่สูงขึ้น เช่นกัน ดูเพล็กซ์ (Duplex Steels) จึงเป็นอีกหนึ่งทางเลือก สำหรับผู้ที่ต้องการเหล็กกล้าไร้สนิมที่มี คุณสมบัติสูง แต่มีราคาที่ถูกกว่า เนื่องจากสมบัติของดูเพล็กซ์ (Duplex) นั้นมีความคล้ายคลึงกับออกสเตนิติกที่มีการใช้งานในอุตสาหกรรมมีดังนี้

● 304

เป็นเกรดที่นิยมใช้กันมากที่สุด เนื่องจากมีvacuum เมื่อเทียบกับคุณภาพ โดยมีโครงเมียมร้อยละ 18 และนิกเกิลร้อยละ 8 เป็นส่วนผสมโดยประมาณ มีคุณสมบัติดังนี้ ความต้านทานต่อการกัดกร่อนดี สามารถขึ้นรูปเย็นและเชื่อมได้ดี ตัวอย่างการใช้งานคือเป็นอุปกรณ์ในกระบวนการผลิตเมม ใช้งานในชีวิตประจำวัน และอุตสาหกรรมเครื่องดื่ม เช่นเครื่องใช้ในบ้าน ภาชนะเครื่องครัว เครื่องหุงต้มความดัน แทงค์น้ำ อ่าง ช้อน ช้อน ส้อม และงานตกแต่ง เป็นต้น

● 316

มีโครงเมียมร้อยละ 16 ถึง 18 และนิกเกิลร้อยละ 11 ถึง 14 เป็นส่วนผสมโดยประมาณ และมีการเพิ่มโมลิบดีนัมเพื่อที่จะเพิ่มความต้านทานการกัดกร่อนในบรรยากาศแบบเจาะเป็นรู (pit type attack) ให้กับเหล็ก ตัวอย่างการใช้งานเหล็กกล้าไร้สนิมเกรด 316 เช่น กระบวนการทางเคมีต่างๆ อุตสาหกรรมการผลิตกระดาษ และการผลิตเครื่องดื่ม และอาหาร ในกรณีที่อยู่ภายใต้ภาวะสิ่งแวดล้อมกัดกร่อนอย่างรุนแรง ความมีปริมาณโมลิบดีนัมอย่างน้อยร้อยละ 2.

2. เหล็กกล้าไร้สนิมประเภทเฟอริติกที่มีคุณสมบัติเป็นแม่เหล็ก (Ferritic magnetic) เหล็กกล้าไร้สนิมประเภทนี้มีโครงเมียมเป็นส่วนผสมหลักและมีคาร์บอนกับนิกเกิลต่ำ ดังนั้น ราคาก็จะถูกลง เช่นกัน

3. เหล็กกล้าไร้สนิมประเภทมาร์เทนซิติก (Martensitic) เป็นประเภทที่มีส่วนผสมของโครงเมียมโมลิบดีนัมและคาร์บอนแต่ไม่มีนิกเกิลเป็นส่วนผสม ดังนั้นเหล็กกล้าไร้สนิมประเภทนี้จึงไม่มีคุณสมบัติความต้านทานการกัดกร่อน แต่ว่ามีคุณสมบัติในส่วนของความแข็งแรงและทนทาน เนื่องจากมีคาร์บอนเป็นตัวที่ช่วยเพิ่มคุณสมบัตินี้ อย่างไรก็ตามก็ยังมีข้อเสียคือยิ่งแข็งมากขึ้นก็สามารถเปร่าและแตกหักง่าย เช่นกัน

4. เหล็กกล้าไร้สนิมประเภทเพิ่มความแข็งโดยการตกผลึก (Precipitation-hardening martensitic) เหล็กกล้าไร้สนิมประเภทนี้มีสูตรผสมง่ายๆ คือ โครงเมียมและนิกเกิลหรือที่เรียกว่า “14/4PH” มีคุณสมบัติของการต้านทานการกัดกร่อนและความแข็งแรงทนทานได้ดีกว่าประเภทมาร์เทนซิติกchromda

5. เหล็กกล้าไร้สนิมประเภทดูเพล็กซ์เฟอริติก-อустีนิติก (Duplex ferritic-austenitic) จัดอยู่ในกลุ่มเหล็กกล้าไร้สนิมประเภทที่มีโครงสร้างผสมระหว่างเฟอริติกกับอสเทนิติก โดยพัฒนาขึ้นมาเพื่อเพิ่มความแข็งแรงทนทานและต้านทานการกัดกร่อนให้ดียิ่งขึ้นกว่า ออสเทนิติกเกรดธรรมด้า เหล็กกล้าไร้สนิมประเภทนี้นิยมนำมาใช้ในงานประเภทที่ต้องการความบาง เพื่อลดน้ำหนักของชิ้นงานและต้นทุนในการผลิต

2.3.2 ธาตุและการให้คุณสมบัติของธาตุที่ผสมลงในเนื้อเหล็กกล้าไร้สนิม

เหล็กกล้าไร้สนิมจะมีหลายเกรดซึ่งขึ้นอยู่กับการผสมธาตุต่างๆ ลงไปในเนื้อเหล็กกล้าไร้สนิม ซึ่งสามารถปรับปรุงคุณสมบัติให้ตรงตามวัตถุประสงค์การใช้งานต่างๆ ได้ ซึ่งธาตุสำคัญที่ใช้ผสมมีดังนี้

- โครเมียม

โครเมียมจะต้องผสมอยู่ในเนื้อของเหล็กกล้าไร้สนิมไม่ต่ำกว่าร้อยละ 10.5 ซึ่งจะสามารถสร้างฟิล์มโครเมียมออกไซด์ (Passive film) บนผิวโลหะได้ ทำให้เหล็กกล้าไร้สนิมมีความต้านทานการกัดกร่อนไม่เกิดสนิมได้ด้วยในทุกๆ การใช้งาน ถ้าเหล็กกล้าไร้สนิมที่ผลิตมาจากกระบวนการการหล่อห้อน จะมีสมบัติความต้านทานการกัดกร่อนสูงกว่าเหล็กกล้าไร้สนิมที่ผ่านกระบวนการการรีดมา

- นิกเกิล

เมื่อเติมธาตุนิกเกิลในปริมาณที่มากพอเข้าไปในเนื้อเหล็กกล้าไร้สนิมจะทำให้โครงสร้างผลึกของเหล็กกล้าไร้สนิมให้เปลี่ยนเป็นแบบอสเตรนท์ ตัวอย่างเช่น เกรด 304 (โครเมียมร้อยละ 18, นิกเกิลร้อยละ 8) ซึ่งเป็นเหล็กกล้าไร้สนิมเกรดที่นิยมใช้งานกันมากที่สุด ซึ่งถ้าบริมาณนิกเกิลไม่พอ จะทำให้โครงสร้างภายในเป็นโครงสร้างออสเทนในต้อย่างสมบูรณ์ไม่ได้ แต่จะมีโครงสร้างภายในเป็นแบบดูเพล็กซ์

- โมลิบดีนัม

ธาตุโมลิบดีนัมมีสมบัติในการปรับปรุงการสร้างพิล์มป้องกันการกัดกร่อน (Passive film) ทำให้เกิดการป้องกันได้ดีขึ้น โดยเฉพาะการกัดกร่อนแบบสนิมขุม (Pitting corrosion) และทนต่อสภาพแวดล้อมที่มีฤทธิ์กัดกร่อนสูง

- คาร์บอน

ธาตุคาร์บอนทำให้เหล็กมีความแข็งเพิ่มขึ้นและสามารถตัวกับธาตุอื่นเกิดเป็นคาร์ไบด์ซึ่งช่วยเพิ่มสมบัติการต้านทานการสึกหรอ โดยปกติแล้วเหล็กกล้าไร้สนิมควรจะมีธาตุ

คาร์บอนเมสโนญี่ไม่เกินร้อยละ 0.08 โดยน้ำหนัก เนื่องจากองค์ประกอบของคาร์บอนสูงจะลดความยืดหยุ่น ความสามารถในการตีขึ้นรูป และความสามารถในการเชื่อมของเหล็ก แต่ในเหล็กกล้าไร้สนิมที่มีโครงสร้างแบบมาสเตอร์จะมีค่าบอนซูงถึงร้อยละ 1.2 เพื่อที่นำเหล็กกล้าไร้สนิมไปปั๊บแข็งได้เพื่อให้มีความแข็งแรงสูงและสามารถนำไปใช้ในอุตสาหกรรมที่สูงได้

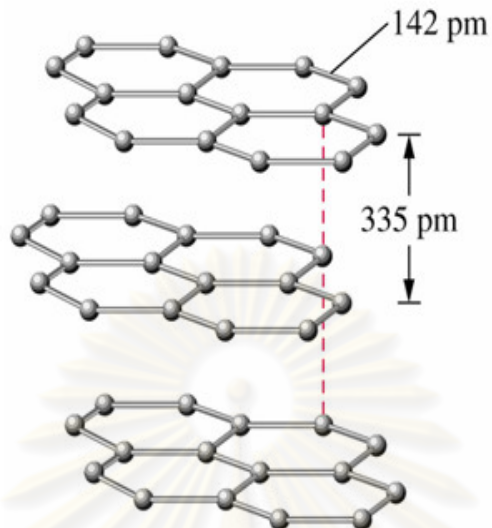
- ไทยเนียม

เป็นธาตุที่ผสมในเนื้อเหล็กกล้าไร้สนิมเพื่อลดการกัดกร่อนตามขอบเกรนที่เกิดจากการเชื่อมที่สามารถป้องกันการกัดกร่อนชนิดนี้ได้เนื่องจากคาร์บอนจะมารวมตัวเป็นไทด์เนียมเกิดเป็นไทด์เนียมคาร์ไบเด นอกจจากไทด์เนียมแล้ว ยังมีธาตุอื่นๆ เช่น ไนโตรเจน แทนทาลัม ซึ่งจะใช้ในลวดเชื่อม เป็นส่วนใหญ่เพื่อทดสอบไทด์เนียม

2.4 คาร์บอน [16]

ธาตุคาร์บอนจัดเป็นธาตุองค์ประกอบหลักของสิ่งมีชีวิต ธาตุคาร์บอนมีหลายอัญเชิญแต่ อัญเชิญหลัก ๆ ที่คนส่วนใหญ่รู้จักกันเป็นอย่างดี และถูกนำมาใช้ในชีวิตเป็นเรื่องปกติคือ ถ่านหิน หรือ แกASFt และเพชร แม้จะประกอบขึ้นจากอัตโนมัติของธาตุคาร์บอนเหมือนกันแต่เมื่อมีการจัดเรียงตัวที่ต่างกัน ก็ส่งผลให้คุณสมบัติของอัญเชิญทั้งสองนี้แตกต่างกันด้วย ปกติอัตโนมัติของคาร์บอนจะสามารถเกิดพันธะได้ถึง 4 พันธะ หรือ 4 เชิง สำหรับแกASFtนั้น พันธะระหว่างคาร์บอนอัตโนมัติในชั้นเดียวกันนั้น จะเกิดพันธะแบบโคลาเดนต์ซึ่งมีความแข็งแรงสูง และมีระยะสั้นมากคือ 142 พิกิเมตร แต่ระหว่างชั้นเดียวกันเชื่อมกันด้วยพันธะแวนเดอร์วาลส์ซึ่งมีความอ่อนแอและมีความยาวถึง 335 พิกิเมตร ซึ่งทำให้แกASFtนั้นมีความเปลี่ยนแปลงมากเพราะพันธะระหว่างชั้นไม่แข็งแรงเท่าที่ทางการสร้างพันธะในชั้นเดียวกันเป็นแบบ Hexagonal ดังแสดงในรูปที่ 2.3

- แกรไฟต์

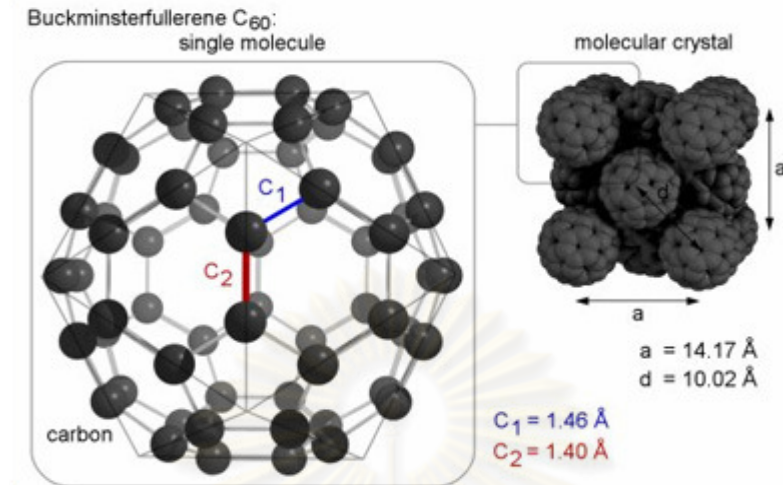


รูปที่ 2.3 แบบจำลองแสดงโครงสร้างของแกรไฟต์ [17]

สมบัติของแกรไฟต์คือมีความสามารถในการนำกระแสไฟฟ้าตามแนวระนาบของชั้นเนื่องจากมีอิเล็กตรอนอิสระที่ไม่เกิดพันธะทำให้สามารถนำกระแสไฟฟ้าได้ ความแข็งของแกรไฟต์วัดตามค่าของโมห์ (Mohs Scale) อยู่ที่ระดับ 1-2 แกรไฟต์หลอมเหลวที่อุณหภูมิ $3652 - 3697$ องศาเซลเซียส และเดือดที่อุณหภูมิ 4200 องศาเซลเซียส แกรไฟต์จัดเป็นตัวนำความร้อนที่ดี ความหนาแน่น 2.27 กรัมต่อลูกบาศก์เซนติเมตร

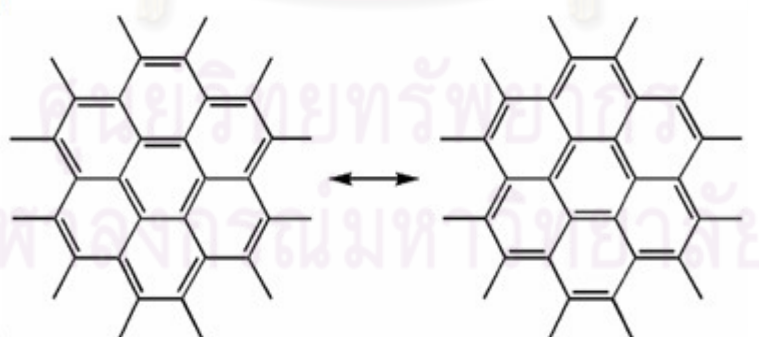
ศูนย์วิทยทรัพยากร
จุฬาลงกรณ์มหาวิทยาลัย

- บัคกีบอล หรือ บัคминสเตอร์ฟลูเลอเริน



รูปที่ 2.4 แบบจำลองแสดงโครงสร้างของบัคกีบอล [17]

โครงสร้างของบัคกีบอล 1 ไม่เกิดประกอบด้วยอะตอมคาร์บอน 60 อะตอม เนื่องต่อ กัน ด้วยพันธะโควาเลนส์ ดังแสดงในรูปที่ 2.4 และเกิดพันธะคู่วนไปตามแนวทั้งสามที่เรียกว่า resonance ทำให้โครงสร้างมีความแข็งแรงมาก ดังแสดงในรูปที่ 2.5 รูปร่างไม่เกิดเหมือนกับลูก พุตบลล์ประกอบด้วย ห้าเหลี่ยม (pentagons) 12 ห้า และหกเหลี่ยม 20 ห้า (hexagons) เพน ตากอน หรือ รูปห้าเหลี่ยมแต่ละวงจะถูกห้อมล้อมด้วยเข็งซากอนหรือหกเหลี่ยมจำนวน 5 ห้า เป็น โครงสร้างที่เรียกว่า Truncated icosahedron



รูปที่ 2.5 ตัวอย่างแสดงโครงสร้าง resonance [17]

บัคกีบอลมีความแข็งเทียบเท่าเพชร แต่ภายในเป็นช่องว่างสามารถบรรจุสารอื่น ๆ ไว้ภายในได้ มีจุดหลอมเหลวที่ 800 องศาเซลเซียส สามารถทนต่อแรงดันสูงได้ ความหนาแน่น 1.65 กรัมต่อ ลูกบาศก์เซนติเมตร มีคุณสมบัติเป็นสารกึ่งตัวนำ

นอกเหนือจากโครงสร้างแบบแก๊สเพต์และแบบบัคมนิสเตอร์ฟลูเลอรีนหรือบัคกี้บล็อก นี้แล้ว นักวิทยาศาสตร์ยังพบร่องรอยของโครงสร้างคาร์บอนอิก្សูปแบบที่กำลังมีบทบาทสำคัญในอนาคต โดยจะถูกนำมาเป็นส่วนหนึ่งของอุปกรณ์เครื่องใช้ในชีวิตประจำวัน โครงสร้างที่กล่าวมานี้คือท่อนาโนคาร์บอน

2.5 ท่อนาโนคาร์บอน (Carbon nanotubes) [17]

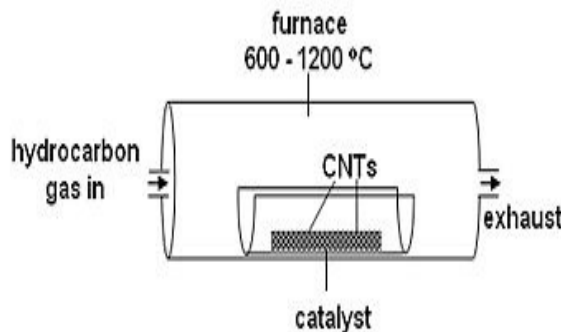
คือ วัสดุที่มีรูปทรงเป็นท่อขนาดเล็กผ่านศูนย์กลาง ในระดับนาโนเมตร ผนังท่ออาจมีเพียงแค่ ขั้นเดียว (Single-walled) หรือหลายขั้น (Multi-walled) ซึ่งประกอบขึ้นจากอะตอมของธาตุคาร์บอน เพียงธาตุเดียว ค้นพบครั้งแรกเมื่อปี 1991 โดยนักวิทยาศาสตร์ชาวญี่ปุ่นชื่อ Sumio Iijima ปัจจุบัน พบว่ามีสมบัติที่สามารถนำไปประยุกต์ใช้ประโยชน์หลายด้าน เช่น ทำเส้นใยเสริมความแข็งแกร่งใน วัสดุคอมโพสิต ทำอิเล็กโทรดเพิ่มกำลังไฟ และอย่างการใช้งานในแบตเตอรี่ และตัวเก็บประจุ เป็นต้น ท่อนาโนคาร์บอนมีโครงสร้างและสมบัติหลากหลายซึ่งขึ้นกับวิธีที่ใช้ในการสังเคราะห์

2.5.1 การสังเคราะห์ท่อนาโนคาร์บอน

การสังเคราะห์ท่อนาโนคาร์บอนนั้นมีหลายวิธีซึ่งแต่ละวิธีก็มีข้อดีและข้อเสียต่างกันไป ทั้งใน ด้านของขนาดเส้นผ่านศูนย์กลาง ความยาว ปริมาณ คุณภาพ และความบริสุทธิ์ของท่อนาโน คาร์บอนที่ได้ โดยทั่วไปแล้วอาจแบ่งออกเป็น 3 วิธีหลักๆ ได้แก่

2.5.1.1 ตกสะสมไอเคมี (Chemical vapor deposition : CVD)

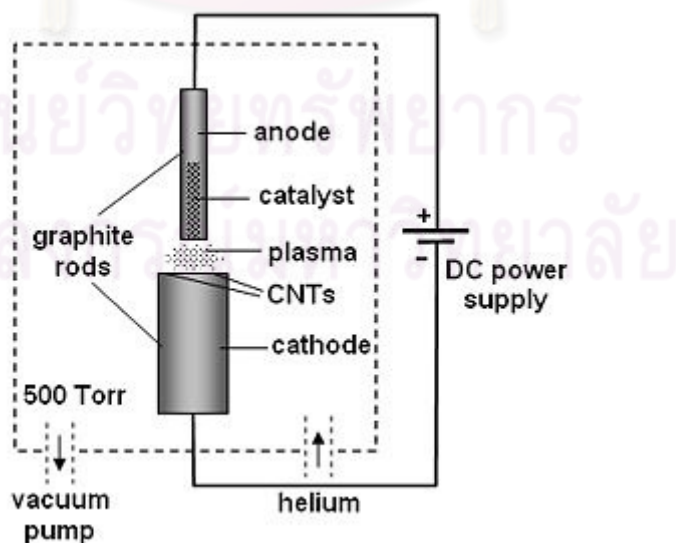
โดยการผ่านไออกไซด์ของสารประกอบไฮโดรคาร์บอนซึ่งใช้ทำหน้าที่เป็นแหล่งกำเนิด คาร์บอน เช่น มีเทน (CH_4) คาร์บอนมอนอกไซด์ (CO) อะเซทิลีน (C_2H_2) และเอทานอล ($\text{C}_2\text{H}_5\text{OH}$) เป็นต้น เข้าไปในเตาเผาที่มีอุณหภูมิประมาณตั้งแต่ 600-1200 องศาเซลเซียส ซึ่งต้องมีอุณหภูมานา โนของโลหะที่เป็นตัวเร่งปฏิกิริยาอยู่บริเวณนั้นด้วย ดังแสดงในรูปที่ 2.6 ทำให้โมเลกุลของแก๊สให้ แตกตัว (Decomposed) ออกเป็นอะตอมของคาร์บอน โดยการควบคุมอุณหภูมิ ความดัน อัตราการ ไหลงของแก๊ส สัดส่วนอะตอมของธาตุ $\text{C}:\text{O}:\text{H}$ ในระบบ การคุณภาพของอนุภาคของตัวเร่งปฏิกิริยา และระยะเวลาในการสังเคราะห์ สามารถกำหนดขนาด ความยาว ทิศทางการเติบโต และตำแหน่งที่ ต้องการปลูกของท่อนาโนคาร์บอนได้ แต่อาจมีข้อเสียที่ปริมาณข้อบกพร่องหรือความไว้ระเบียบของ โครงสร้างสูง ทำให้หักหักที่สังเคราะห์ได้โดยวินัยมากเป็นท่อโค้งๆ



รูปที่ 2.6 การสังเคราะห์ท่อนาในкар์บอนโดยวิธีตกสะสมไอเคมี [17]

2.5.1.2 อาร์คดิสชาร์จ (Arc-discharge)

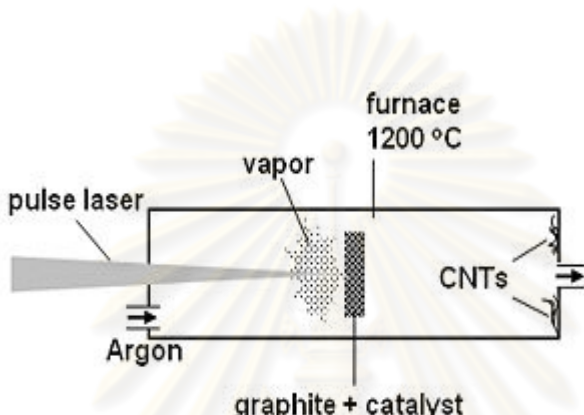
ใช้ไฟฟ้ากระแสตรงตั้งแต่ 20-200 แอมเปอร์ ที่ความต่างศักย์ประมาณ 20-40 โวลต์ ตกคร่อมแท่งแกรไฟต์สองแท่งที่วางจ่อใกล้ๆ กัน โดยให้ระยะห่างระหว่างปลายแท่งประมาณ 1-3 มิลลิเมตร ภายใต้บรรยากาศแก๊สเชื่อม เช่น ไฮเดรน หรือ อาرغون ที่ความดันต่ำระหว่าง 100-500 มิลลิเมตรปืนอุตสาหกรรม จนทำให้เกิดเป็นสถานะพลาสม่าและมีอุณหภูมิสูงบริเวณระหว่างขั้วอิเล็กโทรด ดังแสดงในรูปที่ 2.7 ส่งผลให้แท่งแกรไฟต์ที่ตอกับขั้วลบ (Cathode) การควบคุมขนาดหรือจำนวนชั้นของท่อนาในкар์บอนสามารถทำโดยการควบคุมความดัน อุณหภูมิ และการเติมผงโลหะที่เป็นตัวเร่งปฏิกิริยาปริมาณเล็กน้อย เช่น เหล็ก nickel หรือโคบลต์ อย่างได้อย่างหนึ่ง หรือผสมกันลงในแท่งแกรไฟต์ที่ตอกับขั้วบวก (Anode)



รูปที่ 2.7 การสังเคราะห์ท่อนาในкар์บอนโดยวิธีอาร์คดิสชาร์จ [17]

2.5.1.3 ระเหยด้วยเลเซอร์ (Laser vaporization)

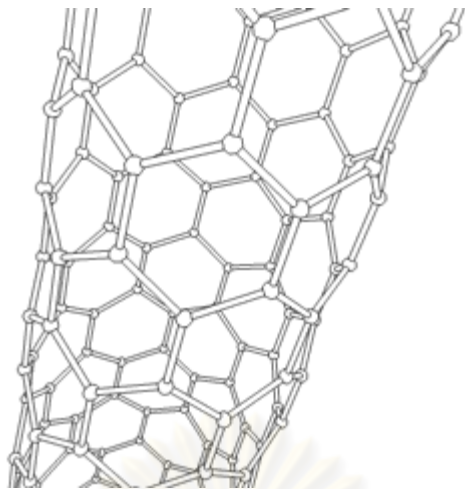
วิธีนี้จะใช้พัลล์แสลงเลเซอร์ที่มีความเข้มแสงสูงถึง 100 วัตต์ผสมกับผงโลหะที่เป็นตัวเร่งปฏิกิริยา ภายใต้บรรยากาศของแก๊สเชือยที่ความดันต่ำประมาณ 500 มิลลิเมตรปอร์ต และอุณหภูมิ 1200 องศาเซลเซียส ดังแสดงในรูปที่ 2.8 เทคนิคนี้คล้ายกับวิธีการคิดิษาร์ซึ่งจะได้ปริมาณและคุณภาพของท่อนาโนคาร์บอนดีกว่า แต่มีข้อเสียที่จำเป็นต้องใช้แหล่งกำเนิดแสงเลเซอร์กำลังสูง และมีราคาแพงมาก



รูปที่ 2.8 การสังเคราะห์ท่อนาโนคาร์บอนโดยวิธีระเหยด้วยเลเซอร์ [17]

2.5.2 รูปแบบและโครงสร้างของท่อนาโนคาร์บอน

ท่อนาโนคาร์บอน (Carbon Nanotubes : CNTs) เป็นอัญจูปนึงของคาร์บอนซึ่งมีโครงสร้างนาโนแบบทรงกระบอก ท่อนาโนนี้จะสร้างตัวขึ้นด้วยอัตราส่วนระหว่างความยาวต่อเส้นผ่าศูนย์กลาง 28,000,000 : 1 ขึ้นไป ซึ่งมีค่ามากกว่าร้อยล้านเท่าๆ กัน อย่างยิ่ง โดยกลุ่มของการบอนที่เรียงตัวเป็นทรงกระบอกเหล่านี้ ดังแสดงในรูปที่ 2.9 มีสมบัติใหม่ที่ทำให้สามารถนำไปประยุกต์ใช้ได้อย่างหลากหลาย ทั้งในด้านนาโนเทคโนโลยี ด้านอิเล็กทรอนิกส์ ด้านทัศนศาสตร์ และสาขาอื่นๆ ในวัสดุศาสตร์ และถูกนำมาใช้ในสาขาสถาปัตยกรรม เช่นเดียวกัน ท่อนาโนคาร์บอนมีคุณสมบัติเฉพาะตัวทางไฟฟ้า และเป็นตัวนำความร้อนที่มีประสิทธิภาพยิ่ง ประโยชน์ที่สำคัญอีกประการหนึ่งก็คือใช้ในการรักษาแบบเคมีบำบัด ซึ่งต้องควบคุมปริมาณไม่ให้เป็นพิษต่อร่างกายและควบคุมการเปลี่ยนแปลงสมบัติของท่อด้วย

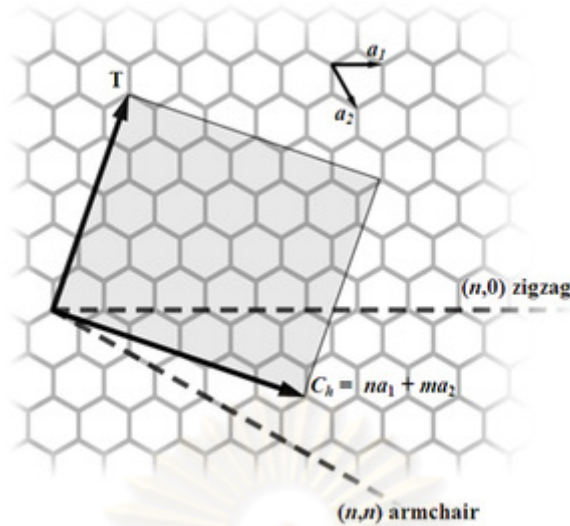


รูปที่ 2.9 โครงสร้างของท่อนานาโนคาร์บอน [17]

ท่อนานาโนคาร์บอนก็จัดอยู่ในอัญมณีแบบฟลูเลอรีน (fullerene) ประเทกหนึ่ง โดยประกอบด้วยลูกบล็อกทรงกลมเรียกว่า “บักคิบลล์ (buckyballs)” ปลายสุดของท่อนานาโนจะต้องจับอยู่กับครึ่งหนึ่งของโครงสร้างบักคิบล เส้นผ่าศูนย์กลางของท่อนานาโนคาร์บอนอยู่ในระดับไม่กี่นาโนเมตร (ประมาณ 1 ใน 50,000 ส่วนของความกว้างของเส้นผ่านศูนย์กลาง) ขณะที่มีความยาวได้หลายมิลลิเมตร โดยท่อนานาโนคาร์บอนจะจัดแบ่งออกได้ 2 รูปแบบก็คือ ท่อนานาโนผนังชั้นเดียว (single-walled nanotubes : SWNTs) และท่อนานาโนผนังหลายชั้น (multi-walled nanotubes : MWNTs)

2.5.2.1 ท่อนานาโนคาร์บอนผนังชั้นเดียว (single-walled nanotubes : SWNTs)

โดยส่วนใหญ่แล้ว ท่อนานาโนคาร์บอนผนังชั้นเดียวจะมีเส้นผ่าศูนย์กลางใกล้เคียงกับ 1 นาโนเมตร ซึ่งความยาวของท่อสามารถยาวได้มากกว่าหนึ่งหลายล้านเท่า โครงสร้างของท่อนานาโนคาร์บอนผนังชั้นเดียวนั้น สามารถอาศัยความคิดที่ว่าเป็นการนำผ่านเยื่อที่มีความหนา 1 อะตอม ของแกรไฟต์ เรียกว่า แกรฟีน (graphene) มาห่อม้วนเข้าเป็นทรงกระบอกที่ไม่มีรอยต่อ ตำแหน่งของผ่านแกรฟีนที่ม้วนเข้าด้วยกันนั้น แสดงได้โดยเลขดัชนีคู่หนึ่ง (n, m) เรียกว่า chiral vector จำนวนนับ n และ m นิยามถึงเกตเอนด์หน่วยของทิศทางสองทิศทาง ภายใต้ผลึกแลดูทิชรังผึ้งของแกรฟีน ถ้า $m = 0$ ท่อนานาโนคาร์บอนจะถูกเรียกว่า “zigzag” ถ้า $n = m$ ท่อนานาโนคาร์บอนจะถูกเรียกว่า “armchair” ในกรณีอื่นๆ จะเรียกว่า “chiral” ดังแสดงในรูปที่ 2.10



รูปที่ 2.10 ทิศทางผลึกในโครงสร้างของท่อนาโนคาร์บอน [17]

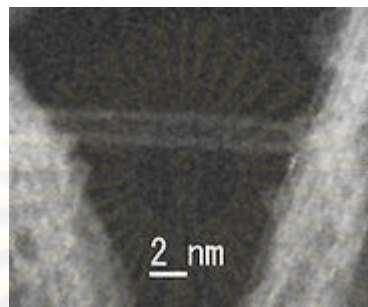
(k, m) ของท่อนาโนคาร์บอนสามารถดัดให้เป็นวงแหวน C_h ในแผ่นแกรฟีนที่มีพื้นที่เป็นอนันต์ โดยจะอธิบายว่า แผ่นแกรฟีน "ม้วน" เป็นท่อนาโนคาร์บอนได้อย่างไร ลัญลักษณ์ T นิยามเป็นแกนของท่อ และ a_1 และ a_2 คือวงแหวนผ่านของแกรฟีนใน real space

ท่อนาโนคาร์บอนผังชั้นเดียว เป็นท่อนาโนคาร์บอนคาร์บอนที่สำคัญประเภทหนึ่ง เพราะแสดงสมบัติทางไฟฟ้า ที่ท่อนาโนคาร์บอนแบบผังชั้นหลายชั้นไม่มี ท่อนาโนคาร์บอนผังชั้นเดียว เมื่อกับเป็นตัวแทนของอิเล็กทรอนิกส์ที่ถูกใช้ในวงแหวน ยิ่งกว่าระดับไมโครอิเล็กทรอนิกส์ที่กำลังใช้อยู่ในปัจจุบัน การนำท่อนาโนคาร์บอนผังชั้นเดียวไปใช้งานแบบพื้นฐานที่สุดก็คือ การใช้เป็นสายไฟ และท่อนาโนคาร์บอนผังชั้นเดียวที่เป็นตัวนำที่มีมากด้วย การนำมาประยุกต์ใช้ที่เป็นประโยชน์อย่างหนึ่งก็คือ การพัฒนา field effect transistors (FET) ในระดับไมโครกลไกได้เป็นชิ้นแรก แนวคิดการสร้าง logic gate ในระดับไมโครกลไกโดยใช้ FET ที่ทำจากท่อนาโนคาร์บอนผังชั้นเดียวก็มีโอกาสเป็นไปได้สูง การผลิต logic gate นั้นจะต้องมีทั้ง p-FET และ n-FET ท่อนาโนคาร์บอนผังชั้นเดียวจะประพฤติตัวเป็น p-FET เมื่อออยู่ในออกซิเจน และเป็น n-FET เมื่อออยู่ในภาวะอื่น จึงมีความเป็นไปได้ที่จะป้องกันคริสตัลของท่อนาโนคาร์บอนผังชั้นเดียวจากออกซิเจน และอีกครึ่งหนึ่งให้ออยู่ในออกซิเจน ผลลัพธ์ก็คือ ท่อนาโนคาร์บอนผังชั้นเดียวจะประพฤติตัวเป็น NOT logic gate ที่มี FETs p และ n-type ในไมโครกลไกเดียวกัน

2.5.2.2 ท่อนาโนคาร์บอนผังชั้นหลายชั้น (multi-walled nanotubes : MWNTs)

ท่อนาโนคาร์บอนผังชั้นหลายชั้น (MWNTs) ประกอบด้วยเยื่อที่วนรอบออยู่หลายชั้น (โดยมีจุดศูนย์กลางร่วมกัน) ของแกรฟีต มีแบบจำลองที่ใช้อธิบายโครงสร้างของ MWNT ออยู่ 2 แบบ แบบ

แรกคือแบบจำลอง Russian Doll ซึ่งเป็นแผ่นของแกรไฟต์ที่จัดตัวเป็นทรงกระบอกซ้อนกัน โดยมีจุดศูนย์กลางร่วมกัน ตัวอย่างเช่น ท่อนาโนคาร์บอนผนังชั้นเดียว ($0,8$) อยู่ภายในท่อนาในคาร์บอน ($0,10$) ซึ่งใหญ่กว่า อีกแบบหนึ่งก็คือ แบบจำลอง Parchment โดยแผ่นของแกรไฟต์จะหมุนวนรอบตัวของมันเอง คล้ายกับม้วนกระดาษหนังหรือม้วนหนังสือพิมพ์ ระยะระหว่างแต่ละชั้นของท่อนา nano-carbon ผนังหลายชั้น จะใกล้เคียงกับระยะระหว่างชั้นแกรฟินในแกรไฟต์ประมาณ 3.4 \AA ดังแสดงในรูป 2.11



รูปที่ 2.11 Electron micrograph แสดงให้เห็นถึงท่อนา nano-carbon ผนังหลายชั้น [17]

ลักษณะพิเศษของท่อนา nano-carbon ผนังสองชั้น (double-walled carbon nanotubes : DWNT) น่าสนใจเนื่องจากมีสัณฐานวิทยา (morphology) และสมบัติคล้ายกับ SWNT แต่ความต้านทานทางเคมีต่ำกว่ามาก นี้เป็นสมบัติใหม่ที่สำคัญของ DWNT ในกรณีของ SWNT การสังเคราะห์หมุ่ฟังก์ชันบนท่อโดยใช้พันธะโควาเลนต์จะทำลายพันธะคู่ $C=C$ บางส่วน ก่อให้เกิด “hole” ภายในโครงสร้างของท่อนา nano-carbon และเปลี่ยนแปลงทั้งสมบัติเชิงกลและสมบัติทางไฟฟ้า ในกรณีของ DWNT มีเพียงผนังชั้นนอกสุดเท่านั้นที่ถูกเปลี่ยนแปลง การสังเคราะห์ DWNT ออกมากในระดับกรัมทำสำเร็จเป็นครั้งแรกในปี 2003 ด้วยเทคนิค CCVD จากการ selective reduction ของสารละลายนอกไชด์ในวีเทนและไฮโดรเจน [18]

2.5.3 สมบัติต่างๆ ของท่อนา nano-carbon

2.5.3.1 ความแข็งแรง (Strength) [19]

คุณสมบัติเชิงกลที่พิเศษของท่อนา nano-carbon นี้ คือเป็นโครงสร้างนาโนที่มีความแข็งแกร่ง น้ำหนักเบา และมีความยืดหยุ่นอย่างมาก โดยจากการศึกษาของนักวิทยาศาสตร์ได้กล่าวไว้ว่าท่อนา nano-carbon นี้เป็นโครงสร้างที่มีความแข็งแกร่งมากกว่าเหล็กเกินกว่า 60 เท่า และท่อนา nano-carbon มีน้ำหนักที่เบามาก อีกทั้งเป็นโครงสร้างที่มีความยืดหยุ่น ซึ่งจากการศึกษาพบว่าสามารถ

ทันต่อแรงดึงได้มากกว่าเหล็กถึง 20 เท่า ดังแสดงในตารางที่ 2.5 จึงได้มีการนำมาใช้เป็นวัสดุเสริมแรงในผลิตภัณฑ์หลายชนิดอย่าง เช่น อุปกรณ์กีฬา กอล์ฟ และเทนนิส เป็นต้น (และมีแนวโน้มในการใช้ผลิตเป็นโครงสร้างของเครื่องบินอีกด้วย)

ตาราง 2.5 การเปรียบเทียบสมบัติเชิงกลของท่อนาโนคาร์บอนชนิดต่างๆ [19]

Material	Comparison of mechanical properties		
	Young's modulus (TPa)	Tensile strength (GPa)	Elongation at break (%)
SWNT	~1 (from 1 to 5)	13–53 ^E	16
Armchair SWNT	0.94 ^T	126.2 ^T	23.1
Zigzag SWNT	0.94 ^T	94.5 ^T	15.6–17.5
Chiral SWNT	0.92	-	-
MWNT	0.27 ^E –0.95 ^E	11 ^E –150 ^E	-
Stainless steel	0.186 ^E –0.214 ^E	0.38 ^E –1.55 ^E	15–50
Kevlar–29&149	0.06 ^E –0.18 ^E	3.6 ^E –3.8 ^E	~2

^EExperimental observation; ^TTheoretical prediction

ท่อนาโนคาร์บอนเป็นวัสดุที่มีความแข็งแรงมากเมื่อเทียบจากสมบัติทางด้านความต้านแรงดึง (tensile strength) และมอดูลัสยืดหยุ่น (elastic modulus) ในปี ค.ศ. 2000 มีการทดลองวัดค่าความต้านแรงดึงของท่อนาโนคาร์บอน พบร่วมค่าถึง 63 จิกะปาสคาล เทียบเท่ากับความต้านแรงดึงที่มีน้ำหนัก 6422 กิโลกรัมต่อตารางเมตร บนสายเคเบิลซึ่งเป็นผลมาจากการความแข็งแรงของพันธะโคราเลนต์ระหว่างอะตอมของคาร์บอนแต่ละอะตอม แต่ท่อนาโนคาร์บอนไม่ได้เป็นวัสดุที่แข็งแรงในกรณีที่ถูกบีบอัดเนื่องจากมีอัตราส่วนของความยาวต่อพื้นที่หน้าตัดที่สูงมากและภายในท่อนาโนคาร์บอนมีลักษณะกลวง จึงมีแนวโน้มที่จะแตกหักได้เมื่อได้รับแรงอัดหรือแรงบิด

2.5.3.2 สมบัติเชิงไฟฟ้า (Electrical property) [20]

สมบัติเชิงไฟฟ้าที่น่าสนใจสำหรับท่อนาโนคาร์บอนคือสามารถเป็นได้ทั้งสารกึ่งตัวนำหรือเชมิคอลดักเตอร์และเป็นตัวนำกระแสไฟฟ้ายิ่งขึ้นหากหีบอซูเบอร์คอลดักเตอร์ (คือตัวนำที่ไม่มีแรงต้านไฟฟ้าเลย) โดยขึ้นอยู่กับกระบวนการสังเคราะห์การจัดเรียงตัวของอะตอมคาร์บอนตามผังของท่อสัดส่วนองค์ประกอบ และวัตถุชนิดอื่นที่ผสมลงไปในโครงสร้างท่อนาโนคาร์บอน และเนื่องด้วยเป็นโครงสร้างที่เล็กมากในระดับนาโน ท่อนาโนคาร์บอนจึงมีคุณสมบัติความต้ม คือสามารถควบคุมการไหลของอิเล็กตรอนแบบไม่ต่อเนื่อง โดยอาจจะสามารถควบคุมการไหลที่ลักษณะของอิเล็กตรอน หรือควบคุมการเคลื่อนที่ของอิเล็กตรอนที่ลัดตัวได้ จึงได้มีการนำมาใช้งานในการผลิตเป็นทรานซิสเตอร์ที่มีความเร็วสูงและมีความต้านทานต่ำมาก และมีการนำมาพัฒนาในการสร้างเกทพื้นฐานเชิงตรรกะ (logic gate) ซึ่งจะนำไปสู่การสร้างระบบของคอมพิวเตอร์ nano รวมทั้งมีการพัฒนาที่จะนำท่อนาโนคาร์บอนไปใช้แทนโลหะ ในส่วนที่เป็นข้อในตัวหลอดสำหรับจ่ายลำอิเล็กตรอนในการประดิษฐ์จลดาแบบแบร์จสีเคโทิด ที่ใช้ในจอดหีบ หรือจอดคอมพิวเตอร์ ด้วยคุณสมบัติที่เหนือกว่าคือสามารถให้ความสม่ำเสมอ ให้ปริมาณที่เพียงพอ และมีอายุการใช้งานของการจ่ายอิเล็กตรอนนานกว่า นอกจากนี้แล้วยังไม่จำเป็นต้องใช้ในสัญญาภัย และยังเป็นการประหยัดพลังงาน เนื่องจากสามารถจ่ายอิเล็กตรอนได้ที่อุณหภูมิห้อง โดยไม่จำเป็นต้องเผาไส้หลอดให้แดง อุ่นภูมิอากาศใช้โลหะ

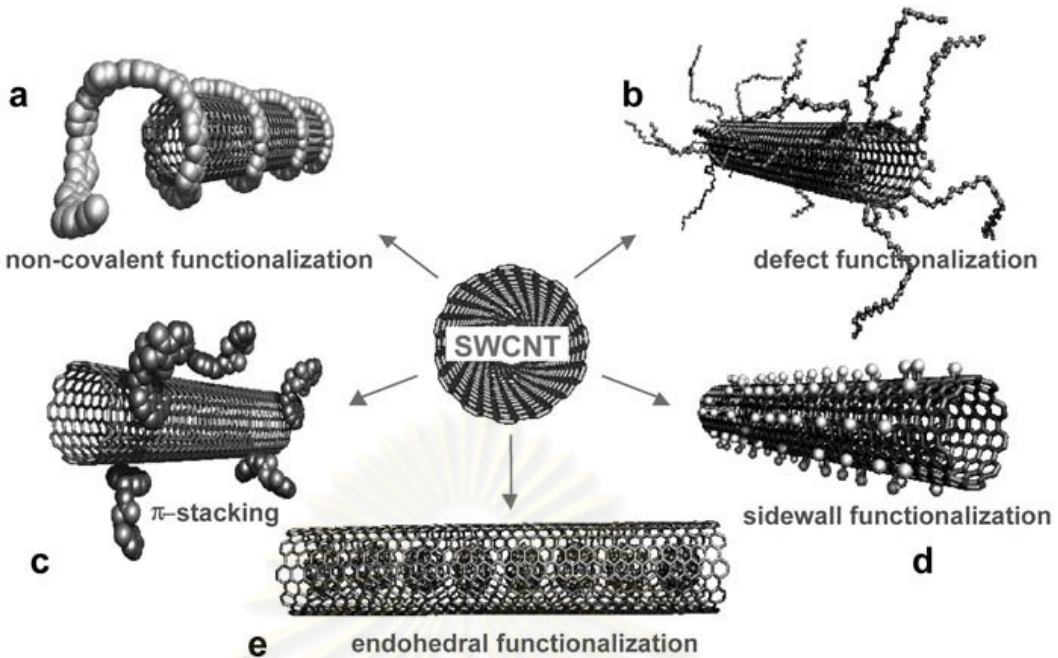
เนื่องจากโครงสร้างที่สมมาตรและมีความโดดเด่นทางด้านการนำกระแสไฟฟ้าของแก้วฟิน เมื่อเปลี่ยนรูปร่างเป็นแบบท่อทำให้ท่อนาโนคาร์บอนมีสมบัติทางไฟฟ้าที่ดียิ่งขึ้น สำหรับท่อนาโนคาร์บอน (n, m) ถ้า $n = m$ แล้ว ท่อนาโนคาร์บอนจะมีสมบัติเป็นแบบโลหะ แต่ถ้า n คูณกับ m แล้วมีค่าเป็นจำนวนเท่าของ 3 ท่อนาโนคาร์บอนจะแสดงสมบัติแบบสารกึ่งตัวนำที่มีช่องว่างระหว่างแถบ (band gap) ที่แคบ ถ้านอกเหนือจากการนี้ที่กล่าวมา จะเป็นสารกึ่งตัวนำแบบท่อไป ดังนั้น ท่อนาโนคาร์บอนแบบอาร์มแชร์ ($n = m$) ทั้งหมดจะมีสมบัติแบบโลหะและท่อนาโนคาร์บอนแบบ (6, 4), (9, 1) และอื่นๆ จะมีสมบัติแบบสารกึ่งตัวนำ อย่างไรก็ตามหากที่กล่าวมาก็มีข้อยกเว้นเพราผลจากความโถงในท่อนาโนคาร์บอนที่มีเส้นผ่านศูนย์กลางขนาดเล็กจะส่งผลต่อสมบัติการนำกระแสไฟฟ้าอย่างมาก ทำให้ในท่อที่ควรจะมีสมบัติเป็นแบบกึ่งตัวนำจะสามารถแสดงสมบัติเป็นแบบโลหะได้ ซึ่งท่อนาโนคาร์บอนแบบ zigzag และ chiral ที่มีเส้นผ่านศูนย์กลางขนาดเล็กก็จะแสดงสมบัติแบบโลหะได้ ส่วนแบบอาร์มแชร์ก็ยังคงสมบัติของโลหะอยู่ ในทางทฤษฎีท่อนาโนคาร์บอนสามารถนำกระแสไฟฟ้าได้ 4×10^9 แอมเปอร์ต่อตารางเซนติเมตร ซึ่งมากกว่าโลหะ เช่น ทองแดงถึง 1,000 เท่า

2.6 การสังเคราะห์หมู่ฟังก์ชันลงบนท่อนาโนคาร์บอน (Functionalization of Carbon Nanotubes) [21]

โดยทว่าไปท่อนาโนคาร์บอนในทุกรูปแบบโครงสร้างจะมีสมบัติการกระจายตัวและละลายในน้ำหรือสารอินทรีย์ต่างๆได้ไม่ดี เนื่องจากมีค่าความต้านทานในการเข้ากับของเหลวสูง การสังเคราะห์หมู่ฟังก์ชันบนท่อนาโนคาร์บอนสามารถช่วยให้มีสมบัติการละลายดีขึ้นทำให้การนำไปใช้งานในกระบวนการต่างๆมีประสิทธิภาพมากขึ้น โดยพันธะเคมีสามารถใช้ปรับปรุงอันตรกิริยาระหว่างท่อนาโนคาร์บอนและสารอื่นๆได้ เช่น ตัวทำละลาย พอลิเมอร์และท่อนาโนคาร์บอนด้วยกัน การที่ท่อนาโนคาร์บอนมีหมู่ฟังก์ชันจะมีสมบัติเชิงกลและสมบัติทางไฟฟ้าที่แตกต่างจากการนี้ที่ไม่มีหมู่ฟังก์ชัน ซึ่งจะมีประโยชน์ต่อการใช้งานในรูปแบบเฉพาะทางต่างๆ

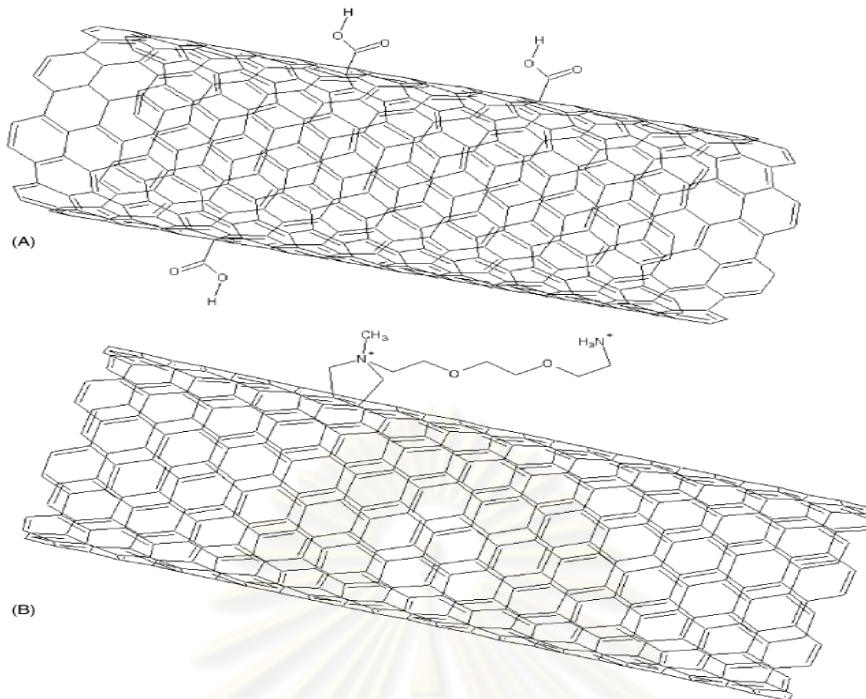
การสังเคราะห์หมู่ฟังก์ชันลงบนท่อนาโนคาร์บอนแบ่งออกเป็น 2 ประเภทคือแบบใช้พันธะគิริยาเลนต์และแบบไม่ใช้ โดยแบบที่ใช้พันธะគิริยาเลนต์จะใช้แรงของพันธะเชื่อมหมู่ฟังก์ชันลงบนจุดต่างๆของท่อ เช่น ปลายท่อ บริเวณจุดที่บกพร่องบนท่อ (defect) หรือที่ผนังของท่อ ตัวอย่างของการสังเคราะห์แบบใช้พันธะគิริยาเลนต์คือ การสังเคราะห์หมู่คาร์บออกซิลิก ส่วนกรณีที่ไม่ใช้พันธะគิริยาเลนต์ในการสังเคราะห์จะเป็นการนำโมเลกุลต่างๆ ลงบนท่อนาโนคาร์บอน แรงที่ช่วยในการดูดซับ เช่น แรงแวนเดอวัลล์ ซึ่งทั้งหมดที่กล่าวมานี้จะเป็นการสังเคราะห์ลงบนท่อนาโนคาร์บอนภายใต้กําลังแม่เหล็ก แต่จะมีรูปแบบที่พิเศษอีกรูปแบบหนึ่งคือการสังเคราะห์หมู่ฟังก์ชันให้เกิดภายในท่อนาโนคาร์บอน ดังแสดงในรูปที่ 2.12 ซึ่งการสังเคราะห์หมู่ฟังก์ชันลงบนท่อนาโนคาร์บอนแบบผนังหลาຍชັ້ນจะเกิดหมู่ฟังก์ชันที่ผนังชັ້ນนอกสุดเท่านั้นจึงเปรียบเทียบคล้ายกับการสังเคราะห์บนท่อนาโนคาร์บอนแบบผนังชັ້ນเดียว

ศูนย์วิทยทรัพยากร
จุฬาลงกรณ์มหาวิทยาลัย



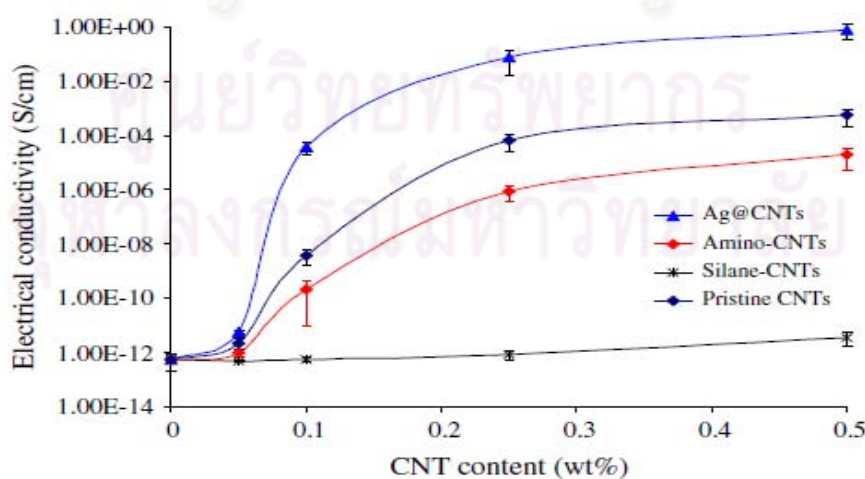
รูปที่ 2.12 รูปแบบต่างๆของการสังเคราะห์หมู่ฟังก์ชันลงบนนาโนคาร์บอนแบบผนังขั้นเดียว a) แบบไม่ใช้แรงจากพันธะเคมี b) แบบสังเคราะห์หมู่ฟังก์ชันลงบนจุดบกพร่องบนท่อ c) แบบแต่ละจุดต่อเนื่องบนผนังท่อ d) แบบสม่ำเสมอบนผนังท่อและ e) แบบที่มีหมู่ฟังก์ชันภายในท่อ [21]

การสังเคราะห์โดยใช้พันธะเคมีนั้นกำลังได้รับความสนใจในการวิจัยและพัฒนาในปัจจุบันแต่มีความยุ่งยากในการควบคุมกระบวนการในการสังเคราะห์เนื่องจากต้องใช้ความร้อนสูงและภาวะในการเกิดปฏิกิริยาที่รุนแรงเพื่อสร้างพันธะเคมีนั้นยังเป็นเรื่องยากที่จะอธิบายลักษณะของท่อนานาในcarbonที่มีหมู่ฟังก์ชันเกิดขึ้นและการกำหนดตำแหน่งของการเกิดหมู่ฟังก์ชัน เทคนิคที่พบมากที่สุดคือการทำให้บริสุทธิ์โดยการออกซิเดชัน (Oxidative Purification) โดยทำการออกซิเดชันท่อนานาในcarbonในขณะที่อยู่ในสถานะแก๊สหรือของเหลวเพื่อที่จะสังเคราะห์หมู่carbonที่อนามัย ดังแสดงในรูปที่ 2.13 และหมู่ต่างๆ ที่มีออกซิเจนเป็นองค์ประกอบลงบนท่อ เช่น หมู่carbonil ไอดรอออกซิลและເອສເທෝර์ จากงานวิจัยที่ผ่านมาพบว่าหมู่carbonออกซิลิกจะช่วยให้ท่อนานาในcarbonที่ได้มีการเกิดอันตริกิริยาที่ดีกว่ากรณีที่ไม่มีหมู่ฟังก์ชัน 6-10 เท่า และการสังเคราะห์หมู่ 1,3-dipolar azomethine จะช่วยให้ท่อนานาในcarbonละลายในตัวทำละลายอินทรีย์ได้ดีขึ้น 50 มิลลิกรัมต่อมิลลิลิตร [23] ซึ่งโครงสร้างของท่อนานาในcarbonที่มีหมู่carbonออกซิลิกและหมู่ 1,3-dipolar azomethine แสดงในรูปที่ 2.13



รูปที่ 2.13 รูปแบบโครงสร้างของท่อนาโนคาร์บอนที่มี (A) หมู่carboxylic และ (B) หมู่ 1,3-dipolar azomethine [22]

นอกจากนี้การสังเคราะห์หมู่ฟังก์ชันลงบนท่อนาโนคาร์บอนยังเป็นการเพิ่มสมบัติการนำไฟฟ้าให้แก่วัสดุคอมพอยต์เมื่อมีการนำท่อนาโนคาร์บอนไปผสมดังแสดงในรูปที่ 2.14 โดยมีการสังเคราะห์หมู่ฟังก์ชัน 3 ชนิด ได้แก่ เงิน อะมิโนและไไซเลน ซึ่งเมื่อใช้ท่อนาโนคาร์บอนที่มีเงินเป็นหมู่ฟังก์ชันสามารถเพิ่มค่าการนำไฟฟ้าได้เมื่อเทียบกับท่อนาโนคาร์บอนที่ไม่มีหมู่ฟังก์ชัน



รูปที่ 2.14 ผลของการเติมท่อนาโนคาร์บอนที่มีการสังเคราะห์หมู่ฟังก์ชันชนิดต่างๆ ต่อค่าการนำไฟฟ้าของวัสดุคอมพอยต์ [23]

2.7 งานวิจัยที่เกี่ยวข้อง

พาร์ชัย [4] ได้ศึกษาการเตรียมแผ่นนำกระแสงไฟฟ้าแบบสองชั้นนิดโลหะเคลือบด้วยคาร์บอนคอมโพสิตสำหรับเซลล์เชือกเพลิงชันดิเยื่อแลกเปลี่ยนprototon โดยใช้สารยึดเกาะติดคืออิพ็อกซีเรซินและซิงก์เรซิน ใช้วิธีการฉีดพ่นสารที่เตรียมจากผงแกรไฟต์กับตัวประสานในการเคลือบผิวโลหะ พบว่า การใช้อิพ็อกซีเรซินเป็นตัวช่วยยึดเกาะจะได้ค่าความต้านทานสัมผัสสูงกว่าซิงก์เรซิน ผงแกรไฟต์ชนิด BDH และผงแปรงถ่าน (CB) จะให้ค่าการนำกระแสงไฟฟ้าในแนวแกนที่สูงแต่ผงแปรงถ่าน (CB) จะมีค่ากระแสงกัดกร่อนต่ำที่สุด ปริมาณของผงคาร์บอนและความหนาในการเคลือบผิวที่เพิ่มขึ้นจะทำให้ค่าความต้านทานการสัมผัสเพิ่มขึ้นและค่ากระแสงกัดกร่อนลดลง เมื่อนำแผ่นนำกระแสงไฟฟ้าชนิดโลหะเคลือบด้วยคาร์บอนคอมโพสิตทดสอบในเซลล์เชือกเพลิง พบว่า ให้ความหนาแน่นกระแสงไฟฟ้า (382.4 มิลลิแอมเปอร์ต่อตารางเซนติเมตร) น้อยกว่าเมื่อใช้แผ่นนำกระแสงไฟฟ้าเชิงพาณิชย์ (422.8 มิลลิแอมเปอร์ต่อตารางเซนติเมตร) ที่ความต่างศักย์ 0.6 โวลต์ เพราะผิวแผ่นนำกระแสงไฟฟ้าชนิดโลหะเคลือบด้วยคาร์บอนคอมโพสิตเกิดการเปลี่ยนสภาพ

Ma และคณะ [5] ได้ศึกษาการเสริมแรงวัสดุนาโนโดยใช้สารตัวเติมที่ผสมกันระหว่างท่อนาโนคาร์บอน (CNTs) และเข็ม่าดำ (CB) เพื่อปรับปรุงสมบัติด้านการนำกระแสงไฟฟ้าของวัสดุผสมและทำความสัมพันธ์กับสมบัติทางกายภาพของวัสดุโดยที่ผลิตภัณฑ์สุดท้ายมีราคาต่ำ วัสดุผสมนาโนซึ่งใช้ Epoxy resin เป็นตัวช่วยยึดเกาะเตรียมโดยการปั๊บเปลี่ยนอัตราส่วนของท่อนาโนคาร์บอน (CNTs) และเข็ม่าดำ (CB) พบว่าวัสดุนาโนที่ผสมเข็ม่าดำ (CB) และท่อนาโนคาร์บอนจะมีสมบัติการนำกระแสงไฟฟ้าที่ดีขึ้นอย่างเห็นได้ชัดและให้สมบัติเชิงกลที่ดีเมื่อเติมที่อัตราส่วนร้อยละ 0.2 โดยน้ำหนักของสารตัวเติมทั้งสองชนิด ซึ่งเป็นการยืนยันว่าเป็นผลมาจากการทำงานร่วมกัน (synergistic) ของเข็ม่าดำและท่อนาโนคาร์บอน

Lee และคณะ [24] ได้ศึกษาผลของการใช้ท่อนาโนคาร์บอนแบบผนังหล่ายชั้นเป็นสารตัวเติมต่อเอกลักษณ์ของตัวต้านทานที่มีค่าสัมประสิทธิ์ความต้านทานต่ออุณหภูมิเป็นบวก positive temperature coefficient (PTC) ของสารประกอบคาร์บอนพอลิเอทิลีนชนิดความหนาแน่นสูง (HDPE) ผสมสารโดยวิธีผสมในภาวะหลอม ผลที่ได้แสดงให้เห็นว่า ค่า PTC intensity และ repeatability ของวัสดุผสมนาโนเพิ่มขึ้นอย่างเห็นได้ชัด เมื่อมีการเติมท่อนาโนคาร์บอนแบบผนังหล่ายชั้นเพียงเล็กน้อย ซึ่งปริมาณของท่อนาโนคาร์บอนแบบผนังหล่ายชั้นที่เหมาะสมที่สุดขึ้นกับปริมาณของค่าประจุของคาร์บอนในสารตัวเติม และค่าความต้านทานของวัสดุจะลดลงเมื่อมี

องค์ประกอบของห้องท่อนโน่นควรบอนแบบผนังหลายชั้นเพิ่มขึ้นเพื่อรองรับความต้านทานทางกายภาพที่ต้องการให้สามารถต้านทานของวัสดุลดลง

Tomokazu และคณะ [25] ทำการศึกษาการเติร์ยมแผ่นนำกระแสงไฟฟ้าแบบสองชั้นชนิดโลหะจากแผ่นเหล็กกล้าไร้สนิมโดยทำเป็นฟิล์มบนแผ่นเหล็กกล้าไร้สนิม ซึ่งการเคลือบคาร์บอนจะเตรียมด้วยวิธี CVD และศึกษาลักษณะทั่วไปด้วย Raman Spectroscopy และ Atomic Force Microscopy จากนั้นนำแผ่นเหล็กกล้าไร้สนิมที่เคลือบคาร์บอนแล้วทดสอบสมบัติความต้านทานการกัดกร่อนด้วยกรดชั้ลฟิวเริก ดูค่าความต้านทานภายในก่อนและหลังการกัดกร่อน และดูความต่างศักย์ที่เกิดขึ้นบนแผ่นนำกระแสงไฟฟ้าแบบสองชั้นชนิดโลหะจากแผ่นเหล็กกล้าไร้สนิมเป็นวัสดุที่ใช้ในเซลล์เชื้อเพลิง ผลการทดลองแสดงว่าสารเคลือบคาร์บอนสามารถป้องกันการกัดกร่อนของแผ่นกล้าไร้สนิมได้ แผ่นฟิล์มผสมกับโลหะออกไซด์ทำให้สามารถลดความต้านทานการสัมผัสระหว่างแผ่นนำกระแสงไฟฟ้าสองชั้นและช่องการไหลของแก๊ส การลดความต้านทานและการกัดกร่อนจะทำให้สมบัติการนำกระแสงไฟฟ้าของแผ่นโลหะดีขึ้น แผ่นเหล็กกล้าไร้สนิมที่ผ่านกระบวนการเคลือบผิวจะให้ค่านำกระแสงไฟฟ้ามากกว่าที่ไม่ได้ผ่านกระบวนการเคลือบผิว

Shigehiro และคณะ [26] ได้ทำการพัฒนาแผ่นโลหะที่ป้องกันการกัดกร่อนและนำกระแสงไฟฟ้าได้ดี ซึ่งจะเคลือบที่ผิวด้วยคาร์บอนผสมเรซินบนแผ่นเหล็กกล้าไร้สนิม สารเคลือบจะประกอบด้วยผงเกรไฟต์ อิพ็อกซี่เรซินและฟีนอล โดยหาส่วนผสมที่ดีที่สุดโดยการนำไปทดสอบค่าความนำกระแสงไฟฟ้าและความต้านทานการกัดกร่อนของแผ่นโลหะ พบร่วมกันที่เมื่อนำแผ่นโลหะที่เคลือบไปทดสอบโดยการรุ่มในกรดชัลฟิวเริกที่ความเข้มข้น 0.1 มอลต์คลิตร ที่อุณหภูมิ 90 องศาเซลเซียส นานกว่า 2000 ชั่วโมง พบร่วมกันที่เมื่อการเคลือบคาร์บอนผสมเรซินสามารถต่อการกัดกร่อนได้ดี และพบส่วนตัวที่ต้านทานที่ผิวน้อยกว่า 13.8 มิลลิโอมตาร์ชันติเมตร ที่ภาวะการเคลือบที่อุณหภูมิคงที่ 1053 องศาเคลวิน นาน 5 ชั่วโมง และลดอุณหภูมิลงเหลือ 373 องศาเคลวิน นาน 1.5 ชั่วโมง

จุฬาลงกรณ์มหาวิทยาลัย

บทที่ 3

เครื่องมือและวิธีการทดลอง

3.1 วัสดุและสารเคมีที่ใช้ในงานวิจัย

- | | |
|--|---------------------------------|
| 1. ผงแปร่งถ่าน | บริษัท สูชีญไนเต็คคาร์บอน จำกัด |
| 2. ซิงก์เรชิน | บริษัท Research Product Int. |
| 3. ไกลอุ่น | บริษัท Sigma-Aldrich |
| 4. อะคริลิกเรชิน เกรด 52-204 | บริษัท Aekyung chemical |
| 5. กรดไนต์ริกเข้มข้น 65% | บริษัท Sigma-Aldrich |
| 6. กรดซัลฟิวเริกเข้มข้น 98% | บริษัท Sigma-Aldrich |
| 7. ท่อนาโนคาร์บอนชนิดการนำไฟฟ้าต่ำ | มหาวิทยาลัยเชียงใหม่ |
| 8. ท่อนาโนคาร์บอนชนิดการนำไฟฟ้าสูง | บริษัท Chengdu Organic Chem. |
| 9. ท่อนาโนคาร์บอนชนิดการนำไฟฟ้าสูงและมีหมู่
คาร์บออกซิลิก | บริษัท Chengdu Organic Chem. |
| 10. กรดไฮโดรคลอริกเข้มข้น 12 มิลาร์ | บริษัท Sigma-Aldrich. |
| 11. ชิลicon | บริษัท คีซิโน ไอ ซังกิไย |
| 12. น้ำกลั่น | |
| 13. เหล็กกล้าไร้สนิม เกรด 304 | |
| 14. ผ้าcarbon (Carbon Cloth) | |
| 15. แผ่นทองแดง | |

3.2 เครื่องมือและอุปกรณ์

- แหล่งจ่ายไฟฟ้า (Power supply) รุ่น HY 3002 ยี่ห้อ COMMUE
- เครื่องวัดความหนา (Thickness gauge) รุ่น 547-401 Mitutoyo
- มัลติมิเตอร์ (Multi-miter) Model RM-15 Sangchai meter
- เครื่อง Potentiostat/Galvanostat Model μ3AUT70558 μAUTOLAB
- เครื่องฉีดพ่น Model 175 Crescendo air brush เส้นผ่านศูนย์กลาง 2 มิลลิเมตร

ความดันปั๊มลม 10 lb/in²

6. ปากกาหนีบชิ้นงาน
7. บีกเกอร์
8. ตู้อบ
9. นาฬิกาจับเวลา
10. เครื่องซึ่งน้ำหนัก ซึ่งได้ละเอียดถึงทศนิยม 2 ตำแหน่ง และ 4 ตำแหน่ง

3.3 การดำเนินงานวิจัย

3.3.1 การเตรียมผิวชิ้นงานก่อนการเคลือบผิว

การเตรียมผิวชิ้นงานก่อนการเคลือบผิวจำเป็นต้องกำจัดออกไชด์บันผิวน้ำของชิ้นงานออก
เนื่องจากออกไชด์บันผิวชิ้นงานทำให้ชิ้นงานมีค่าการนำไฟฟ้าที่ลดต่ำลง โดยมีลำดับขั้นตอนการ
เตรียมผิวชิ้นงานดังนี้

- (1) นำแผ่นชิ้นงาน คือแผ่นเหล็กกล้าไร้สนิม (SUS 304) ไปแขวนกรดในตริกเข้มข้นร้อยละ 65
เป็นเวลานาน 15 นาที
- (2) ล้างออกด้วยน้ำสะอาดแล้วปล่อยให้ชิ้นงานแห้งที่อุณหภูมิห้อง
- (3) นำชิ้นงานมาขัดด้วยกระดาษทรายจนผิวของชิ้นงานราบรื่นสม่ำเสมอจะได้แผ่น
เหล็กกล้าไร้สนิม (SUS 304) ที่ผ่านการเตรียมผิวชิ้นงานก่อนการเคลือบผิว จากนั้นจึงเข้า
สู่กระบวนการเคลือบผิว

3.3.2 กระบวนการเคลือบผิวโดยการใช้สารยึดเกาะซิงก์เรซินและอะคริลิกเรซิน

กระบวนการเคลือบผิวโดยการใช้สารยึดเกาะซิงก์เรซิน มีลำดับขั้นตอนดังนี้

- (1) นำแผ่นเหล็กกล้าไร้สนิม (SUS 304) ที่ผ่านการเตรียมผิวชิ้นงานก่อนการเคลือบผิวแล้วทำ
การวัดความหนาด้วยเครื่องวัดความหนา (Thickness gauge) โดยวัด 5 จุดของชิ้นงาน
คือวัดที่มุ่งทั้ง 4 และตรงกลางของชิ้นงานอีก 1 จุดแล้วหาค่าเฉลี่ยความหนาของชิ้นงาน
ก่อนการเคลือบผิว
- (2) เตรียมผงแปรงถ่าน (CB) ซึ่งน้ำหนักด้วยเครื่องซึ่งน้ำหนักทศนิยม 4 ตำแหน่ง ตาม
บริมาณที่ศึกษา ทำโดยเพิ่มบริมาณผงแปรงถ่านในสารเคลือบที่มีซิงก์เรซินเป็นสารช่วย
ยึดเกาะ โดยใช้ปริมาณผงแปรงถ่านเป็นร้อยละ 15, 18, 20 และ 23 โดยน้ำหนัก และ

เคลือบให้ความหนาอยู่ในช่วง 0.09 ถึง 0.11 มิลลิเมตร จากนั้นนำไปวัดค่าการต้านทาน การกัดกร่อนและความต้านทานเชิงสัมผัส

- (3) เตรียมท่อนาในคาร์บอนชนิดต่างๆ ที่ใช้เป็นสารตัวเติม โดยศึกษาปรับท่อนาในคาร์บอน ร้อยละ 1-5 โดยนำหัวนักซีงแทนที่ในส่วนของตัวทำละลาย (หัวด้วยเครื่องซีงหัวนักทศนิยม 4 ตำแหน่ง) และใช้ท่อนาในคาร์บอน 3 ชนิด คือ ชนิดที่มีค่าการนำไฟฟ้าต่ำ ชนิดที่มีค่าการนำไฟฟ้าสูงและชนิดที่มีค่าการนำไฟฟ้าสูงซึ่งมีหมุนเวียนบวกกันเป็นองค์ประกอบ และนำมาระบบกับผงแปรงถ่านที่ได้เตรียมไว้ก่อนแล้ว
- (4) เมื่อได้ผงแปรงถ่านที่ผสมกับท่อนาในคาร์บอนตามน้ำหนักที่ต้องการ นำไปผสมด้วยสารช่วยยึดเกาะซิงค์เรชินตามปริมาณที่ศึกษาและผสมกับตัวทำละลายโดยอุ่น ต่อจากนั้น กวนด้วยเครื่องกวนสาร (Overhead stirrer) เป็นเวลา 30 นาทีโดยปรับไปพัดของเครื่องกวนสารให้อยู่ที่ระดับ 100 รอบต่อนาที เพื่อให้เกิดการกวนอย่างสม่ำเสมอทำให้สารเคลือบเป็นเนื้อเดียวกันจนได้สารเคลือบที่เหมาะสมในการเคลือบผิว
- (5) ทำการฉีดพ่นสารเคลือบที่เตรียมไว้ลงบนแผ่นเหล็กกล้าไร้สนิม (SUS 304) ที่ความหนา 0.09-0.11 มิลลิเมตร [4] โดยทำการฉีดพ่นในตู้ดูดควัน ความหนาที่ได้จากการเคลือบผิวชิ้นงานจะถูกควบคุมด้วยปริมาณสารเคลือบที่ทำการฉีดพ่นในแต่ละครั้ง
- (6) ปล่อยให้สารเคลือบผิวแห้งที่อุณหภูมิห้อง เมื่อสารเคลือบผิวแห้งที่อุณหภูมิห้องแล้วทำการวัดความหนาหลังการเคลือบผิวชิ้นงานด้วยเครื่องวัดความหนาโดยวัด 5 จุดของชิ้นงานคือวัดที่มุ่งทั้ง 4 และตรงกลางของชิ้นงานอีก 1 จุดแล้วหาค่าเฉลี่ยความหนาของชิ้นงานหลังการเคลือบผิวจะได้ความหนาในการเคลือบผิวของชิ้นงาน
- (7) ทำการขันตอนที่ 1-6 ซ้ำแต่เปลี่ยนเป็นการใช้สารช่วยยึดเกาะอะคริลิกเรชินแทนซิงค์เรชิน
- (8) นำชิ้นงานที่ได้ไปศึกษาสมบัติการต้านทานการกัดกร่อนและความต้านทานเชิงสัมผัส ต่อไป

3.3.3 วัดค่าการกัดกร่อนของชิ้นงานที่เคลือบผิวด้วยคาร์บอนคอมโพสิต [4]

เตรียมชิ้นงานที่ผ่านการเคลือบผิวจากนั้นทำการเคลือบผิวด้วยชิลิโคนเหล็กบริเวณที่ไม่ถูกเคลือบเฉพาะบริเวณที่ต้องการศึกษาการกัดกร่อน โดยพื้นที่การกัดกร่อนจะใช้พื้นที่ 1 ตารางเซนติเมตรเมื่อเตรียมชิ้นงานเสร็จ ซึ่งการจัดอุปกรณ์ทดลองแสดงดังรูปที่ 3.1

3.3.3.1 เข้าโปรแกรมการศึกษาการกัดกร่อน

(1) เข้าโปรแกรม GPES

(2) เลือก method linear sweep voltammetry (staircase) : normal

(3) สำหรับการหา Corrosion rate ให้กำหนดพารามิเตอร์เบื้องต้น

หน้าต่าง Edit procedure-Page 1

(3.1) Begin potential (V) = -0.1

(3.2) End potential (V) = 0.5

(3.3) Step potential (V) = 0.001

(3.4) Scan rate (V/s) = 0.001

หน้าต่าง Edit procedure-Page 2

(3.5) define (vertex) potential wrt OCP = active

(3.6) Time to wait for OCP (s) = 0

(3.7) tafel plot = active

(4) เตรียมชิ้นงานและอุปกรณ์ต่างๆที่ใช้ให้พร้อม

(5) กดปุ่ม Start

(6) โปรแกรมเริ่มทำงานและวัดค่ากระแสออกมาสามารถดูกราฟได้ที่หน้าต่าง data presentation

(7) เมื่อได้กราฟที่ต้องการแล้วสามารถนำไปคำนวนหาค่าอัตราการกัดกร่อนได้ต่อไป

3.3.3.2 คำนวนหาอัตราการกัดกร่อน

(1) เตรียมกราฟที่ได้มาจากการวัดการกัดกร่อน

(2) เลือกเมนู Analysis – corrosion rate และกดปุ่ม Tafel plot

(3) ใส่ค่าที่จำเป็นต่อการคำนวนการหาค่าอัตราการกัดกร่อน คือ Surface area (cm^2)

Equivalent weight (g) และ Density (g/cm^2) ของตัวอย่าง

(4) กดปุ่ม Tafel slope

(5) กำหนดจุด 2 จุด ที่ด้านล่างของกราฟ แล้วกดปุ่ม OK

(6) กำหนดจุด 2 จุด ที่ด้านบนของกราฟ แล้วกดปุ่ม OK จะได้เส้นตรง 2 เส้นตัดกัน

(7) กดปุ่ม Start fit

(8) โปรแกรมจะคำนวนค่าอัตราการกัดกร่อนให้



รูปที่ 3.1 แสดงการวัดค่าการกัดกร่อนของชิ้นงาน

3.3.4 วัดค่าความต้านทานเชิงสัมผัสของชิ้นงาน Interfacial Contact Resistance (ICR) [4]

แสดงคุณลักษณะการทดลองดังรูปข้างล่าง โดยให้กระแสไฟฟ้าเข้าด้านข้างของชิ้นงานโดยกระแสไฟฟ้าที่ใช้อยู่ในช่วง 0.1 ถึง 0.5 แอมเปอร์ และวัดค่าความต่างศักย์ของชิ้นงานได้ค่าความต่างศักย์ในช่วงกระแสไฟฟ้า 0.1 ถึง 0.5 แอมเปอร์ นำไปพล็อตกราฟระหว่างค่าความต่างศักย์และกระแสไฟฟ้าจากนั้นคำนวณหาค่าความต้านทานโดยสมการกฎของโอห์ม $V = IR$

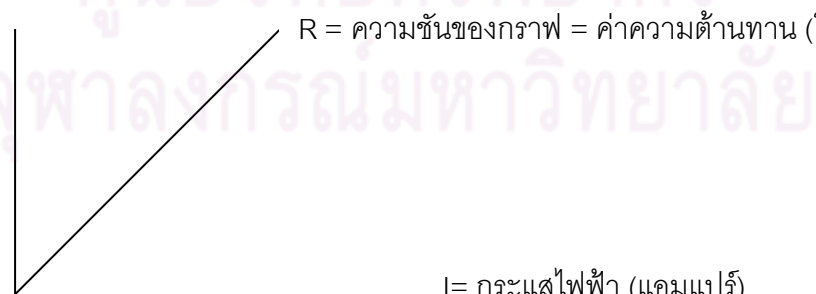
$$V = \text{ค่าความต่างศักย์ (โวลต์)}$$

$$I = \text{ค่ากระแสไฟฟ้า (แอมเปอร์)}$$

$$R = \text{ค่าความต้านทาน (โอห์ม)}$$

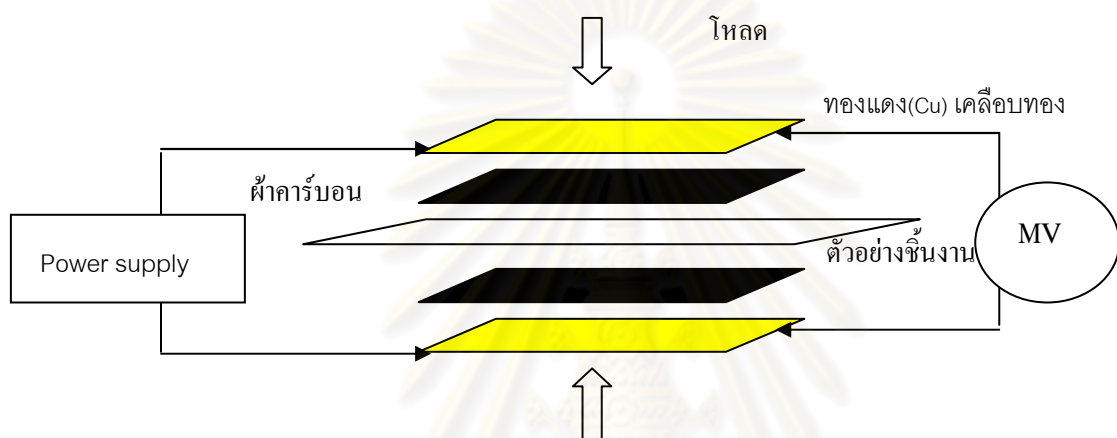
$$V = \text{ค่าความต่างศักย์ (โวลต์)}$$

$$R = \text{ความชันของกราฟ} = \text{ค่าความต้านทาน (โอห์ม)}$$



รูปที่ 3.2 ค่าความต้านทานเป็นความชันของกราฟระหว่างค่าความต่างศักย์และกระแสไฟฟ้า

ทั้งนี้ความต้านทาน (R) ที่ได้จะมีค่าเท่ากับความชันของกราฟ อีกทั้งความต้านทานยังมีความสัมพันธ์กับพื้นที่สัมผัสระหว่างชิ้นงานและข้าไฟฟ้า (A) ดังนั้นค่าความต้านทานเชิงสัมผัสจะเท่ากับ $R \times A$ โดยวัดความต้านทานเชิงสัมผัสของเครื่องมือวัดโดยไม่มีชิ้นงานกำหนดให้ค่าความต้านทานเชิงสัมผัสเท่ากับ R_1 และวัดค่าความต้านทานเชิงสัมผัสต่อนมีชิ้นงานกำหนดให้ค่าความต้านทานเชิงสัมผัสเท่ากับ R_2 และหาค่าความต้านทานเชิงสัมผัส (ICR) ได้จากสมการการหาความต้านทานเชิงผิว จากรูปที่ 3.3 แสดงการจัดเรียงอุปกรณ์การวัดความต้านทานเชิงสัมผัส (ICR) และในรูปที่ 3.4 แสดงการการวัดความต้านทานเชิงสัมผัส



รูปที่ 3.3 การจัดเรียงอุปกรณ์การวัดความต้านทานเชิงสัมผัส (ICR)

$$\text{สมการหาค่าความต้านทานเชิงสัมผัส (ICR)} = (R_2 - R_1)/2$$

$$R_1 = \text{วัดค่าความต้านทานเชิงสัมผัสของเครื่องมือวัด (ohm.cm^2)}$$

$$R_2 = \text{วัดค่าความต้านทานเชิงสัมผัสต่อนมีชิ้นงาน (ohm.cm^2)}$$



รูปที่ 3.4 การการวัดความต้านทานเชิงสัมผัส (ICR)

3.3.5 การทดสอบสมบัติเหล็กกล้าไร้สนิมที่ผ่านการเคลือบผิวเตรียมเป็นแผ่นนำกระแสงไฟแบบสองขั้วนิดโลหะในเซลล์เชื้อเพลิงชนิดพีอีเอ็ม

นำแผ่นเหล็กกล้าไร้สนิม (SUS 304) ไปเข้าร่องให้เกิดช่องการไหลของแก๊ส จากนั้นทำการฉีดพ่นสารเคลือบลงแผ่นชิ้นงานโดยสารเคลือบที่ใช้เตรียมจะเลือกที่องค์ประกอบที่ให้ค่าการนำไฟฟ้าสูงสุด โดยทำการฉีดพ่นสารเคลือบลงบนชิ้นงานที่ความหนาในการเคลือบผิวที่ 0.09-0.11 มิลลิเมตร โดยขนาดและช่องการไหลแก๊สจะยึดรูปแบบมาตรฐานของแผ่นนำกระแสงไฟฟ้าสองขั้วเชิงพาณิชย์ของ Electrochem, Inc ดำเนินการเข้าร่องโดยบริษัทสุธียูไนเต็ดคาร์บอน จำกัด

จากนั้นนำแผ่นนำกระแสงไฟฟ้าแบบสองขั้วนิดโลหะเคลือบด้วยคาร์บอนคอมโพสิตมาทดสอบประสิทธิภาพการใช้งานในเซลล์เชื้อเพลิงชนิดพีอีเอ็ม โดยใช้แผ่นอิเล็กโทรดประจุบนเมมเบรน (MEA) ที่มีแพลทินัม 0.4 มิลลิกรัมต่ำตารางเซนติเมตร เมมเบรนชนิด 115 และชั้นแปร์แก๊ส เป็นผ้าcarbonเปรียบเทียบผลกับแผ่นนำกระแสงไฟฟ้าแบบสองขั้วนิดแกร์ไฟต์ในเซลล์เชื้อเพลิงชนิดพีอีเอ็ม

ขั้นตอนในการทดสอบประสิทธิภาพมีดังนี้

- ใช้แผ่นช่องการไหลของแก๊ส (Flow field plate) ชนิดแกร์ไฟต์ของ Electrochem, Inc และแผ่นอิเล็กโทรดประจุบนเมมเบรน ขนาดพื้นที่ทำปฏิกิริยา 5 ตารางเซนติเมตร ประจุเข้าด้วยกันโดยใช้น็อกต์ จากนั้นจึงใช้ประแจปอนด์เพื่อทำการอัดส่วนต่างๆ เข้าด้วยกันโดยใช้มอเมนต์การหมุนที่ 40 ปอนด์แรง-นิวตันได้เซลล์เดียวของเซลล์เชื้อเพลิง

2. ในส่วนของการทดสอบประสิทธิภาพการทำงานของเซลล์เชือเพลิงนั้น เมื่อตรวจสอบสภาพความเรียบร้อยของหน่วยทดสอบเซลล์เชือเพลิงและเซลล์เชือเพลิงให้อยู่ในสภาพการทดสอบแล้ว ทดสอบหาประสิทธิภาพของเซลล์เชือเพลิงโดยใช้กราฟไฟล่าไวเซ็นและใช้อัตราการไหลของแก๊สไฮโดรเจนและแก๊สออกซิเจน 100 SCCM เท่ากัน ภาระการให้ความชื้นอยู่ตัวอุณหภูมิของเซลล์เชือเพลิง 60 องศาเซลเซียล

3. ทำการทดลองตามข้อ 1-2 เป็นการเปลี่ยนแผ่นซองการไหลของแก๊สชนิดแรกไฟต์ของ Electrochem, Inc เป็นแผ่นซองการไหลของแก๊สชนิดโลหะ และแผ่นซองการไหลของแก๊สโลหะเคลือบด้วยคาร์บอนคอมพ็อกซิต

ศูนย์วิทยทรัพยากร
จุฬาลงกรณ์มหาวิทยาลัย

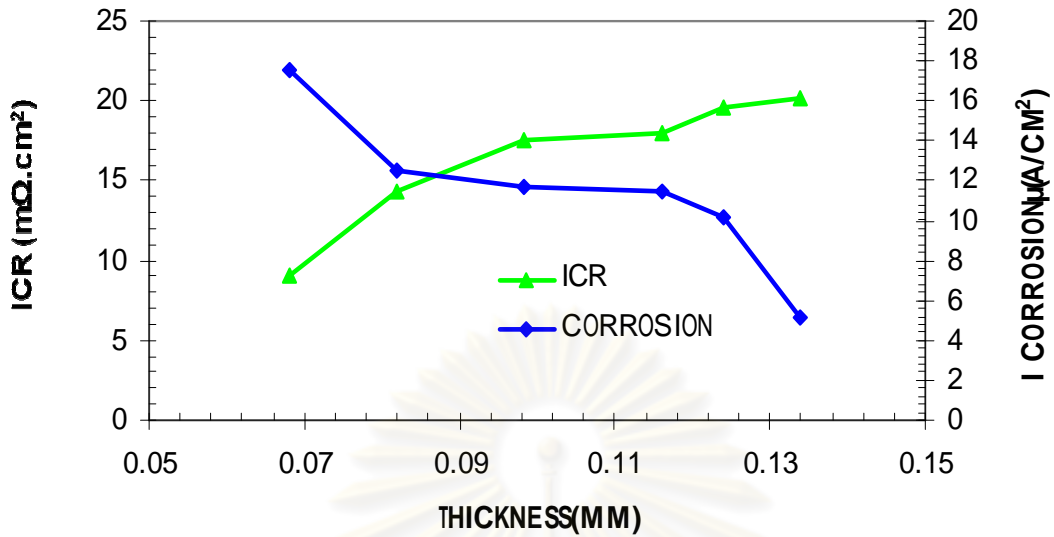
บทที่ 4

ผลการทดลองและวิจารณ์ผลการทดลอง

งานวิจัยนี้ได้เตรียมแผ่นนำกระแสงไฟฟ้าแบบสองขั้วนิดเหล็กกล้าไร้สนิมเคลือบคาร์บอนคอมพอสิต ซึ่งสารเคลือบจะประกอบด้วยสารนำกระแสงไฟฟ้าที่มีองค์ประกอบหลักเป็นผงแปรงถ่าน โดยศึกษาผลของบริมาณผงแปรงถ่าน ผลของสารช่วยยึดเกาะอะคริลิกเรซินและซิงก์เรซิน ชนิดและปริมาณของท่อนาโนคาร์บอนที่ใช้เป็นสารตัวเติม และศึกษาสภาพนำกระแสงไฟฟ้าในแนวทะลุผ่านด้วยวิธีการวัดเป็นค่าความต้านทานเชิงสัมผัส (ICR) ค่าการกัดกร่อนของชิ้นงาน และค่าการยึดติดของฟิล์มคาร์บอนคอมพอสิตเมื่อเคลือบผิวเหล็กกล้าไร้สนิมด้วยสารเคลือบที่องค์ประกอบต่างๆ เพื่อใช้สำหรับเซลล์เชื้อเพลิงพื้นที่

จากการวิจัยก่อนหน้านี้ของพราษัย [4] ได้ศึกษาสมบัติความต้านทานเชิงสัมผัสและการกัดกร่อนของแผ่นเหล็กกล้าไร้สนิมเคลือบคาร์บอนคอมพอสิตที่ความหนาต่างๆ กัน ผลที่ได้แสดงในรูปที่ 4.1 โดยใช้องค์ประกอบของสารเคลือบคือผงแปรงถ่าน ซิงก์เรซินและตัวทำละลายโอลูอินในอัตรส่วน 25:10:65 โดยน้ำหนัก พบร่วมกับ เมื่อความหนาของสารเคลือบแผ่นเหล็กกล้าไร้สนิมเพิ่มขึ้น ทำให้ค่าความต้านทานที่ผิวเชิงสัมผัสของแผ่นโลหะเคลือบเพิ่มขึ้นแต่ค่าการกัดกร่อนลดลง ทำให้ต้องกำหนดช่วงความหนาที่เหมาะสมเพื่อทำการทดลองที่องค์ประกอบของสารเคลือบต่างๆ ต่อไป ซึ่งช่วงความหนาที่มีสมบัติความต้านทานเชิงสัมผัสและการต้านทานการกัดกร่อนที่สมดุลกันคือช่วง 0.09-0.11 มิลลิเมตร ให้ค่าความต้านทานเชิงสัมผัสเท่ากับ 15-18 มิลลิโอมต์ตาระยะเห็นติเมตร และค่ากระแสการกัดกร่อนประมาณ 12 ไมโครแอมเปอร์ต่อตารางเมตร

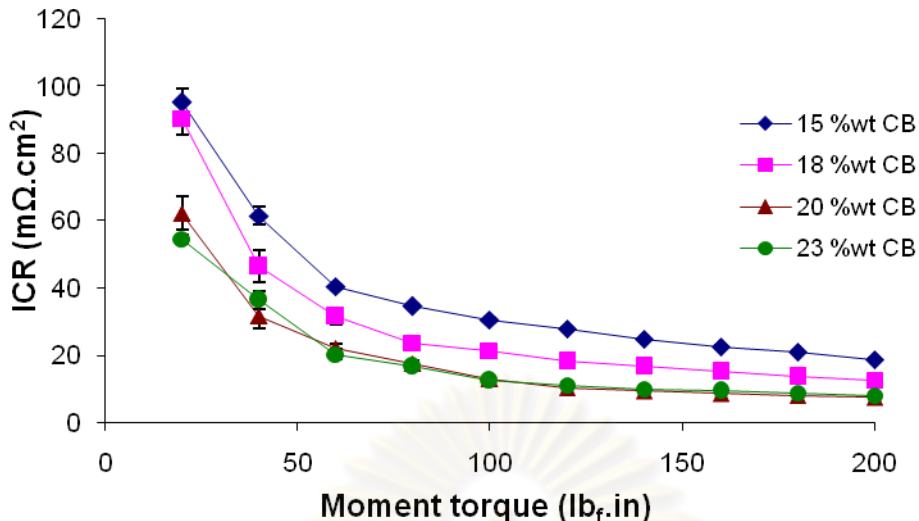
เมื่อนำวิวัฒนาการเคลือบคาร์บอนคอมพอสิตที่ดีที่สุด ไปเคลือบแผ่นนำกระแสงไฟฟ้าและนำไฟฟ้าทดสอบในเซลล์เชื้อเพลิงชนิดพื้นที่ เนื่องจากความต้านทานของสารเคลือบสามารถเพิ่มประสิทธิภาพให้แผ่นโลหะโดยลดค่ากระแสกัดกร่อนที่เกิดขึ้นกับแผ่นโลหะได้ แต่ยังน้อยกว่าแผ่นนำกระแสงไฟฟ้าชนิดแกรไฟต์ของ Electrochem, Inc ซึ่งการใช้ท่อนาโนคาร์บอนเติมในวัสดุคาร์บอนคอมพอสิตอาจจะสามารถทำให้สมบัติการนำกระแสงไฟฟ้าและสมบัติเชิงกลดีขึ้นได้ จึงได้ทำการทดลองผสมท่อนาโนคาร์บอนกับผงแปรงถ่านและตัวประสาณในการเคลือบแผ่นโลหะเพื่อปรับปรุงประสิทธิภาพการใช้งานแผ่นนำกระแสงไฟฟ้าชนิดโลหะเคลือบ



รูปที่ 4.1 ความสัมพันธ์ของค่าความต้านทานเชิงสัมผัส และค่าการกัดกร่อนของแผ่นเหล็กกล้าไร้สนิม (SUS 304) โดยสารเคลือบประizableด้วยพูนและถ่าน (CB): ชิงก์เรชิน: ตัวทำละลายโลหะในอัตราส่วน 25:10:65 โดยนำหนักที่ความหนาในการเคลือบผิวต่างๆ [4]

4.1 การศึกษาผลของปริมาณพูนและถ่านในสารเคลือบต่อสมบัติของแผ่นเหล็กกล้าไร้สนิมเคลือบสารต้านกรดที่ใช้ชิงก์เรชินเป็นตัวประสาน

ในการเคลือบแผ่นเหล็กกล้าไร้สนิมด้วยสารเคลือบอนคอมพอสิตที่มีการใช้ชิงก์เรชินเป็นตัวประสานโดยใช้พูนและถ่านเป็นองค์ประกอบหลักโดยกำหนดความหนาของพิล์มให้อยู่ในช่วง 0.09-0.11 มิลลิเมตร และมีการเพิ่มท่อนาโนคาร์บอนที่ใช้เป็นสารตัวเติมซึ่งแทนที่ในส่วนของตัวทำละลาย ต้องคำนึงถึงปริมาณรวมของคาร์บอนที่เกิดจากพูนและถ่านผสมกับท่อนาโนคาร์บอน ด้วย เนื่องจากเมื่อองค์ประกอบรวมของคาร์บอนมากขึ้นจะทำให้สารเคลือบมีความหนืดลื่นขึ้น เมื่อทำการฉีดพ่นสารหัวฉีดจะเกิดการอุดตัน ดังนั้น จึงศึกษาปริมาณของพูนและถ่านเพื่อหาช่วงที่มีสมบัติทางด้านการนำไฟฟ้าที่เหมาะสมสำหรับการฉีดพ่นสารและเตรียมการเพิ่มท่อนาโนคาร์บอนที่ใช้เป็นสารตัวเติม ดังแสดงในรูปที่ 4.2

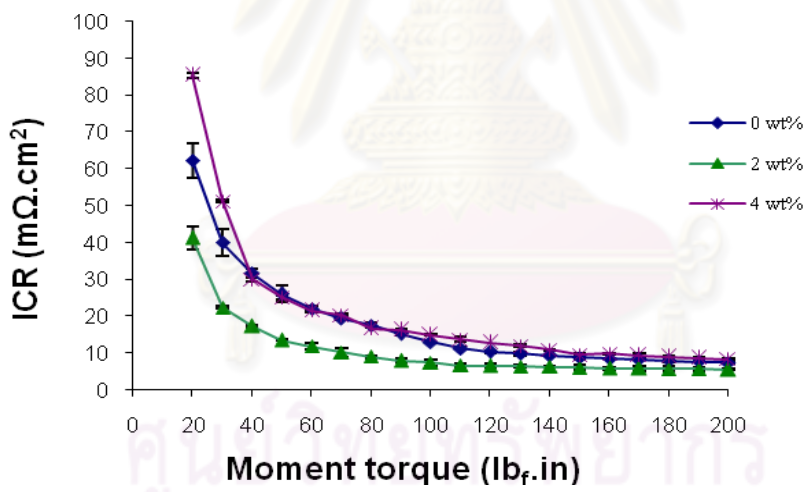


รูปที่ 4.2 ความสัมพันธ์ของค่าความต้านทานเชิงสัมผัสแผ่นเหล็กกล้าไร้สนิม (SUS 304) เคลือบด้วยคาร์บอนคอมโพสิต โดยใช้ผงแปรงถ่าน (CB) เคลือบในอัตราส่วนร้อยละโดยน้ำหนักที่แตกต่างกัน ที่โมเมนต์ทอร์กในการอัดชิ้นงานต่างๆ

จากรูปที่ 4.2 พบว่าค่าความต้านทานเชิงสัมผัสของแผ่นเหล็กกล้าไร้สนิมเคลือบคาร์บอนคอมโพสิตจะลดลงในทุกภาวะการเคลือบเมื่อเพิ่มค่าแรงอัดให้แก่ชิ้นงานในช่วงแรกจากนั้นจึงเริ่มคงที่และค่าความต้านทานเชิงสัมผัสของแผ่นเหล็กกล้าไร้สนิมเคลือบคาร์บอนคอมโพสิตมีแนวโน้มลดลงเมื่อปริมาณของผงแปรงถ่านเพิ่มขึ้นจากร้อยละ 15 - 20 โดยน้ำหนัก แต่เมื่อปริมาณผงแปรงถ่านเพิ่มขึ้นมากกว่าร้อยละ 20 ค่าความต้านทานเชิงสัมผัสจะมีค่าใกล้เคียงกัน ซึ่งสอดคล้องกับงานวิจัยของพรษัยและคณะ [4] ที่ทำการทดลองเคลือบเหล็กกล้าไร้สนิมที่ปริมาณผงแปรงถ่านร้อยละ 20 กับ 25 แล้วให้ผลค่าความต้านทานเชิงสัมผัสที่ใกล้เคียงกัน จึงเลือกการใช้ผงแปรงถ่านที่ร้อยละ 20 ในการทดลองเพิ่มท่อนาโนคาร์บอน เพื่อลดโอกาสการอุดตันของหัวฉีด

4.2 ผลของค่าความต้านทานเชิงสัมผัสและอัตราการกัดกร่อนของชิ้นงานที่เคลือบผิวด้วยสารเคลือบที่มีซิงก์เรซินเป็นตัวประสานและมีการใช้ท่อนาโนคาร์บอนชนิดการนำไปไฟฟ้าต่ำเป็นสารตัวเติม

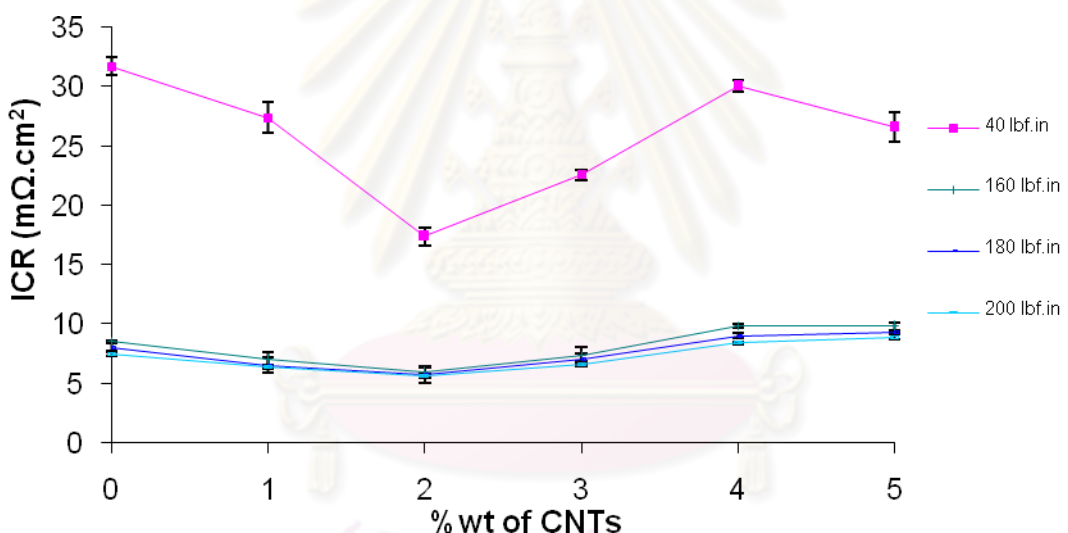
ท่อนาโนคาร์บอนมีสมบัติการนำไฟฟ้าที่ดีและสามารถเข้ากันกับผงคาร์บอนได้ จึงได้มีการศึกษาการใช้ท่อนาโนคาร์บอนชนิดสภาพนำไฟฟ้าต่ำเป็นสารตัวเติมสำหรับแผ่นเหล็กกล้าไว้สนิมเคลือบคาร์บอนคอมพ็อกซิต ในรูปที่ 4.3 แสดงความสัมพันธ์ของค่าความต้านทานเชิงสัมผัสของแผ่นเหล็กกล้าไว้สนิมเคลือบผิวด้วยสารเคลือบที่มีซิงก์เรซินเป็นตัวประสาน เมื่อใช้ท่อนาโนคาร์บอนเป็นสารตัวเติมในอัตราส่วนร้อยละโดยน้ำหนักที่แตกต่างกัน โดยในการวัดค่าความต้านทานเชิงสัมผัสจะใช้โมเมนต์ทอร์กในการอัดชิ้นงานในช่วง 20-200 ปอนด์แรง-นิว โดยองค์ประกอบหลักของสารเคลือบคือผงแปร่งถ่าน ซิงก์เรซินและตัวทำละลายโพลูอิน ร้อยละ 20, 10 และ 70 ตามลำดับ การเพิ่มท่อนาโนคาร์บอนชนิดสภาพนำไฟฟ้าต่ำนั้นเป็นการแทนที่องค์ประกอบของโพลูอินที่ใช้เป็นตัวทำละลาย



รูปที่ 4.3 ความสัมพันธ์ของค่าความต้านทานเชิงสัมผัสของแผ่นเหล็กกล้าไว้สนิม (SUS 304) เคลือบด้วยคาร์บอนคอมพ็อกซิต กับโมเมนต์ทอร์กในการอัดชิ้นงานค่าต่างๆ โดยสารเคลือบที่มีซิงก์เรซินเป็นตัวประสานและมีการเติมท่อนาโนคาร์บอนชนิดสภาพนำไฟฟ้าต่ำที่ร้อยละ 0, 2 และ 4 โดยน้ำหนัก

ผลการทดลองพบว่า เมื่อการเพิ่มโมเมนต์ทอร์กในการอัดชิ้นงานพบว่าค่าความต้านทานเชิงสัมผัสมีค่าลดลงอย่างรวดเร็วในช่วงแรกและค่อยๆ ลดลงจนเริ่มคงที่ในช่วง 160-200 ปอนด์

แรง-นิว ซึ่งสอดคล้องกับผลการทดลองต่อนั้น (4.1) เนื่องจากการเพิ่มแรงอัดให้แก่ชิ้นงาน เปรียบเสมือนการเพิ่มพื้นที่การสัมผัสของชิ้นงาน ทำให้อลีกตอนวิงผ่านได้มากขึ้น ดังนั้นจึงเลือกค่าโมเมนต์ทอร์กที่ 200 ปอนด์-นิว ที่เป็นช่วงที่ความต้านทานเชิงสัมผัสของแผ่นตัวอย่างมีค่าคงที่มากที่สุด เป็นค่าที่ใช้เปรียบเทียบค่าความต้านทานเชิงสัมผัสในแต่ละตัวอย่างที่เตรียมได้ ต่อไป ส่วนในกรณีที่มีการใช้สารตัวเติม พบร่วงการเติมท่อนาโนคาร์บอนในปริมาณร้อยละ 2 โดยน้ำหนัก ทำให้แผ่นเหล็กกล้าไร้สนิมเคลือบมีค่าความต้านทานเชิงสัมผัสลดลง เมื่อเทียบกับกรณีที่ไม่มีการเติมท่อนาโนคาร์บอน แต่เมื่อเพิ่มปริมาณเป็นร้อยละ 4 โดยน้ำหนัก ค่าความต้านทานเชิงสัมผัสของแผ่นเหล็กกล้าไร้สนิมเคลือบเพิ่มขึ้นจนมีค่าใกล้เคียงกับกรณีที่ไม่มีการใช้สารตัวเติม จึงต้องทำการทดลองในช่วงที่ละเอียดขึ้น โดยทำการทดลองเติมสารตัวเติมตั้งแต่ร้อยละ 1-5 โดยน้ำหนัก ซึ่งผลการทดลองแสดงดังรูปที่ 4.4



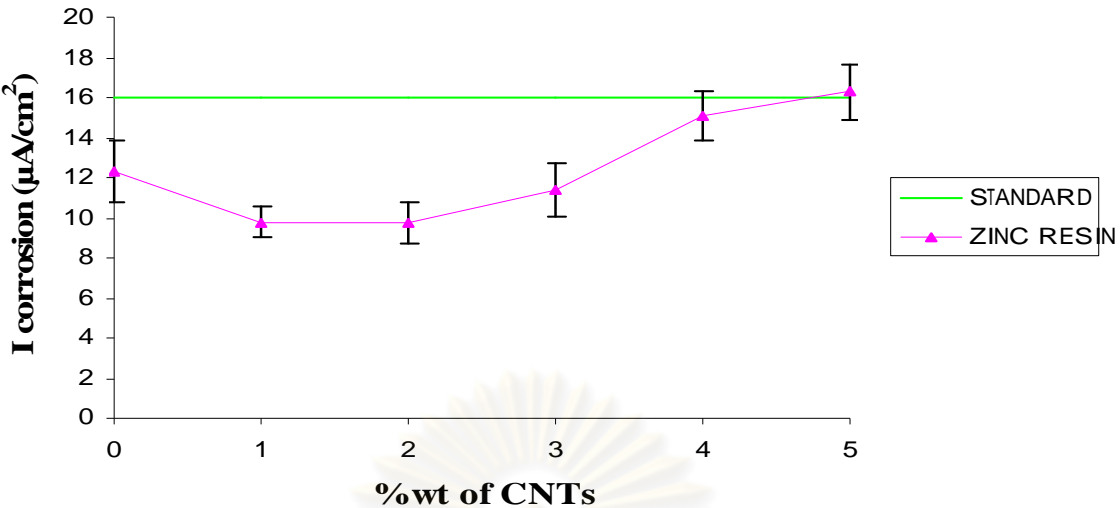
รูปที่ 4.4 ความสัมพันธ์ของค่าความต้านทานเชิงสัมผัสของแผ่นเหล็กกล้าไร้สนิม (SUS 304) เคลือบด้วยคาร์บอนคอมพ็อกซิต โดยสารเคลือบมีชิงก์เรซินเป็นตัวประสานและมีการเติมท่อนาโนคาร์บอนชนิดสภาพน้ำไฟฟ้าต่ำที่ร้อยละโดยน้ำหนักต่างๆ กับโมเมนต์ทอร์กในการอัดชิ้นงาน

จากรูปที่ 4.4 เมื่อเพิ่มปริมาณของท่อนาโนคาร์บอนในสารเคลือบเป็นร้อยละ 2 ทำให้แผ่นเหล็กกล้าไร้สนิมเคลือบมีค่าความต้านทานเชิงสัมผัสลดลงมากที่สุดในทุกๆ โมเมนต์ทอร์กที่ใช้อัดตัวอย่าง ซึ่งที่โมเมนต์ทอร์ก 40 ปอนด์-นิว เป็นภาวะที่จำลองมาจากการใช้งานจริงในเซลล์เชื้อเพลิง พบร่วง ค่าความต้านทานเชิงสัมผัสเมื่อเพิ่มปริมาณของท่อนาโนคาร์บอนในสารเคลือบ

เป็นร้อยละ 2 จะมีค่า 17.3 มิลลิโอมตารางเซนติเมตร ส่วนที่ไม่มีเมนต์ทอร์ก 200 ปอนด์แรง-นิวตันความต้านทานเชิงสัมผัสจะลดลงจากการณ์ที่ไม่มีการเติมจาก 7.47 เป็น 5.63 มิลลิโอมตารางเซนติเมตร แต่เมื่อเติมท่อนาโนคาร์บอนเพิ่มขึ้นเกินกว่าร้อยละ 2 โดยน้ำหนัก จะทำให้ค่าความต้านทานเชิงสัมผัสเพิ่มขึ้น เนื่องจากเมื่อปริมาณท่อนาโนคาร์บอนเพิ่มขึ้นจะเกิดการเกาะตัวกันเอง เพราะท่อนาโนคาร์บอนมีสมบัติการกระจายตัวในสารละลายที่ต่ำ ทำให้สารเคลือบบนเหล็กกล้าไว้สนิมไม่เรียบส่งผลให้มีสมบัติที่ไม่ดีเท่ากับกรณีที่มีการเติมที่ร้อยละ 2 โดยน้ำหนัก ซึ่งสอดคล้องกับงานวิจัยของ Ma และคณะ [5] ที่ว่าสตุดมนนาโนโดยใช้อิพอกซีเรชันเป็นตัวช่วยยึดเกาะเตรียมโดยการปรับเปลี่ยนอัตราส่วนของท่อนาโนคาร์บอน (CNTs) และเขม่าดำ (CB) พบร่วมกันที่ 0.2 โดยน้ำหนักของสารตัวเติมทั้งสองชนิด ซึ่งความแตกต่างของปริมาณท่อนาโนคาร์บอนให้สมบัติการนำกระแสไฟฟ้าที่ดีขึ้นอย่างเห็นได้ชัดและให้สมบัติเชิงกลที่ดีเมื่อเติมที่อัตราส่วนร้อยละ 0.2 โดยน้ำหนักของสารตัวเติมทั้งสองชนิด ซึ่งความแตกต่างของปริมาณท่อนาโนคาร์บอนที่ใช้เติมน่าจะมาจากการขนาดของผังคาร์บอนที่ใช้เป็นองค์ประกอบหลัก ซึ่งในงานวิจัยของ Ma ขนาดของผังคาร์บอนอยู่ในระดับนาโนเมตร (20- 60 นาโนเมตร) เมื่อเทียบกับงานวิจัยนี้ซึ่งใช้ผังคาร์บอนที่มีขนาดอยู่ในระดับไมโครเมตร (11 ไมโครเมตร) การเติมท่อนาโนคาร์บอนจะมีการกระจายตัวที่ดีกว่า แต่เมื่อปริมาณของท่อนาโนคาร์บอนมากขึ้น สมบัติการนำกระแสไฟฟ้าจะเริ่มคงที่

จากนั้นนำแผ่นเหล็กกล้าไว้สนิมเคลือบcarbonคอมโพสิตโดยมีซิงก์เรชันเป็นตัวประสานไปท่อสอบค่าอัตราการกัดกร่อนกับกรดชัลฟิวเริก 0.1 ไมลาร์ ผลการทดสอบแสดงในรูปที่ 4.5 พบร่วงการเติมท่อนาโนคาร์บอนที่ปริมาณน้อยๆ ในช่วงร้อยละ 1-2 โดยน้ำหนัก สามารถช่วยลดค่ากระแสกัดกร่อนที่เกิดขึ้นกับแผ่นเหล็กกล้าไว้สนิมเคลือบ โดยมีค่าอยู่ในช่วง 9-11 ไมโครแอมป์ต่อตารางเซนติเมตร แต่เมื่อปริมาณของท่อนาโนคาร์บอนมากกว่าร้อยละ 2 โดยน้ำหนัก ค่ากระแสกัดกร่อนที่วัดได้มีแนวโน้มสูงขึ้นจนปริมาณท่อนาโนคาร์บอนที่ร้อยละ 5 โดยน้ำหนัก ให้ค่ากระแสกัดกร่อนจะสูงกว่า 16 ไมโครแอมป์ต่อตารางเซนติเมตร ซึ่งเป็นค่ามาตรฐานสำหรับสตุ๊ฟ์นำมายังเป็นแผ่นนำกระแสไฟฟ้าแบบสองชั้น

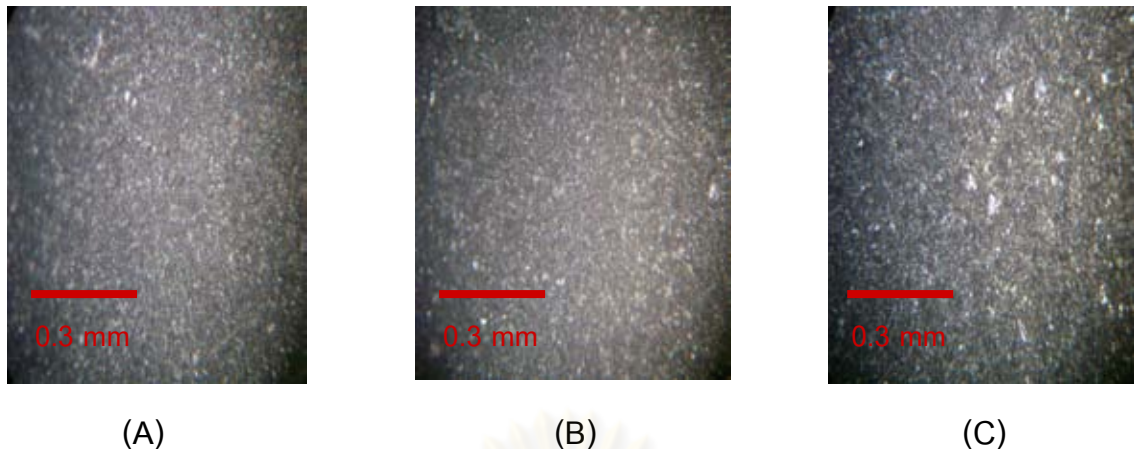
จุฬาลงกรณ์มหาวิทยาลัย



รูปที่ 4.5 ความสัมพันธ์ค่าการกัดกร่อนของแผ่นเหล็กกล้าไร้สนิม (SUS 304) เคลือบด้วยคาร์บอนคอมโพสิต โดยสารเคลือบมีซิงก์เรซินเป็นตัวประสานและมีการเติมท่อนาโนคาร์บอนที่ร้อยละโดยน้ำหนักต่างๆ

จากการศึกษาความต้านทานเชิงสัมผัสและอัตราการกัดกร่อนของชิ้นงานที่เคลือบผิวด้วยสารเคลือบที่มีซิงก์เรซินเป็นตัวประสาน พบว่า การใช้ท่อนาโนคาร์บอนเป็นสารตัวเติมในปริมาณต่ำๆ สามารถปรับปัจจุบันบดีการนำไฟฟ้าและการต้านทานการกัดกร่อนของแผ่นเหล็กกล้าไร้สนิมเคลือบให้ดีขึ้นกว่ากรณีที่ใช้ผงแปรงถ่านเพียงอย่างเดียว เนื่องจากท่อนาโนคาร์บอนจะเป็นตัวเชื่อมโยงระหว่างกลุ่มของผงแปรงถ่าน เกิดเป็นโครงสร้างแบบโครงข่ายขึ้นทำให้เกิดการนำกระแสไฟฟ้าแบบสามมิติ [5] นอกจากนั้นท่อนาโนคาร์บอนยังทำหน้าที่เป็นเหมือนตัวช่วยยึดเกาะอนุภาคภายในของสารเคลือบcarbonคอมโพสิตทำให้โครงสร้างภายในมีความแข็งแรงขึ้นส่งผลให้แผ่นเหล็กกล้าไร้สนิมเคลือบมีค่าความต้านทานการกัดกร่อนที่ดีขึ้น [25]

แต่เมื่อมีการเติมท่อนาโนคาร์บอนที่ปริมาณร้อยละ 4 โดยน้ำหนักส่งผลให้สมบัติของแผ่นเหล็กกล้าไร้สนิมเคลือบไม่ดีเนื่องจากท่อนาโนคาร์บอนมีสมบัติการกระจายตัวในสารละลายที่ต่ำ เมื่อมีปริมาณสูงจะเกิดการเกาะตัวกันเองเกิดเป็นช่องว่างในสารเคลือบcarbonคอมพอสิตที่เคลือบแผ่นเหล็กกล้าไร้สนิม ทำให้ทางเดินของอิเล็กตรอนไม่ต่อเนื่องค่าการต้านทานเชิงสัมผัสที่ได้จะมีค่าสูง และการเกาะตัวกันยังทำให้ผิวของแผ่นเหล็กกล้าไร้สนิมเคลือบไม่เรียบสม่ำเสมอ มีลักษณะเป็นช่องว่างที่สามารถมองทะลุลงไปยังแผ่นเหล็กกล้าไร้สนิมได้ ดังแสดงในรูปที่ 4.6



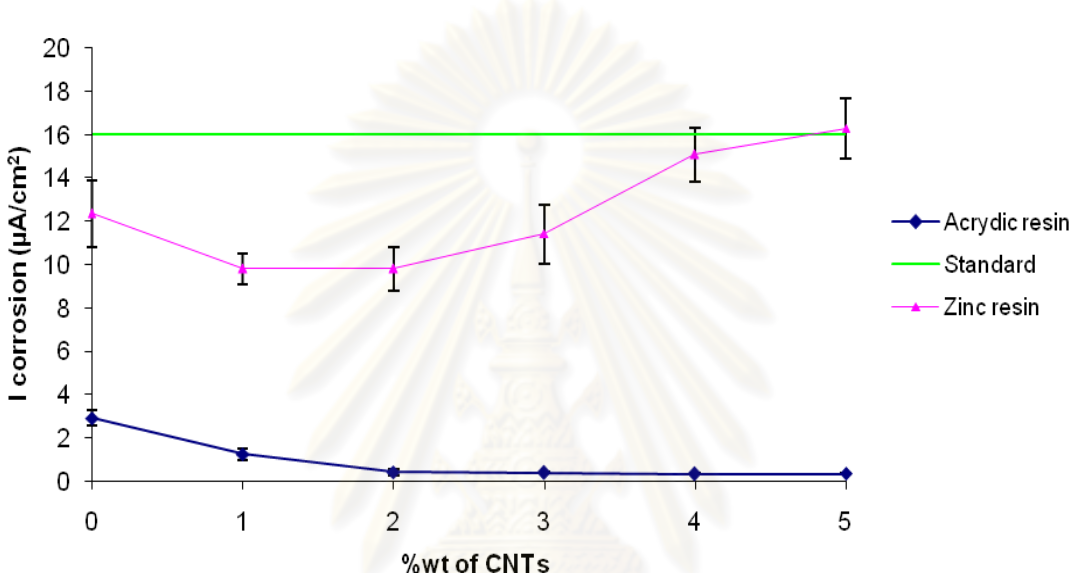
รูปที่ 4.6 ภาพถ่ายของแผ่นเหล็กกล้าไร์สนิมเคลือบคาร์บอนคอมพอยต์ที่มีการเติมท่อนาใน
คาร์บอนปริมาณต่างๆ จากกล้องจุลทรรศน์ (A) ไม่มีการเติมท่อนาในคาร์บอน, (B)
เติมท่อนาในคาร์บอนร้อยละ 2 โดยน้ำหนักและ (C) เติมท่อนาในคาร์บอนร้อยละ 4
โดยน้ำหนัก

เมื่อนำแผ่นเหล็กกล้าไร์สนิมเคลือบคาร์บอนคอมพอยต์ที่มีการเติมท่อนาในคาร์บอนใน
ปริมาณร้อยละ 4-5 โดยน้ำหนัก ไปทดสอบกับสารละลายกรดซัลฟิวโริกผิวของแผ่นเหล็กกล้าไร์
สนิมบริเวณช่องว่างของฟิล์มคาร์บอนคอมพอยต์ที่เคลือบจะสัมผัสกับกรดโดยตรงทำให้ค่ากระแส
กัดกร่อนที่ได้มีค่าสูงกว่ากรณีที่ไม่มีการเติมและการเติมท่อนาในคาร์บอนในปริมาณน้อยๆ ซึ่ง
สอดคล้องกับงานวิจัยของ Lee และ Lim [27] เมื่องค์ประกอบของคาร์บอนในคอมพอยต์มาก
เกินกว่าร้อยละ 40 โดยน้ำหนัก จะทำให้วัสดุคอมพอยต์เกิดรอยแตกระดับไมโครเมตร
(Microcrack) ขึ้น ส่งผลให้สมบัติการต้านทานการกัดกร่อนแย่ลงเมื่อใช้องค์ประกอบของคาร์บอน
เกินกว่าร้อยละ 40 โดยน้ำหนัก

ในงานวิจัยที่ผ่านมาของพรชัย [4] พบร่วมกับค่าการกัดกร่อนของแผ่นเหล็กกล้าไร์สนิมเคลือบ
มีค่าต่ำกว่าค่ามาตรฐานและเมื่อนำมาทดสอบกับสมรรถภาพการใช้งานจริงกับเซลล์เชื้อเพลิงยังเกิด
การหลุดออกของฟิล์มคาร์บอนคอมพอยต์ที่เคลือบและประสิทธิภาพของเซลล์เชื้อเพลิงที่ได้แต่
เมื่อมีการใช้แผ่นนำกระแสงไฟฟ้าแบบแผ่นเหล็กกล้าไร์สนิมเคลือบมีแนวโน้มลดลงเมื่อมีการใช้งาน
ช้า ดังนั้นการเคลือบผิวเหล็กกล้าไร์สนิมยังต้องการค่ากระแสงกัดกร่อนที่ต่ำกว่าค่ามาตรฐาน (16
ไมโครเมตรเป็นต่อตารางเซนติเมตร) หากกว่าการใช้ชิ้นเกรชินเป็นตัวประสาน จึงได้มีการทดลอง
กับอะคริลิคเกรชินที่มีสมบัติทนต่อการกัดกร่อนที่ดีกว่ามาใช้เป็นตัวประสานในการเคลือบผิว
เหล็กกล้าไร์สนิมแทน

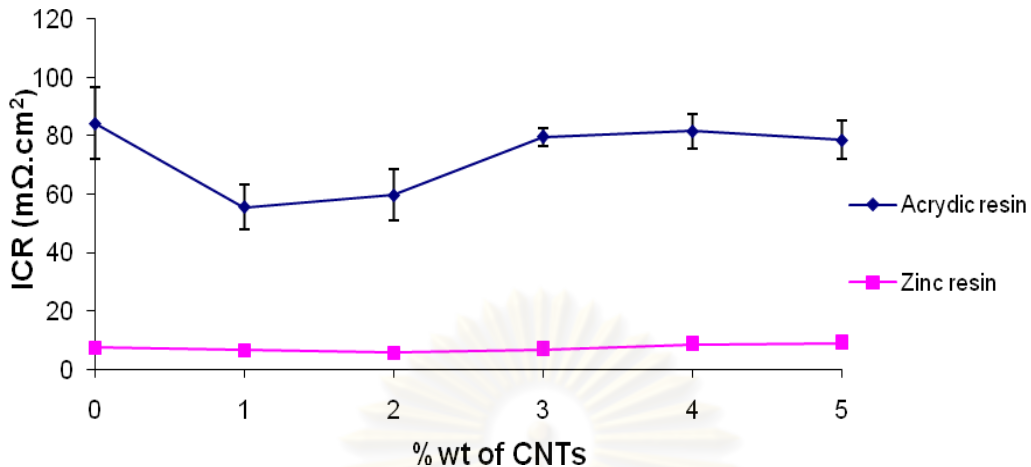
4.3 ผลของค่าความต้านทานเชิงสัมผัสและอัตราการกัดกร่อนของแผ่นเหล็กกล้าไร้สนิมเคลือบคาร์บอนคอมโพสิตเมื่อใช้อุบลักษณ์ชิ้นเดียวเป็นตัวประสาน

อะคริดิกเรซินซึ่งเป็นสารอนุพันธ์ของอะคริลิก ถูกนำมาใช้เป็นตัวประสานในการเคลือบผิวโลหะแทนที่ซิงก์เรซินเพื่อลดค่ากระแสกัดกร่อนที่เกิดขึ้นกับแผ่นเหล็กกล้าไร้สนิมเคลือบคาร์บอนคอมโพสิต และมีการใช้ท่อนาโนคาร์บอนเป็นสารตัวเติม ผลการทดลองแสดงดังรูปที่ 4.7



รูปที่ 4.7 แสดงความสัมพันธ์ของค่าการกัดกร่อนของแผ่นเหล็กกล้าไร้สนิมเคลือบด้วยคาร์บอนคอมโพสิตกับร้อยละของท่อนาโนคาร์บอนชนิดสภาพนำไฟฟ้าต่ำที่ใช้เป็นสารตัวเติมโดยใช้ตัวประสานที่ต่างกันคือ ซิงก์เรซินและอะคริดิกเรซิน

จากรูปที่ 4.7 พบว่าการใช้อุบลักษณ์ชิ้นเดียวเป็นตัวประสานในการเคลือบผิวเหล็กกล้าไร้สนิมและมีการเติมท่อนาโนคาร์บอนชนิดสภาพนำไฟฟ้าต่ำ Chiangmai (A) ให้ค่ากระแสกัดกร่อนอยู่ในช่วงที่ต่ำกว่า 3 ในโครงเมตรต่อตารางเซนติเมตร ซึ่งต่ำกว่าการใช้ซิงก์เรซินเป็นตัวประสานและต่ำกว่าค่ามาตรฐานของวัสดุที่นำมาใช้เป็นแผ่นนำกระแสแบบสองขั้วมาก เนื่องจากสมบัติเฉพาะตัวของอะคริดิกเรซินซึ่งทนต่อการกัดกร่อนได้ดี จึงคาดว่าเมื่อนำไปใช้งานในเซลล์เชื้อเพลิงจะเกิดการหลุดลอกของฟิล์มน้อยลง นำไปสู่อายุการใช้งานที่ยาวนานขึ้นแต่ยังต้องคำนึงถึงสมบัติทางด้านการนำไฟฟ้าของแผ่นเหล็กกล้าไร้สนิมเคลือบคาร์บอนคอมโพสิตที่มีอะคริดิกเรซินเป็นตัวประสาน แสดงดังรูปที่ 4.8



รูปที่ 4.8 ความสัมพันธ์ของค่าความต้านทานเชิงสัมผัสที่โมเมนต์ทอร์ก 200 ปอนด์แรงนิว ของแผ่นเหล็กกล้าไร้สนิม (SUS 304) เคลือบด้วยคาร์บอนคอมโพสิตที่มีการใช้ตัวประสานต่างชนิดกันคืออะคริลิกเรซินและซิงก์เรซิน กับร้อยละการเติมท่อนาในคาร์บอนโดยน้ำหนัก

จากรูปที่ 4.8 ค่าความต้านทานเชิงสัมผัสของแผ่นเหล็กกล้าไร้สนิมเคลือบที่ใช้อะคริลิกเรซินเป็นตัวประสานอยู่ในช่วงมากกว่า 60 มิลลิโอมตารางเซนติเมตร ซึ่งมีค่าสูงกว่ากรณีที่ใช้ซิงก์เรซินเป็นตัวประสานมาก เนื่องจากสมบัติการนำไฟฟ้าของอะคริลิกเรซินมีค่าต่ำ แต่การใช้อะคริลิกเรซินมีข้อดีคือต้านทานต่อการกัดกร่อนได้ดีจึงได้มีการใช้ท่อนาในคาร์บอนชนิดที่มีสภาพนำไฟฟ้าสูง (100 ซีเมนส์ต่อเซนติเมตร) แทนที่ท่อนาในคาร์บอนชนิดที่มีสภาพนำไฟฟ้าต่ำ (1.25 ซีเมนส์ต่อเซนติเมตร) เพื่อให้แผ่นเหล็กกล้าไร้สนิมเคลือบcarbonคอมโพสิตที่ได้มีสมบัติการนำไฟฟ้าที่ดีขึ้นและยังคงมีสมบัติการต้านทานการกัดกร่อนที่ดี

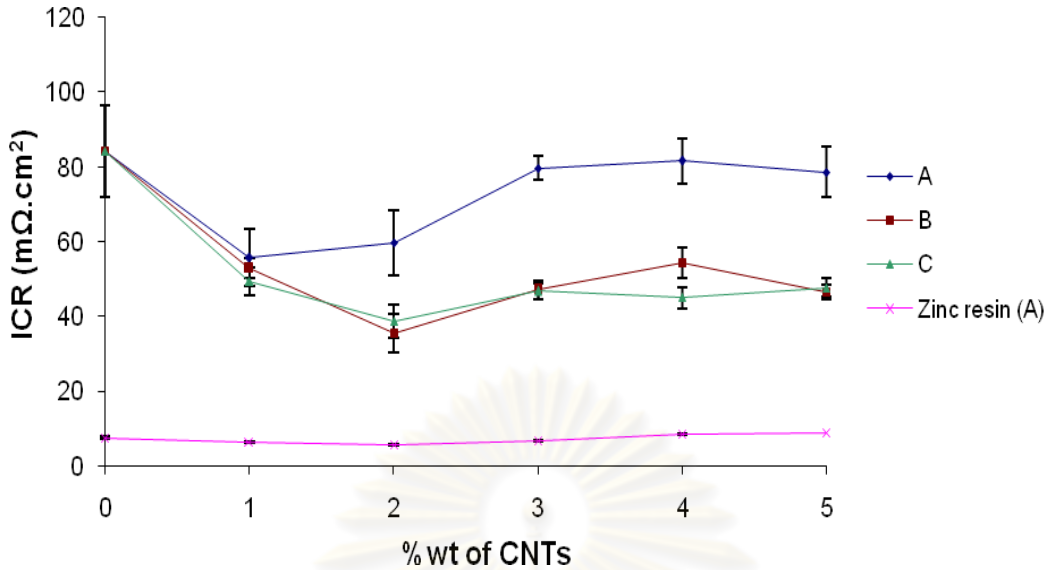
ตารางที่ 4.1 สมบัติของท่อนาโนคาร์บอนชนิดต่างๆที่ใช้เป็นสารตัวเติม

	<u>Chiangmai</u> (A)	<u>Timesnano 1</u> (B)	<u>Timesnano 2</u> (C)
OD (nm)	20-50	30-50	30-50
Length (μm)	>10	10-20	10-20
EC (s/cm)	1.25	>100	>100
Purity(wt%)	90	95	95
-COOH Content (wt%)	-	-	0.73
Cost 1 g (baht)	10	90	130

ในตารางที่ 4.1 แสดงสมบัติของท่อนาโนคาร์บอนที่ใช้เป็นสารตัวเติมทั้งสามชนิดคือ ท่อนาโนคาร์บอนชนิดสภาพนำไฟฟ้าต่ำ Chiangmai (A) ท่อนาโนคาร์บอนชนิดสภาพนำไฟฟ้าสูง Timesnano 1 (B) และท่อนาโนคาร์บอนชนิดสภาพนำไฟฟ้าสูงที่มีหมุนเวียนบวกซึ่งกัน Timesnano 2 (C) ซึ่งหมุนเวียนบวกซึ่งกันจะช่วยให้ท่อนาโนคาร์บอนซึ่งมีค่าการกระจายตัวในสารละลายที่ต่ำสามารถกระจายได้ดีขึ้น [24] แต่การเติมท่อนาโนคาร์บอนมีข้อจำกัดเมื่อมีการเติมในปริมาณมากๆ การกระจายตัวของท่อนาโนคาร์บอนจะไม่ดี จึงต้องทำการทดลองหาปริมาณที่เหมาะสมเพื่อให้สมบัติทางด้านการนำไฟฟ้าและการต้านทานการกัดกร่อนที่ดี

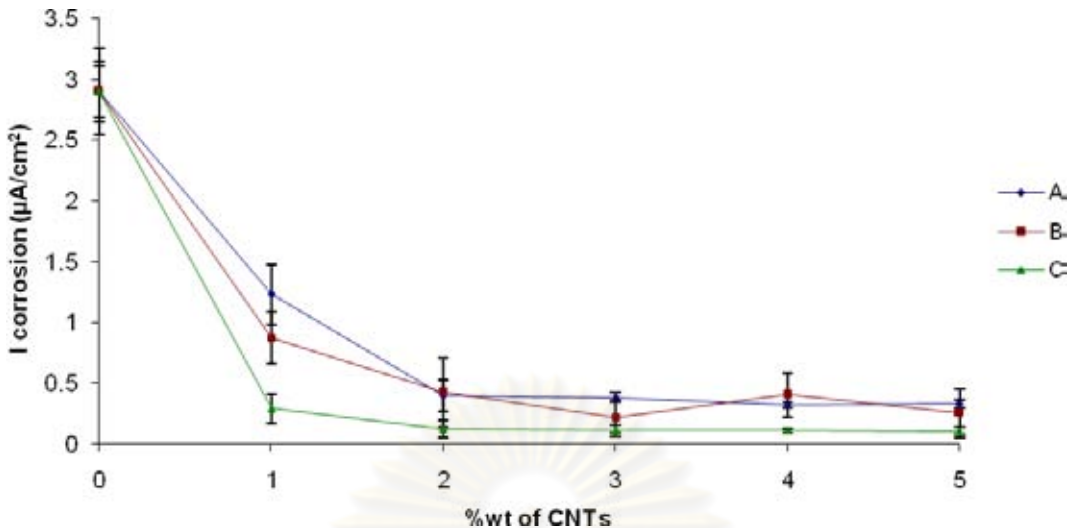
4.4 ผลของค่าความต้านทานเชิงสัมผัสและอัตราการกัดกร่อนของแผ่นเหล็กกล้าไวร์สนิมเคลือบคาร์บอนคอมโพสิตเมื่อมีการใช้ท่อนาโนคาร์บอนชนิดที่มีสภาพนำไฟฟ้าสูงเมื่อใช้อะคริลิกเรซินเป็นตัวประสาน

เมื่อมีการเปลี่ยนชนิดของท่อนาโนคาร์บอนที่ใช้เป็นสารตัวเติม เพื่อปรับปรุงสมบัติการนำไฟฟ้าของแผ่นเหล็กกล้าไวร์สนิมเคลือบด้วยคาร์บอนคอมพอยต์โดยได้ทำการวัดค่าความต้านทานเชิงสัมผัสและเปรียบเทียบกับกรณีที่ใช้ชิ้นกรองเป็นตัวประสาน ซึ่งผลการทดลองแสดงดังรูปที่ 4.9



รูปที่ 4.9 ความสัมพันธ์ของค่าความต้านทานเชิงสัมผัสที่ไมเมนต์ทอร์ก 200 ปอนด์แรงนิว ของแผ่นเหล็กกล้าไร้สนิม (SUS 304) เคลือบด้วยคาร์บอนคอมโพสิตกับชนิดของท่อนาโนในคาร์บอนหั่ง 3 ชนิด ที่ใช้เป็นสารตัวเติมในร้อยละโดยน้ำหนักต่างๆ

จากรูปพบว่าการใช้ท่อนาโนคาร์บอนชนิดสภาพนำไฟฟ้าสูง Timesnano 1 (B) และท่อนาโนคาร์บอนชนิดสภาพนำไฟฟ้าสูงที่มีหมู่คาร์บอซิลิก Timesnano 2 (C) เป็นสารตัวเติมในการเคลือบแผ่นเหล็กกล้าไร้สนิมด้วยคาร์บอนคอมโพสิต สามารถลดค่าความต้านทานเชิงสัมผัสของแผ่นเหล็กกล้าไร้สนิมเคลือบจากการนี้ที่ไม่มีการใช้สารตัวเติมและกรณีที่ใช้ท่อนาโนคาร์บอนชนิดสภาพนำไฟฟ้าต่ำ Chiangmai (A) ซึ่งท่อนาโนคาร์บอนชนิดที่มีสภาพนำไฟฟ้าสูงทั้งสองชนิดให้ค่าความต้านทานเชิงสัมผัสที่ใกล้เคียงกัน และเมื่อเติมท่อนาโนคาร์บอนที่ปริมาณร้อยละ 2 โดยน้ำหนัก ทำให้ค่าความต้านทานเชิงสัมผัสของแผ่นเหล็กกล้าไร้สนิมเคลือบcarbonคอมพอยต์ลดลงได้มากที่สุด คือลดลงจาก 59.6 มาเป็น 35.5 มิลลิโอมตากางเซนติเมตร เมื่อใช้ท่อนาโนคาร์บอนชนิดสภาพนำไฟฟ้าสูง Timesnano 1 (B) เป็นสารตัวเติมที่ร้อยละ 2 โดยน้ำหนักแต่การปรับปรุงสภาพนำไฟฟ้าของอะคริลิคเรซินโดยการใช้ใช้ท่อนาโนคาร์บอนหั่งสามชนิดยังไม่สามารถลดค่าความต้านทานเชิงสัมผัสให้ใกล้เคียงกับการใช้ชิ้งก์เรซินได้ เนื่องจากค่าความต้านทานเชิงสัมผัสของแผ่นเหล็กกล้าไร้สนิมเคลือบด้วยคาร์บอนคอมพอสิตเป็นผลมาจากการสมบัติการนำกระแสไฟฟ้าเข้าพะตัวของประสาณแต่จะชนิดมากกว่าชนิดและปริมาณของท่อนาโนในคาร์บอน

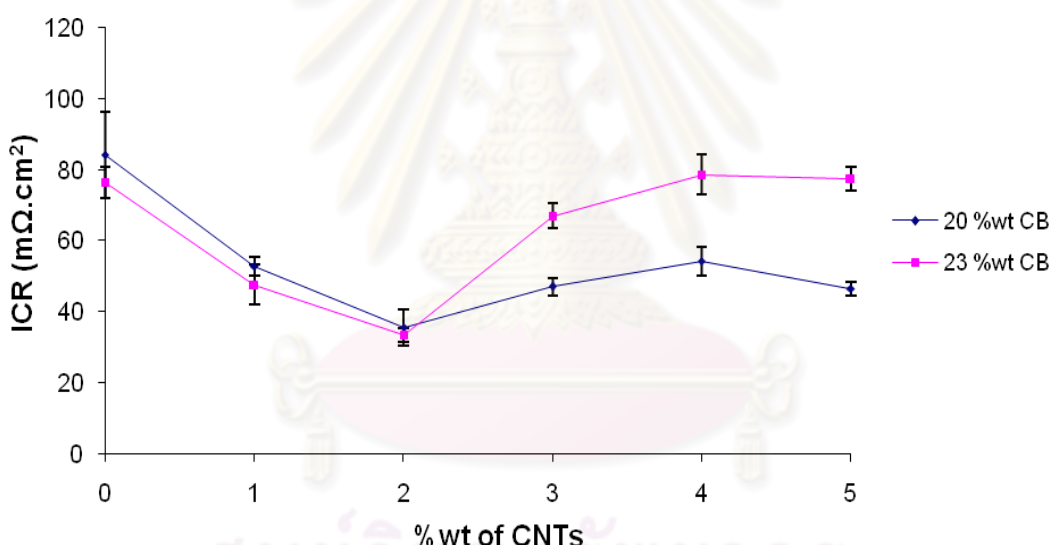


รูปที่ 4.10 ความสัมพันธ์ของค่าอัตราการกัดกร่อนในสารละลายกรดขัลฟิวเริก 0.1 มิลาร์ของแผ่นเหล็กกล้าไร้สนิม (SUS 304) เคลือบด้วยคาร์บอนคอมโพสิตกับชนิดของท่อนาในคาร์บอนที่ใช้เป็นสารตัวเติมในร้อยละการเติมโดยน้ำหนักต่างๆ

เมื่อมีการเปลี่ยนชนิดของท่อนาในคาร์บอนที่ใช้เป็นสารตัวเติมในการเคลือบแผ่นเหล็กกล้าไร้สนิมด้วยคาร์บอนคอมโพสิต จึงได้นำไปทดสอบอัตราการกัดกร่อนในสารละลายกรดขัลฟิวเริกเข้มข้น 0.1 มิลาร์ พบร่วงการเติมท่อนาในคาร์บอนชนิดสภาพนำไฟฟ้าสูงที่มีชื่อคาร์บอนซิลิก Timesnano (C) สามารถลดค่ากระแสเกิดกร่อนที่เกิดขึ้นกับแผ่นเหล็กกล้าไร้สนิมเคลือบด้วยคาร์บอนคอมโพสิตได้เพียงเล็กน้อย ส่วนกรณีของท่อนาในคาร์บอนชนิดสภาพนำไฟฟ้าสูงมีค่ากระแสเกิดกร่อนใกล้เคียงกับท่อนาในคาร์บอนชนิดสภาพนำไฟฟ้าต่ำ (รูปที่ 4.10) ทั้งนี้เนื่องจากผลของตัวประสานส่งผลต่อค่ากระแสเกิดกร่อนมากกว่าสารตัวเติม และท่อนาในคาร์บอนมีสมบัติที่แตกต่างกันทางด้านการนำไฟฟ้ามากกว่าการต้านทานการกัดกร่อน จึงได้ทำการทดลองเพิ่มปริมาณผงแบ่งถ่านเพื่อรับประจุสมบัติการนำไฟฟ้าของแผ่นเหล็กกล้าไร้สนิมเคลือบด้วยคาร์บอนคอมโพสิต

4.5 ผลของการเพิ่มปริมาณผงแบ่งถ่านต่อค่าความต้านทานเชิงสัมผัสของแผ่นเหล็กกล้าไร้สนิมเคลือบคาร์บอนคอมพอสิต

จากการทดลองเปลี่ยนชนิดของท่อนาโนคาร์บอนมาเป็นชนิดที่มีสภาพนำไฟฟ้าสูง Timesnano 1 (B) เพื่อลดค่าความต้านทานเชิงสัมผัสของแผ่นเหล็กกล้าไร้สนิมเคลือบคาร์บอนคอมพอสิตที่มีการใช้อุบลากิริเดกเรชินเป็นตัวประสาน แต่ยังไม่ได้เท่ากับการใช้ซิงก์เรชิน จึงต้องมีวิธีการขึ้นมาช่วยในการปรับปรุง ซึ่งวิธีการเพิ่มปริมาณผงแบ่งถ่านมีความจำเป็นไปได้ แต่การเพิ่มปริมาณของผงแบ่งถ่านต้องคำนึงถึงองค์ประกอบรวมของคาร์บอนทั้งหมดในสารเคลือบเพื่อไม่ให้สารเคลือบมีอัตราส่วนของคาร์บอนต่อตัวประสานที่สูงเกินไป จึงเลือกการเติมที่ร้อยละ 23 โดยน้ำหนักเพื่อเหลือปริมาณในการเติมท่อนาโนคาร์บอนด้วย จากนั้นนำไปทดสอบค่าความต้านทานเชิงสัมผัส ผลการทดลองแสดงดังรูปที่ 4.11



รูปที่ 4.11 ความสัมพันธ์ของค่าความต้านทานเชิงสัมผัสของแผ่นเหล็กกล้าไร้สนิม (SUS 304) เคลือบด้วยคาร์บอนคอมพอสิตกับปริมาณของผงแบ่งถ่านเมื่อมีการเติมท่อนาโน คาร์บอนชนิดสภาพนำไฟฟ้าสูง Timesnano 1 (B) ในร้อยละการเติมโดยน้ำหนักต่างๆ

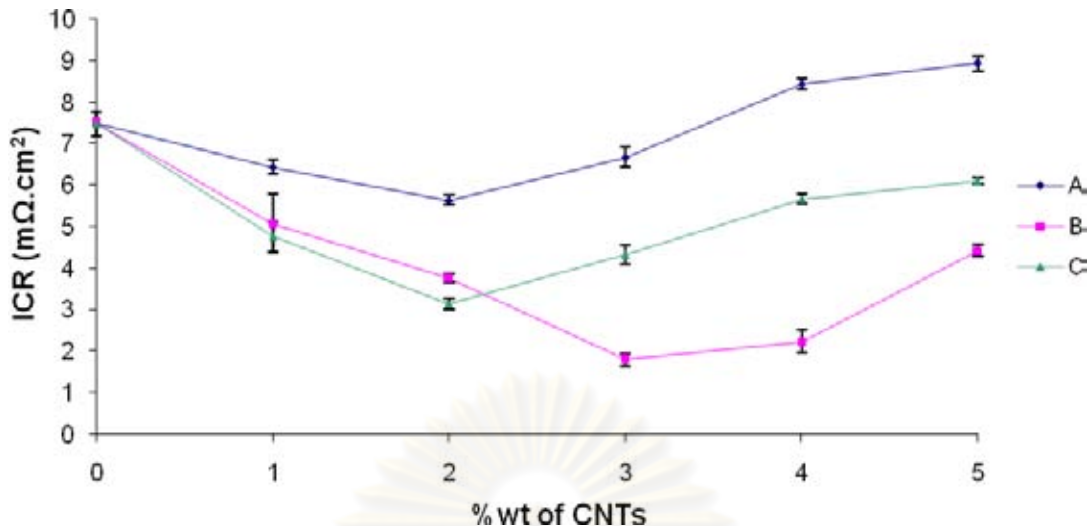
จากรูปที่ 4.11 พบร่วมกับการเพิ่มปริมาณผงแบ่งถ่านเป็นร้อยละ 23 โดยน้ำหนัก ในสารเคลือบคาร์บอนคอมพอสิต สามารถลดค่าความต้านทานเชิงสัมผัสของแผ่นเหล็กได้เพียงเล็กน้อย และการเติมท่อนาโนคาร์บอนชนิดที่มีสภาพนำไฟฟ้าสูง Timesnano 1 (B) ในร้อยละ 1-2 โดยน้ำหนัก ค่าความต้านทานเชิงสัมผัสของแผ่นเหล็กกล้าไร้สนิมเคลือบมีค่าไม่แตกต่างจาก

การใช้สัมภาษณ์ถ่านร้อยละ 20 โดยน้ำหนัก ส่วนในช่วงที่มากกว่าร้อยละ 2 โดยน้ำหนัก แผ่นเหล็กกล้าไร้สนิมเคลือบจะมีค่าความต้านทานเชิงสัมผัสที่มากขึ้น เนื่องจากปริมาณที่จำกัดของตัวประสาน เมื่อเทียบเป็นอัตราส่วนของคาร์บอนต่อตัวประสาน เมื่อปริมาณคาร์บอนมากขึ้นแต่ปริมาณของตัวประสานเท่าเดิม ทำให้ตัวประสานที่ช่วยยึดเกาะระหว่างคาร์บอนกับผิวเหล็กกล้าไร้สนิมไม่เพียงพอ ผิวของแผ่นเหล็กกล้าไร้สนิมเคลือบจะมีช่องว่างเกิดขึ้น นำไปสู่สมบัติการนำไฟฟ้าที่ไม่ดี

อะคริลิกเรซินเมื่อใช้เป็นตัวประสานในการเคลือบแผ่นเหล็กกล้าไร้สนิมด้วยคาร์บอนคอมพอยสิตแล้ว สามารถให้ค่าอัตราการกัดกร่อนที่ต่ำกว่าค่ามาตรฐานสำหรับทำแผ่นนำกระแสไฟฟ้าแบบสองขั้วมาก ซึ่งคาดว่าจะเหมาะสมกับการใช้งานจริงในเซลล์เชือกเพลิง แต่ค่าความต้านทานเชิงสัมผัสรายคงมีค่าสูงอยู่ จึงเปลี่ยนกลับมาใช้ชิ้นกรีนเป็นตัวประสาน เพื่อศึกษาสมบัติทางด้านการต้านทานการกัดกร่อนและการนำไฟฟ้าเมื่อมีการใช้ท่อนาในคาร์บอนชนิดที่มีสภาพนำไฟฟ้าสูง Timesnano 1 (B) และท่อนาในคาร์บอนชนิดสภาพนำไฟฟ้าสูงที่มีหุ้มคาร์บออกซิลิก Timesnano 2 (C)

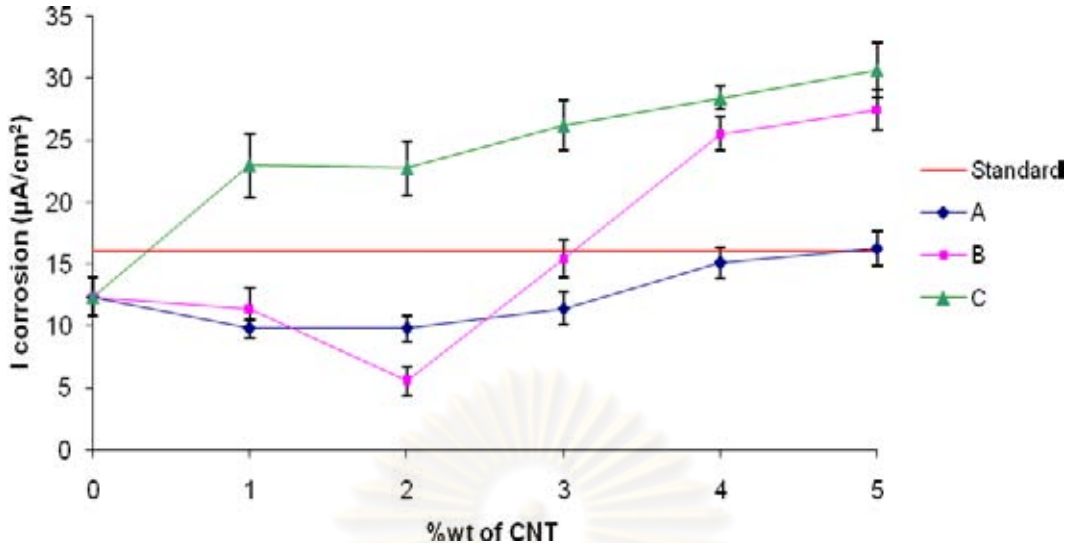
4.6 ผลของค่าการความต้านทานเชิงสัมผัสและอัตราการกัดกร่อนของแผ่นเหล็กกล้าไร้สนิมเคลือบคาร์บอนคอมพอยสิตเมื่อมีการใช้ท่อนาในคาร์บอนชนิดที่มีสภาพนำไฟฟ้าสูงเมื่อใช้ชิ้นกรีนเป็นตัวประสาน

การใช้ชิ้นกรีนเป็นตัวประสานในการเคลือบแผ่นเหล็กกล้าไร้สนิมด้วยคาร์บอนคอมพอยสิตนั้น ให้ค่าความต้านทานเชิงสัมผัสที่ต่ำ แต่ค่ากระแสแก็ตกร่อนมีค่าสูงใกล้เคียงกับค่ามาตรฐานจากการทดลองใน 4.3 พบร้า เมื่อมีการใช้ท่อนาในคาร์บอนเป็นสารตัวเติมสามารถช่วยลดค่ากระแสแก็ตกร่อนลงมาได้ระดับหนึ่ง จึงคาดว่าการหลุดลอกของฟิล์มหลังจากการทดสอบประสิทธิภาพในเซลล์เชือกเพลิงจริงน่าจะลดลง จึงหันมาสนใจในการเพิ่มสภาพนำไฟฟ้าของแผ่นโลหะเคลือบโดยการเติมท่อนาในคาร์บอนที่มีสภาพนำไฟฟ้าสูงทั้งสองชนิด เพื่อให้ประสิทธิภาพของการใช้งานจริงในเซลล์เชือกเพลิงสูงขึ้น ซึ่งผลการทดลองแสดงดังรูปที่ 4.12



รูปที่ 4.12 ความสัมพันธ์ของค่าความต้านทานเชิงสัมผัสที่ไมเมนต์ทอร์ก 200 ปอนด์เรนนิ่ง ของแผ่นเหล็กกล้าไร้สนิม (SUS 304) เคลือบด้วยคาร์บอนคอมโพสิตที่มีการใช้ชิงก์เรชิน เป็นตัวประสานกับชนิดของท่อนาโนคาร์บอนที่ใช้เป็นสารตัวเติมในร้อยละโดยน้ำหนัก ต่าฯ

จากรูปที่ 4.12 พบร่วมกันว่า การใช้ท่อนาโนคาร์บอนชนิดที่มีสภาพนำไฟฟ้าสูง Timesnano 1 (B) และท่อนาโนคาร์บอนชนิดสภาพนำไฟฟ้าสูงที่มีหมุนคาร์บออกซิลิก Timesnano 2 (C) ในกรณีที่ใช้ชิงก์เรชินเป็นตัวประสาน สามารถช่วยลดค่าความต้านทานเชิงสัมผัสได้จากการนีที่ใช้ท่อนาโนคาร์บอนชนิดที่มีสภาพนำไฟฟ้าต่ำเป็นสารตัวเติม โดยการเติมท่อนาโนคาร์บอนชนิดที่มีสภาพนำไฟฟ้าสูงที่มีหมุนคาร์บออกซิลิก Timesnano 2 (C) ที่ร้อยละ 2 โดยน้ำหนัก มีค่าความต้านทานเชิงสัมผัส 3.12 มิลลิโอห์มตารางเซนติเมตร และการเติมท่อนาโนคาร์บอนชนิดสภาพนำไฟฟ้าสูง Timesnano 1 (B) ที่ร้อยละ 3 โดยน้ำหนัก มีค่าความต้านทานเชิงสัมผัส 1.78 มิลลิโอห์มตารางเซนติเมตร ซึ่งภาวะที่ดีที่สุดนี้เปลี่ยนมาจากการเติมท่อนาโนคาร์บอนชนิดสภาพนำไฟฟ้าสูง Timesnano 1 (B) ที่ร้อยละ 2 โดยน้ำหนัก เนื่องจากท่อนาโนคาร์บอนที่ใช้มีสภาพการนำไฟฟ้าที่สูง ถึงแม้ว่าการเติมที่ปริมาณร้อยละ 3 และ 4 โดยน้ำหนัก อาจจะเกิดการเกาะตัวกันขึ้นภายในสารเคลือบ พิล์มที่เคลือบแผ่นโลหะก็ยังคงมีสภาพการนำไฟฟ้าที่สูงอยู่



รูปที่ 4.13 ความสัมพันธ์ของค่าการกัดกร่อนของแผ่นเหล็กกล้าไร้สนิม (SUS 304) โดยสารเคลือบด้วยคาร์บอนคอมโพสิตที่มีการใช้ชิ้งก์เรซินเป็นตัวประสานกับชนิดของท่อนาโน่ คาร์บอนที่ใช้เป็นสารตัวเติมในร้อยละโดยน้ำหนักต่างๆ

จากนั้นนำแผ่นเหล็กกล้าไร้สนิมเคลือบคาร์บอนคอมโพสิตที่มีการใช้ท่อนาโน่ คาร์บอนที่มีสภาพนำไฟฟ้าสูงเป็นสารตัวเติมและใช้ชิ้งก์เรซินเป็นตัวประสาน มาทดสอบอัตราการกัดกร่อน ซึ่งผลการทดลองแสดงดังรูปที่ 4.13 พบว่า การเติมท่อนาโน่ในคาร์บอนชนิดที่มีสภาพนำไฟฟ้าสูง Timesnano 1 (B) สามารถช่วยลดค่ากราฟแสกัดกร่อนได้ เมื่อเติมในปริมาณร้อยละ 2 โดยน้ำหนัก โดยได้ค่ากราฟแสกัดกร่อนที่ 5 ไมโครแอมเพอร์ต่อตารางเซนติเมตร เนื่องจากท่อนาโน่ คาร์บอนที่สามารถเข้าผสานกับผิวของแผ่นได้จะช่วยเข้ามายังกับกลุ่มของผงแปร่งถ่านจะทำให้เกิดโครงสร้างแบบตาข่ายขึ้นทำให้การเคลือบได้และสม่ำเสมอ ซึ่งช่วยป้องกันกรดที่จะเข้ามาทำปฏิกิริยากับผิวโลหะได้ขึ้น แต่เมื่อมีการเติมในช่วงที่มากกว่าร้อยละ 2 โดยน้ำหนัก จะทำให้แผ่นเหล็กกล้าไร้สนิมเคลือบมีแนวโน้มของค่ากราฟแสกัดกร่อนที่สูงขึ้นเรื่อยๆ ซึ่งเป็นผลมาจากการอัตราส่วนของคาร์บอนต่อเรซินที่มากขึ้น ส่วนในกรณีของการใช้ท่อนาโน่ในคาร์บอนชนิดสภาพนำไฟฟ้าสูงที่มี หมุ่คาร์บออกซิลิก Timesnano (C) เป็นสารตัวเติม พบว่า เมื่อมีการเติมจะทำให้ค่ากราฟแสกัดกร่อน มีค่าสูงกว่าค่ามาตรฐานในทุกปริมาณของการเติม เนื่องจากอาจมีการหลุดหรือแตกตัวออกมาก ของหมุ่คาร์บออกซิลิกที่มีการสังเคราะห์ลงบนท่อนาโน่ในคาร์บอน จึงได้มีการทดสอบอัตราความเป็นกรดเบสของสารละลายน้ำมีกรดชั้ลฟิววิก 0.1 ไมลาร์นลังจากที่มีการจุ่มแผ่นเหล็กกล้าไร้สนิมเคลือบ ซึ่งผลการทดลองแสดงดังตารางที่ 4.2

ตารางที่ 4.2 ความสัมพันธ์ของค่าความเป็นกรดเบสของสารละลายน้ำกรดชั้ลฟิวริก 0.1 มอลาร์ เมื่อจุ่มแผ่นเหล็กกล้าไว้สนิมเคลือบคาร์บอนคอมโพสิตที่มีการใช้ท่อนาในคาร์บอนเป็นสารตัวเติมที่ร้อยละโดยน้ำหนักต่างๆ

ร้อยละของการเติมท่อนาในคาร์บอนโดยน้ำหนัก	0	1	2
$H_2O + CNTs$	7.20	7.21	7.21
$H_2O + CNTs -COOH$	7.23	7.21	7.19
$H_2SO_4 0.1 M + CNTs$	1.23	1.26	1.27
$H_2SO_4 0.1 M + CNTs -COOH$	1.21	1.07	0.97

จากตารางที่ 4.2 พบร่วมกับ เมื่อทำการทดสอบกับน้ำบิสูทิพบ์ว่าค่าความเป็นกรดเบสมีแนวโน้มเปลี่ยนไปทางความเป็นกรดเล็กน้อย เมื่อมีการจุ่มแผ่นเหล็กกล้าไว้สนิมเคลือบคาร์บอนคอมพอสิตที่มีการใช้ท่อนาในคาร์บอนชนิดสภาพนำไฟฟ้าสูงที่มีชนิดค่าบอคซิลิก Timesnano 2 (C) เป็นสารตัวเติม แต่เมื่อนำมาจุ่มในสารละลายน้ำกรดชัลฟิวริก 0.1 มอลาร์ จะทำให้ค่าความเป็นกรดของสารละลายเพิ่มขึ้นจึงเป็นผลให้ค่ากรดลดลงที่ได้ในรูปที่ 4.13 มีค่าสูงขึ้นในทุกกรณีที่มีการเติม ส่วนการเติมท่อนาในคาร์บอนชนิดที่มีสภาพนำไฟฟ้าสูง Timesnano 1 (B) ในสารละลายน้ำกรดชัลฟิวริก ไม่ส่งผลต่อค่าความเป็นกรดเบสของสารละลายน้ำมากนัก

4.7 ผลของสมบัติการยึดติดของแผ่นเหล็กกล้าไร้สนิมเคลือบคาร์บอนคอมพอสิตเมื่อมีการใช้ท่อนาในคาร์บอนชนิดที่มีสภาพนำไฟฟ้าสูงเมื่อใช้ชิ้นกรีซินเป็นตัวประสาน

สมบัติการยึดติดของฟิล์มคาร์บอนคอมพอสิตมีความสำคัญต่อการเคลือบผิวแผ่นเหล็กกล้าไร้สนิมสำหรับการนำไปใช้งานจริงในเซลล์เชื้อเพลิงเนื่องจากต้องรับแรงอัดในการประกอบเซลล์ ค่าการยึดติดที่ดีของฟิล์มจะแสดงถึงความเสถียรของแผ่นโลหะเคลือบคาร์บอนคอมพอสิต เมื่อถูกนำไฟฟ้าไปใช้เป็นแผ่นนำกระแสไฟฟ้าในเซลล์เชื้อเพลิง

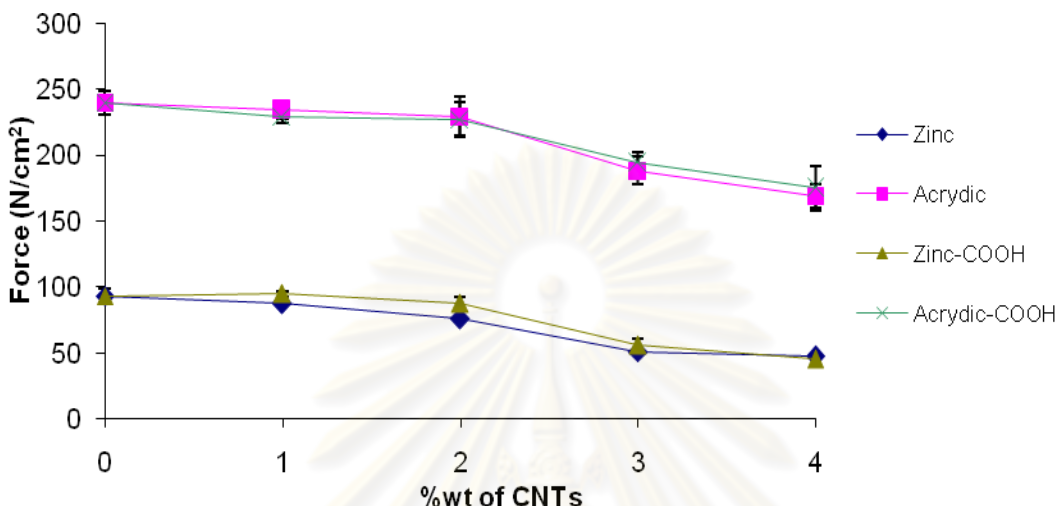


(A) (B) (C)

รูปที่ 4.14 ภาพถ่ายของแผ่นเหล็กกล้าไร้สนิมเคลือบคาร์บอนคอมพอสิตที่มีการเติมท่อนาในคาร์บอนชนิดที่มีสภาพนำไฟฟ้าสูง Timesnano 1 (B) บริมาณต่างๆ จากกล้องจุลทรรศน์ (A) เติมท่อนาในคาร์บอนร้อยละ 2 โดยน้ำหนัก, (B) เติมท่อนาในคาร์บอนร้อยละ 3 โดยน้ำหนักและ (C) เติมท่อนาในคาร์บอนร้อยละ 4 โดยน้ำหนัก หลังจากการทดสอบค่าความต้านทานเชิงสัมผัสที่โมเมนต์ทอร์ก 200 ปอนด์แรงนิวตัน

จากรูปที่ 4.14 พบว่า เมื่อเติมท่อนาในคาร์บอนชนิดที่มีสภาพนำไฟฟ้าสูง Timesnano 1 (B) ในปริมาณร้อยละ 2 โดยน้ำหนัก ผิวฟิล์มที่เคลือบแผ่นเหล็กกล้าไร้สนิมยังคงมีสภาพที่ดีหลังจากการทดสอบค่าความต้านทานเชิงสัมผัสที่โมเมนต์ทอร์ก 200 ปอนด์แรงนิวตัน แต่เมื่อปริมาณคาร์บอนที่ใช้เติมสูงขึ้นที่ร้อยละ 3 (B) และ 4 (C) หลังจากการทดสอบ ผิวฟิล์มจะเกิดการแตกและหลุดออกขึ้นจนเห็นผิวของเหล็กกล้าไร้สนิมว่าไม่ถูกยึดเกาะด้วยตัวประสาน การเติมที่ร้อยละ 2 โดยน้ำหนัก เป็นปริมาณที่เหมาะสมสำหรับการเติมท่อนาในคาร์บอนเพื่อนำไฟฟ้าเคลือบแผ่นเหล็กกล้าไร้สนิมเพื่อใช้งานจริงในเซลล์เชื้อเพลิง

จากนั้นได้ทำการทดสอบการต้านแรงดึงของฟิล์มคาร์บอนคอมพอยสิตที่เคลือบแผ่นเหล็กกล้าไร้สนิมที่มีการเติมท่อนาโนคาร์บอนชนิดที่มีสภาพนำไฟฟ้าสูงทั้งสองชนิด และเบรียบเทียบแรงดึงระหว่างซิงก์เรชินและอะคริดิกเรชิน โดยจะวัดค่าเมื่อฟิล์มคาร์บอนคอมพอยสิตถูกดึงจนหลุด ผลการทดลองแสดงดังรูปที่ 4.15



รูปที่ 4.15 ความสัมพันธ์ของค่าแรงดึงของฟิล์มของแผ่นเหล็กกล้าไร้สนิม (SUS 304) โดยสารเคลือบด้วยคาร์บอนคอมพอยสิตที่มีการใช้ตัวประสานชนิดต่างๆ กับการเติมท่อนาโนคาร์บอนในร้อยละโดยน้ำหนักต่างๆ

จากการทดลองการต้านแรงดึงของฟิล์มพบว่าการใช้อัคบริดิกเรชินเป็นตัวประสานในการเคลือบผิวของแผ่นเหล็กกล้าไร้สนิมฟิล์มคาร์บอนคอมพอยสิตจะทนต่อแรงดึงได้สูงกว่าการใช้ซิงก์เรชิน โดยให้ผลไม่แตกต่างกันเมื่อใช้ท่อนาโนคาร์บอนชนิดที่มีสภาพนำไฟฟ้าสูงทั้งที่มีและไม่มีหมู่คาร์บอชิลิก ในการเติมท่อนาโนคาร์บอนในร้อยละ 1-2 โดยน้ำหนัก ไม่ส่งผลต่อค่าแรงดึงมาก แต่แนวโน้มการทนต่อแรงดึงของฟิล์มคาร์บอนคอมพอยสิตจะลดลงเมื่อปริมาณของท่อนาโนคาร์บอนเพิ่มขึ้น ซึ่งเป็นแนวโน้มเดียวกันทั้ง 2 ตัวประสาน ทั้งนี้ผลที่ได้สอดคล้องกับผลการทดลองในการวัดค่าความต้านทานเชิงสัมผัสที่แรงกดอัดที่สูงขึ้น (รูปที่ 4.14) ที่พบว่าเมื่อร้อยละของการเติมท่อนาโนคาร์บอนสูงขึ้น การเคลือบจะยืดติดไม่ดี

4.8 ผลของค่าการความต้านทานเชิงสัมผัสและอัตราการกัดกร่อนของแผ่นเหล็กกล้าไร้สนิมเคลือบคาร์บอนคอมพอสิตเมื่อมีการใช้ตัวประสานที่มีการผสมกันระหว่างชิงก์เรซินและอะคริดิกเรซิน

จากการทดลองข้างต้น พบว่า ชิงก์เรซินและอะคริดิกเรซินที่ใช้เป็นตัวประสานข้อดี คุณลักษณะอย่างคือชิงก์เรซินมีค่าความต้านทานเชิงสัมผัสที่ต่ำและมีค่าอัตราการกัดกร่อนที่ต่ำกว่ากลาง ส่วนอะคริดิกเรซินมีค่าอัตราการกัดกร่อนที่ต่ำมาก จึงมีแนวคิดที่จะนำแผ่นเหล็กกล้าไร้สนิมเคลือบคาร์บอนคอมพอสิตที่มีการใช้ชิงก์เรซิน และมีการเติมท่อนาโนคาร์บอนชนิดที่มีสภาพนำไฟฟ้าสูง Timesnano 1 (B) ในปริมาณร้อยละ 3 โดยน้ำหนัก ซึ่งเป็นภาวะที่มีค่าการต้านทานเชิงสัมผัสที่ต่ำที่สุด ($1.7881 \text{ มิลลิโอห์มต่อแรงเซนติเมตร } \text{ ในรูปที่ } 4.12$) แต่ยังมีค่ากระแสเกิดกร่อนที่ใกล้เคียงกับค่ามาตรฐาน $15.4 \text{ } \mu\text{A/cm}^2$ ไม่โครง改成แปรรุ้งต่อตารางเซนติเมตร นำมาเติมอะคริดิกเรซินเพื่อปรับปรุงค่าอัตราการกัดกร่อนให้ดีขึ้น ซึ่งผลการทดลองแสดงดังตารางที่ 4.3

ตารางที่ 4.3 ความสัมพันธ์ของค่าการความต้านทานเชิงสัมผัสและอัตราการกัดกร่อนของแผ่นเหล็กกล้าไร้สนิมเคลือบคาร์บอนคอมพอสิตเมื่อมีการใช้ตัวประสานที่มีการผสมกันระหว่างชิงก์เรซินและอะคริดิกเรซิน

% Addition of acrydic	ICR ($\text{m}\Omega \cdot \text{cm}^2$)	Corrosion rate ($\mu\text{A}/\text{cm}^2$)
0	1.78 ± 0.15	15.4 ± 1.48
3	9.15 ± 0.14	140 ± 15.25
6	12.50 ± 0.55	260 ± 35.15
9	15.28 ± 0.53	136 ± 12.24

จากการทดลองในตารางที่ 4.3 พบว่า ค่าความต้านทานเชิงสัมผัสของแผ่นเหล็กกล้าไร้สนิมเคลือบเพิ่มขึ้น เมื่อมีการเติมอะคริดิกเรซิน ซึ่งแนวโน้มเป็นไปตามสมบัติของอะคริดิกเรซิน แต่ค่ากระแสเกิดกร่อนไม่ได้ลดลงตามอะคริดิกเรซินที่เพิ่มขึ้น ซึ่งอาจจะเป็นผลมาจากการ

ปริมาณที่มากเกินไปของอะคริลิกเรซิน จึงได้ทำการทดลองลดปริมาณของอะคริลิกเรซินลงมาก ซึ่งผลการทดลองแสดงดังตารางที่ 4.4

ตารางที่ 4.4 ความสัมพันธ์ของค่าความต้านทานเชิงสัมผัสและอัตราการกัดกร่อนของแผ่นเหล็กกล้าไร้สนิมเคลือบคาร์บอนคอมโพสิตเมื่อการใช้ตัวประสานที่มีการทดสอบระหว่างชิ้นกรีชในและอะคริลิกเรซิน เมื่อมีการเติมอะคริลิกเรซินในปริมาณต่ำ

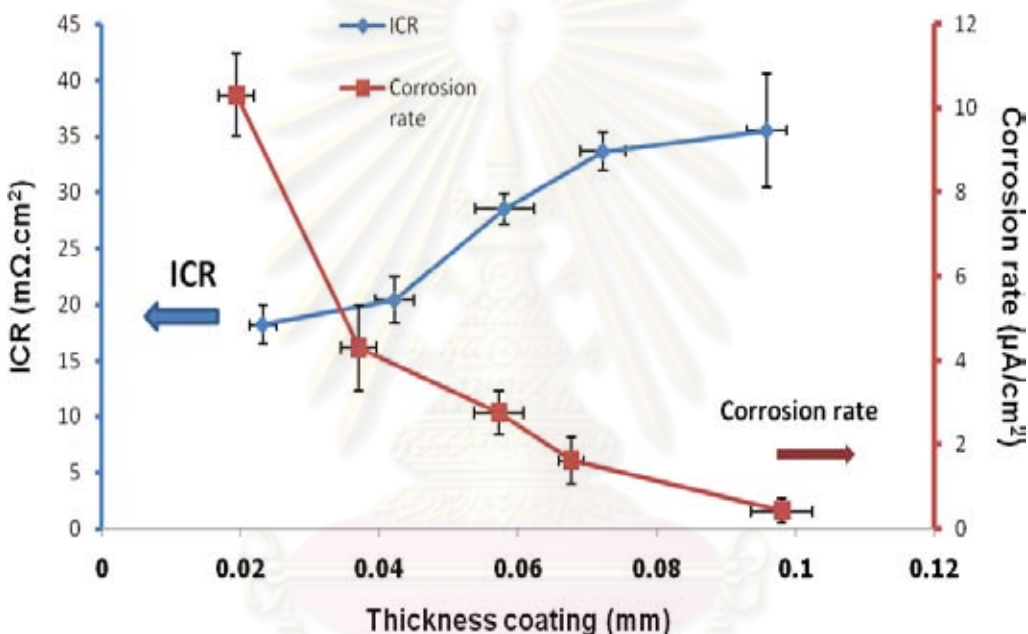
% Addition of acrydic	ICR ($\text{m}\Omega \cdot \text{cm}^2$)	Corrosion rate $\mu\text{A}/\text{cm}^2$
0	1.78 ± 0.15	15.4 ± 1.48
0.05	2.39 ± 0.31	16.6 ± 2.36
0.1	5.73 ± 0.78	25.3 ± 3.49
0.25	6.43 ± 1.32	35.8 ± 5.24
0.5	8.91 ± 1.39	40 ± 8.27
1	9.12 ± 0.55	48 ± 10.18

จากผลการทดลองในตารางที่ 4.4 พบร่วมกับค่าความต้านทานเชิงสัมผัสของแผ่นเหล็กกล้าไร้สนิมเคลือบเพิ่มขึ้นเมื่อมีการเติมอะคริลิกเรซินซึ่งเหมือนกับกรณีที่เติมในปริมาณมากแต่ค่ากระแสกัดกร่อนยังคงไม่ได้ลดลงตามอะคริลิกเรซินที่เพิ่มขึ้น ซึ่งเป็นผลที่มาจากการไม่เข้ากันของเรซินทั้งสองชนิด จึงไม่ได้ผลของกระแสกัดกร่อนที่ลดลงตามที่ตั้งสมมติฐานไว้

จุฬาลงกรณ์มหาวิทยาลัย

4.9 ผลของความหนาของการเคลือบแผ่นเหล็กกล้าไร้สนิมด้วยคาร์บอนคอมโพสิตเมื่อมีการใช้อุ่นคริติกเรซินเป็นตัวประสานต่อค่าความต้านทานเชิงสัมผัสและอัตราการกัดกร่อน

การลดความหนาของการเคลือบพิล์มคาร์บอนคอมโพสิตที่มีการใช้อุ่นคริติกเรซินเป็นตัวประสานและมีการเติมท่อนาโนในคาร์บอนที่มีสภาพนำไฟฟ้าสูง Timesnano 1 (B) ในปริมาณร้อยละ 2 โดยน้ำหนัก เป็นวิธีที่จะช่วยลดค่าความต้านทานเชิงสัมผัสของแผ่นโลหะเคลือบได้ จึงได้ทำการทดลองที่ความหนาในช่วงที่ต่างกันกว่า 0.09 มิลลิเมตร ซึ่งเป็นช่วงที่ใช้ในการเปรียบเทียบกับชิ้นกรีซิน ซึ่งแสดงดังรูปที่ 4.16

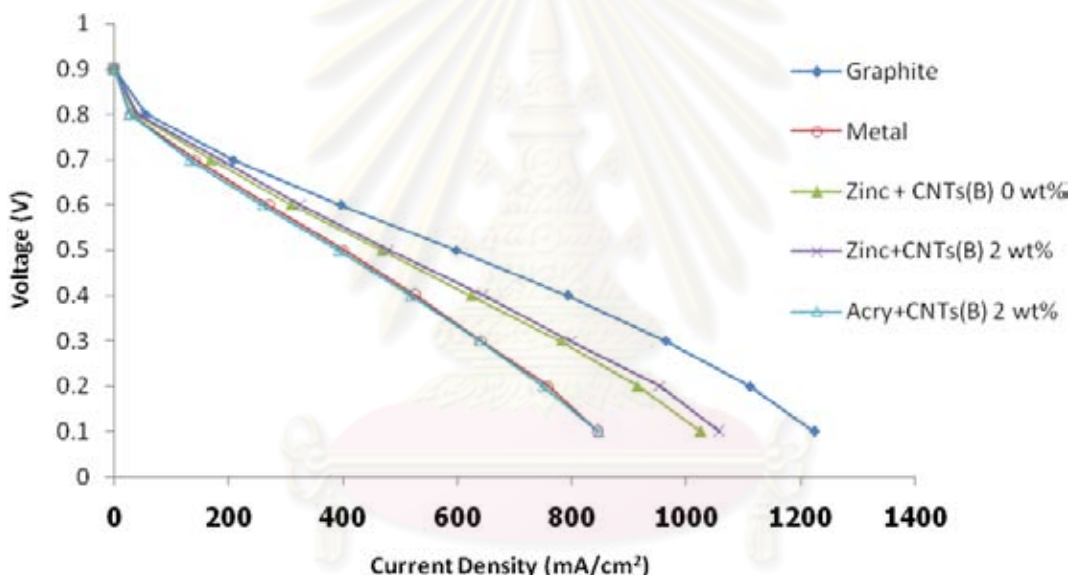


รูปที่ 4.16 ความสัมพันธ์ของความหนาของการเคลือบแผ่นเหล็กกล้าไร้สนิมด้วยคาร์บอนคอมโพสิตเมื่อมีการใช้อุ่นคริติกเรซินเป็นตัวประสานต่อค่าความต้านทานเชิงสัมผัสและอัตราการกัดกร่อน

ผลการทดลองพบว่า ค่ากระแสเกิดกร่อนจะมีค่าสูงขึ้นอย่างเห็นได้ชัด เมื่อความหนาของ การเคลือบแผ่นโลหะต่างกันกว่า 0.035 มิลลิเมตร เนื่องจากพิล์มที่เคลือบบางเกินไปทำให้กรดทะลุเข้ามาทำปฏิกิริยากับแผ่นโลหะได้ง่าย และค่าความต้านทานเชิงสัมผัสจะมีค่าที่ต่ำใกล้เคียงกัน เมื่อความหนาอยู่ในช่วง 0.022-0.043 มิลลิเมตร แต่ค่าความต้านทานเชิงสัมผัสยังมีค่าสูงกว่าการใช้ชิ้นกรีซินเป็นตัวประสานอยู่ จึงไม่เหมาะสมที่จะนำไปทดสอบประสิทธิภาพในชุดต่อไป

4.10 การทดสอบสมรรถนะเซลล์เชือกเพลิงเมื่อใช้แผ่นนำกระแสไฟฟ้าแบบชนิดโลหะเคลือบด้วยคาร์บอนคอมพอยต์จากงานวิจัย

การทดสอบประสิทธิภาพของแผ่นนำกระแสไฟฟ้าชนิดโลหะเคลือบด้วยคาร์บอนคอมพอยต์ในเซลล์เชือกเพลิงชนิด PEM ใช้แผ่นซ่องการไอล์ของแก๊ส ชนิดโลหะเคลือบด้วยคาร์บอนคอมพอยต์ที่ได้จากการวิจัย 2 แผ่นและแผ่นอะลีกโตรดประกอบเมมเบรน (MEA) ขนาดพื้นที่ทำปฏิกิริยา 5 ตารางเซนติเมตร แพลทินัม 0.4 มิลลิกรัมต่อตารางเซนติเมตร เมมเบรนชนิด 115 เปรียบเทียบกับแผ่นซ่องการไอล์ของแก๊สชนิดแกรไฟต์เชิงพาณิชย์ของ Electrochem, Inc โดยแสดงผลเป็นกราฟโพลาไรเซชัน ดังแสดงในรูปที่ 4.17



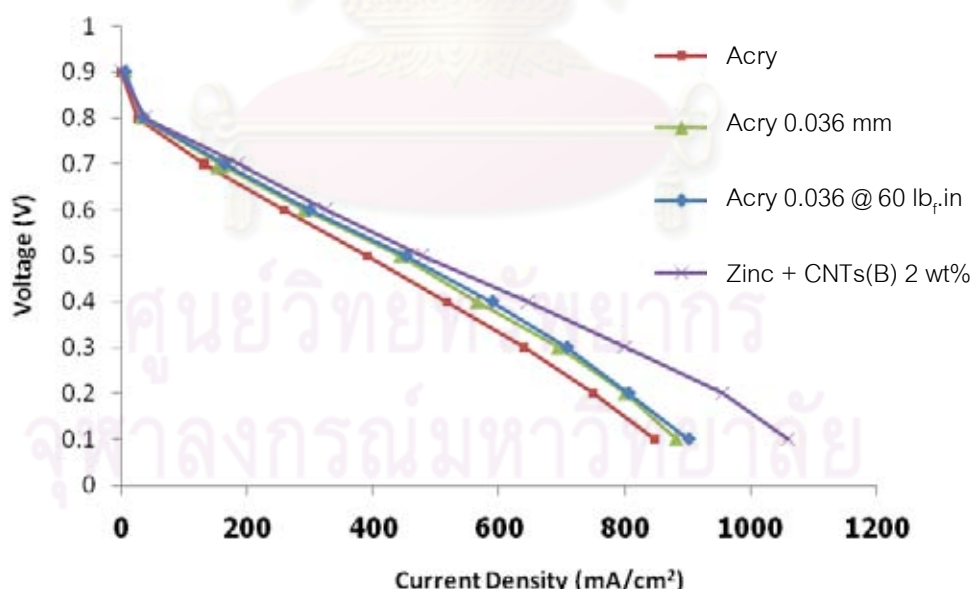
รูปที่ 4.17 โพลาไรเซชันของชุดเซลล์เชือกเพลิงเดี่ยวที่ใช้แผ่นนำกระแสไฟฟ้าชนิดโลหะเคลือบด้วยคาร์บอนคอมพอยต์โดยใช้ท่อนาโนคาร์บอนชนิดสภาพนำไฟฟ้าสูง Timesnano 1 (B) แผ่นนำกระแสไฟฟ้าชนิดโลหะ เปรียบเทียบกับชุดเซลล์เชือกเพลิงเดี่ยวที่ใช้แผ่นนำกระแสไฟฟ้าเชิงพาณิชย์ของ Electrochem, Inc

จากรูปที่ 4.17 พบร่วมกันว่า เซลล์เชือกเพลิงเดี่ยวที่ใช้แผ่นนำกระแสไฟฟ้าชนิดโลหะเคลือบด้วยคาร์บอนคอมพอยต์ที่ใช้ชิ้นเกร็งเป็นตัวประสานและไม่มีการเติมท่อนาโนคาร์บอน จะให้ความหนาแน่นกระแสไฟฟ้า ($310.8 \text{ มิลลิแอมเปอร์ต่อตารางเซนติเมตร}$) น้อยกว่าเซลล์เชือกเพลิงเดี่ยวที่ใช้แผ่นนำกระแสไฟฟ้าชนิดแกรไฟต์เชิงพาณิชย์ของ Electrochem, Inc ($395.4 \text{ มิลลิแอมเปอร์ต่อตารางเซนติเมตร}$) แต่มีค่ามากกว่าเซลล์เชือกเพลิงเดี่ยวที่ใช้แผ่นนำกระแสไฟฟ้าชนิดโลหะ ($270.4 \text{ มิลลิแอมเปอร์ต่อตารางเซนติเมตร}$)

มิลลิแอมเปอร์ต่อตารางเซนติเมตร) ที่ความต่างศักย์ 0.6 โวลต์ ซึ่งสอดคล้องกับงานวิจัยที่ผ่านมาของพาร์ซีย์ [4] เมื่อทำการทดสอบแผ่นนำกระแสไฟฟ้าชนิดโลหะเคลือบโดยใช้การเคลือบที่มีการเติมท่อนาโนคาร์บอนที่ร้อยละ 2 โดยน้ำหนัก พบว่า ได้ค่าความหนาแน่นกระแสไฟฟ้า 325.2 มิลลิแอมเปอร์ต่อตารางเซนติเมตร และ 259 มิลลิแอมเปอร์ต่อตารางเซนติเมตร เมื่อใช้ชิงก์เรซิน และอะคริลิกเรซินเป็นตัวประสานตามลำดับ

จากการทดสอบประสิทธิภาพของแผ่นโลหะเคลือบcarbon nanotube composite พบว่า เมื่อมีการเติมท่อนาโนคาร์บอนชนิดที่มีสภาพนำไฟฟ้าสูง Timesnano 1 (B) ที่ร้อยละ 2 โดยน้ำหนักสามารถเพิ่มค่าความหนาแน่นกระแสไฟฟ้าได้เพียงเล็กน้อยในกรณีของการใช้ชิงก์เรซินเป็นตัวประสานซึ่งเป็นผลมาจากการค่าความต้านทานเชิงสัมผัสที่ลดลงเพียงเล็กน้อย เช่นเดียวกัน (รูปที่ 4.12) แต่ในกรณีของอะคริลิกเรซินพบว่าค่าความต้านทานเชิงสัมผัสสูง (รูปที่ 4.9) ทำให้ค่าความหนาแน่นของกระแสไฟฟ้าที่ได้มีค่าน้อยกว่าการใช้ชิงก์เรซินเป็นตัวประสาน

จากการทดลองหาความหนาที่เหมาะสมของการเคลือบโดยใช้อะคริลิกเป็นตัวประสานในหัวข้อ 4.9 พบว่า ที่ความหนา 0.036 มิลลิเมตร ให้ค่าความต้านทานเชิงสัมผัสและค่ากระแสแกสกัดกร่อนต่ำ (รูปที่ 4.16) ดังนั้นจึงทดสอบสมรรถนะของแผ่นเคลือบcarbon nanotube composite โดยใช้อะคริลิกเป็นตัวประสานที่ความหนาดังกล่าว ผลการทดสอบแสดงในรูปที่ 4.18



รูปที่ 4.18 โพลาไรเซชันของชุดเซลล์เชือกเพลิงเดี่ยวที่ใช้แผ่นนำกระแสไฟฟ้าชนิดโลหะเคลือบด้วย carbon nanotube composite โดยใช้ท่อนาโนคาร์บอนชนิดสภาพนำไฟฟ้าสูง Timesnano 1 (B) ที่ร้อยละ 2 โดยน้ำหนัก โดยใช้อะคริลิกเรซินเป็นตัวประสานที่ความหนาในการเคลือบแผ่นโลหะและแรงอัดเซลล์ต่างกัน

จากรูปที่ 4.18 พบร้า เซลล์เชือเพลิงเดี่ยวที่ใช้แผ่นนำกระแสงไฟฟ้านิคโลหะเคลือบด้วยคาร์บอนคอมพอสิตที่ใช้อะคริลิกเรซินเป็นตัวประสาณและมีการเติมท่อนาโนคาร์บอนชนิดสภาพนำไฟฟ้าสูง Timesnano 1 (B) ที่ร้อยละ 2 โดยน้ำหนัก เมื่อลดความหนาของการเคลือบลงมาที่ 0.036 มิลลิเมตร ให้ความหนาแน่นกระแสงไฟฟ้า 290.4 มิลลิแอม培ร์ต่อตารางเซนติเมตร ซึ่งมากกว่าเซลล์เชือเพลิงเดี่ยวที่ใช้อะคริลิกเรซินเป็นตัวประสาณและมีการเติมท่อนาโนคาร์บอนที่ร้อยละ 2 โดยน้ำหนัก ที่ความหนาของ การเคลือบอยู่ในช่วง 0.09-0.11 มิลลิเมตร (259 มิลลิแอม培ร์ต่อตารางเซนติเมตร) ที่ความต่างศักย์ 0.6 โวลต์ ซึ่งเป็นผลมาจากการค่าความต้านทานเชิงสัมผัสที่ลดลงเมื่อความหนาในการเคลือบแผ่นโลหะลดลง ทำให้ค่าความหนาแน่นกระแสงไฟฟ้าที่ได้มีค่าสูงขึ้น และเมื่อเพิ่มแรงอัดให้แก่เซลล์เชือเพลิงเดี่ยวจาก 40 เป็น 60 ปอนด์แรงนิว ค่าความหนาแน่นกระแสงไฟฟ้าจะเพิ่มขึ้นเล็กน้อยเป็น 299.4 มิลลิแอม培ร์ต่อตารางเซนติเมตร แม้ว่าจะเพิ่มแรงอัดแก่เซลล์เชือเพลิงเดี่ยวเพื่อลดค่าความต้านทานเชิงสัมผัสและให้อิเล็กตรอนสามารถผ่านได้มากขึ้น แต่ค่าความหนาแน่นกระแสงไฟฟ้าที่ได้ยังน้อยกว่าการใช้ซิงก์เรซินเป็นตัวประสาณและมีการเติมท่อนาโนคาร์บอนชนิดสภาพนำไฟฟ้าสูง Timesnano 1 (B) ที่ร้อยละ 2 โดยน้ำหนักในการเคลือบแผ่นโลหะ (325.2 มิลลิแอม培ร์ต่อตารางเซนติเมตร) ทั้งนี้เนื่องจากสมบัติของอะคริลิกเรซินที่มีสภาพการนำไฟฟ้าที่ต่ำ ทำให้การเพิ่มแรงอัดเซลล์เชือเพลิงเดี่ยวส่งผลต่อค่าความหนาแน่นกระแสงไฟฟ้าเพียงเล็กน้อย ซึ่งสอดคล้องกับผลของค่าความต้านทานเชิงสัมผัสที่ต่างกันของตัวประสาณทั้ง 2 ชนิด ดังแสดงดังในรูปที่ 4.9 และ 4.12



บทที่ 5

สรุปผลการทดลองและข้อเสนอแนะ

5.1 สรุปผลการทดลอง

จากการศึกษาการเคลือบแผ่นเหล็กกล้าไร้สนิมด้วยคาร์บอน/เจชินคอมพอสิตโดยมีการใช้ท่อนาโนคาร์บอนเป็นสารตัวเติมที่ความหนาของการเคลือบ 0.09-0.11 มิลลิเมตร และใช้ตัวประสานเป็นซิงก์เรชินและอะคริดิกเรชิน

เมื่อทำการศึกษาค่าความต้านทานเชิงสัมผัสของสารเคลือบที่ประกอบด้วย ผงคาร์บอนซิงก์เรชิน และ ตัวทำละลายโพลีอิน ศึกษาปริมาณผงแบ่งถ่าน (CB) ที่ใช้ พบร่วมค่าความต้านทานเชิงสัมผasmic ค่าลดลงเมื่อเพิ่มปริมาณผงแบ่งถ่านจนคงที่ที่ร้อยละ 20 โดยน้ำหนัก จากนั้นทำการทดลองเติมท่อนาโนคาร์บอนที่ปริมาณร้อยละต่างๆ พบร่วมค่าความต้านทานเชิงสัมผัสที่มีค่าการนำไฟฟ้าสูง Timesnano 1 (B) และท่อนาโนคาร์บอนชนิดค่าการนำไฟฟ้าสูงที่มีหูมูลอยู่บนตัวคือ Timesnano 2 (C) จะทำให้แผ่นโลหะเคลือบcarbon คอมพอสิตมีค่าความต้านทานเชิงสัมผัสต่ำกว่าการเติมท่อนาโนคาร์บอนชนิดค่าการนำไฟฟ้าต่ำ Chiangmai (A) และการเติมท่อนาโนคาร์บอนที่ร้อยละ 2 โดยน้ำหนักจะให้ผลที่ดีของค่าความต้านทานเชิงสัมผัสและค่ากระแสกัดกร่อน แต่เมื่อเติมท่อนาโนคาร์บอนเพิ่มขึ้นเกินกว่าร้อยละ 2 โดยน้ำหนัก จะทำให้สมบัติของแผ่นโลหะเคลือบไม่ดี เนื่องจากเมื่อปริมาณท่อนาโนคาร์บอนสูงขึ้น จะเกิดการเกาะตัวกันเองทำให้สารเคลือบเหล็กกล้าไร้สนิมไม่เรียบสัมผัสถูกให้มีสมบัติที่ไม่ดีเท่ากับกรณีที่มีการเติมที่ร้อยละ 2 โดยน้ำหนัก

ในส่วนของการใช้อุบลักษณ์เป็นตัวประสาน พบร่วมความสามารถลดค่ากระแสกัดกร่อนของแผ่นโลหะเคลือบได้แต่ค่าความต้านทานเชิงสัมผasmic ต่ำกว่า จึงใช้ท่อนาโนคาร์บอนชนิดที่มีค่าการนำไฟฟ้าสูงคือ Timesnano 1 (B) และท่อนาโนคาร์บอนชนิดค่าการนำไฟฟ้าสูงที่มีหูมูลอยู่บนตัวคือ Timesnano 2 (C) มาช่วยปรับปรุงสมบัติการนำกระแสไฟฟ้า จากการทดลองพบว่าสามารถลดค่าความต้านทานเชิงสัมผัสของแผ่นโลหะเคลือบที่มีการใช้อุบลักษณ์เป็นตัวประสานได้แต่ยังไม่ดีเท่ากับการใช้ซิงก์เรชินเป็นตัวประสาน

การเติมท่อนาโนคาร์บอนในปริมาณที่มากเกินกว่าร้อยละ 2 โดยน้ำหนักจะทำให้สมบัติเชิงกลของพิล์มที่เคลือบแผ่นโลหะลดลง โดยเมื่อทำการทดสอบค่าความต้านทานเชิงสัมผัสที่

โมเมนต์ทอร์ก 200 ปอนด์แรงนิ้ว ผิวฟิล์มจะเกิดการแตกและหลุดออกขึ้นจนเห็นผิวของเหล็กกล้า ไว้สนิมว่าไม่ถูกยึดเกาะด้วยตัวประสาน

เมื่อเปรียบเทียบความต้านทานสัมผัสและค่ากระแสการกัดกร่อนของสารเคลือบที่มีซิงก์โรชินและอะคริติกเรซินเป็นองค์ประกอบพบว่า อัตราส่วนสารเคลือบที่เหมาะสมคือผงแปร่งถ่าน (CB) ซิงก์เรซิน และตัวทำละลายโลหุกอินเท่ากับ 20:10:70 โดยน้ำหนัก และมีการเติมท่อนาโนคาร์บอนชนิดที่มีค่าการนำไฟฟ้าสูงคือ Timesnano 1 (B) ที่ร้อยละ 2 โดยน้ำหนัก จะให้ค่าความต้านทานสัมผัสและค่ากระแสการกัดกร่อนที่ดีที่สุดคือ 4 และ 35 มิลลิโอมตาวางเซนติเมตร กับ 6 และ 0.5 ไมโครแอมป์ต่อตารางเซนติเมตรตามลำดับ ซึ่งจะใช้ภาชนะในการเคลือบแผ่นนำกระแสไฟฟ้าที่ใช้ในเซลล์เชื้อเพลิงพื้นที่

จากการทดสอบประสิทธิภาพการทำงานของเซลล์เชื้อเพลิงชนิดพื้นที่ พบว่าชุดเซลล์เชื้อเพลิงเดียวที่ใช้แผ่นนำกระแสไฟฟ้าชนิดโลหะเคลือบด้วยคาร์บอนคอมพ็อกซิตที่ใช้ซิงก์เรซินเป็นตัวประสานและไม่มีการเติมท่อนาโนคาร์บอน ให้ความหนาแน่นกระแสไฟฟ้า 310.8 มิลลิแอมแปร์ต่อตารางเซนติเมตร และเมื่อมีการเติมท่อนาโนคาร์บอนที่ร้อยละ 2 โดยน้ำหนัก จะให้ค่าความหนาแน่นกระแสไฟฟ้า 325.2 มิลลิแอมแปร์ต่อตารางเซนติเมตร ส่วนการใช้อัคริติกเรซินเป็นตัวประสานให้ค่าความหนาแน่นกระแสไฟฟ้า 259 มิลลิแอมแปร์ต่อตารางเซนติเมตร ซึ่งการใช้ตัวประสานทั้งสองชนิดให้ค่าความหนาแน่นกระแสไฟฟ้าน้อยกว่าชุดเซลล์เชื้อเพลิงเดียวที่ใช้แผ่นนำกระแสไฟฟ้าชนิดโลหะ (Electrochem, Inc (395.4 มิลลิแอมแปร์ต่อตารางเซนติเมตร) โดยที่การใช้ซิงก์เป็นตัวประสานจะให้ค่ามากกว่าชุดเซลล์เชื้อเพลิงเดียวที่ใช้แผ่นนำกระแสไฟฟ้าชนิดโลหะ (270.4 มิลลิแอมแปร์ต่อตารางเซนติเมตร) ที่ความต่างศักย์ 0.6 โวลต์

5.2 ข้อเสนอแนะในงานวิจัย

1. การฉีดพ่นสารโดยใช้มือจะทำให้ความหนาของฟิล์มไม่สม่ำเสมอ กว้างจะเปลี่ยนเป็นการใช้เครื่องในการฉีดพ่นเพื่อทำการเคลือบเหล็กกล้าไว้สนิมแทน
2. ในการแผ่นนำกระแสไฟฟ้าชนิดโลหะเคลือบด้วยคาร์บอนจากกระบวนการ CVD หรือ PVD จะให้ค่า ICR ที่ต่ำกว่า เพราะว่าสารเคลือบยึดติดดีกว่า

รายการอ้างอิง

- [1] Stimming, U. Electrochemical Versus Heat-Engine Energy Technology. *Angewandte Chemie International Edition*, 48 (2009): 9230–9237.
- [2] Lee, J.S., Quan, N.D., and Hwang, J. M. Polymer Electrolyte Membrane for Fuel cells. *Journal of Industrial & Engineering Chemistry*. 12 (2006): 175-183.
- [3] Metha, V. Review and analysis of PEM fuel cell design and manufacturing. *Journal of power sources*, 114 (2003): 32-53.
- [4] พรชัย ชินสา, การเตรียมแผ่นนำกระแสไฟฟ้าแบบสองขั้วนิodic carbo-polymer composite โลหะ, วิทยานิพนธ์ปริญญามหาบัณฑิต, สาขาวิชาเทคโนโลยีเชื่อมเพลิง คณะวิทยาศาสตร์ จุฬาลงกรณ์มหาวิทยาลัย, 2552.
- [5] Ma, P.C., et al. Enhanced Electrical Conductivity of Nanocomposites Containing Hybrid Fillers of Carbon Nanotubes and Carbon Black. *ACS Applied Materials & Interfaces*, 5 (2009): 1090–1096.
- [6] Ahmed, S. and Krumpelt, M. Hydrogen from hydrocarbon fuels for fuel cells. *International Journal of Hydrogen Energy*, 26 (2001): 291-301.
- [7] Shah, R. Fuel cell science and technology, chapter introduction. New Delhi: Springer, New York and Anamaya Publishers; 2007.
- [8] Dupuis, A. Proton exchange membranes for fuel cells operated at medium temperatures: Materials and experimental techniques. *Progress in Materials Science*, 56 (2011): 289–327
- [9] Hermann, A., Chudhuri, T., and Spagnol, P. Bipolar plate for PEM fuel cells: A review. *Journal of Hydrogen Energy*, 30 (2005): 1297-1302.
- [10] Middelman, E., Kout, W., and Vogelaar, B. Bipolar plates for PEM fuel cells. *Journal of Power Sources* 118 (2003): 44-46.
- [11] Pylkkanen, T., and Scherer, G. Fuel cell with flexible graphite bipolar plate (online). Available from: http://ene.web.psi.ch/Annex5_PDF/Electrochemistry [2010, August 17]
- [12] Mark, V.B. Composites Materials, the University of Alabama in Huntsville, Huntsville, Alabama, 2000.

- [13] Hull, D., and Clyne, T.W. An Introduction to composite materials, 2nd edition : Cambridge University Press, 1996.
- [14] Lee, S.H., Huang, C.H., and Chen, Y.P. Investigation of PVD coating on corrosion resistance of metallic bipolar plates in PEM fuel cell. Journal of Materials Processing Technology, 140 (2003): 688-693.
- [15] Pecker, D., and Bernstein, I.M., Handbook of Stainless Steel. New York: Mc Graw Hill, 1977
- [16] Pierson, H.O. Handbook of Carbon, Graphite, Diamond and Fullerenes Properties, Process and Applications. Noyes Publications, 1993.
- [17] Joselevich, E. Carbon Nanotube Synthesis and Organization. Carbon Nanotubes Topics Appl. Physics, 111(2008): 101–164.
- [18] Hiraoka , T., Kawakubo, T., and Kimura, J. Selective synthesis of double-wall carbon nanotubes by CCVD of acetylene using zeolite supports. Chemical Physics Letters, 382 (2003): 679–685.
- [19] Yu, M.F., Lourie, O., and Dyer, M. Strength and Breaking Mechanism of Multiwalled Carbon Nanotubes Under Tensile Load. Science 287 (2000): 637–640.
- [20] Collins, P. Nanotubes for Electronics . Scientific American, (2000): 67–69.
- [21] Hirsch, A., and Vostrowsky, O. Functionalization of Carbon Nanotubes. Springer-Verlag Berlin Heidelberg, 2005
- [22] Kuzmany, H., Kukovecz, A., and Simon, F. Functionalization of carbon nanotubes. Synthetic Metals 141 (2004): 113–122.
- [23] Ma, P.C., Siddiqui, A., and Marom, G. Dispersion and functionalization of carbon nanotubes for polymer-based nanocomposites: A review. Composites: Part A 41 (2010): 1345–1367.
- [24] Lee, J. H., Kima, S. K., and Kim, N. H., Effects of the addition of multi- walled carbon nanotubes on the positive temperature coefficient characteristics of carbon-black-filled high-density polyethylene nanocomposites. Scripta Materialia, 55 (2006): 1119–1122.
- [25] Tomokazu, F., et al. Carbon-Coated stainless steel as PEFC bipolar plate material. Journal of Power Sources, 174 (2007): 199-205.

- [26] Shigehiro, K., Hiroyuki, U., and Masahiro, W. Metal separator coated with carbon/resin composite layers for PEFCs. *Electrochimica Acta*, 53 (2007): 2025-2033.
- [27] Lee, Y.B., and Lim, D.S. Electrical and corrosion properties of stainless steel bipolar plates coated with a conduction polymer composite. *Current Applied Physics*, 10 (2010): 18-20.





ภาควิชานวัตกรรม

ศูนย์วิทยทรัพยากร
จุฬาลงกรณ์มหาวิทยาลัย

ภาคผนวก ก

สมบัติของสารเคมีที่ใช้ในงานวิจัย

ก-1 สมบัติของผงคาร์บอนที่ใช้ในงานวิจัย

ตาราง ก1 สมบัติของผงคาร์บอนที่ใช้ในงานวิจัย

	ขนาดอนุภาค (ไมโครเมตร)	ความหนาแน่น (กรัม/ลูกบาศก์เซนติเมตร)
ผงแปรงถ่าน	18.64±0.13	0.728

องค์ประกอบของผงคาร์บอนชนิดผงแปรงถ่าน

คาร์บอนคงที่ ร้อยละ	79.7
เก้า ร้อยละ	17.8
องค์ประกอบที่ระหว่างได้ ร้อยละ	2
ความชื้น ร้อยละ	0.5

ก-2 สมบัติของห่อคาร์บอนนาโนชนิดค่าการนำไฟฟ้าต่ำ Chiangmai (A) (Multi-wall Carbon nanotubes, MWNTS)

ขนาดเส้นผ่าศูนย์กลางภายนอก (นาโนเมตร)	20-50
ขนาดเส้นผ่าศูนย์กลางภายใน (นาโนเมตร)	5-20
ความยาว (ไมโครเมตร)	10
ความบริสุทธิ์ (ร้อยละ)	90
สภาพนำไฟฟ้า (ซีเมนส์ต่อเซนติเมตร)	1.25

แหล่งข้อมูล : ภาควิชาพิสิกส์และวัสดุศาสตร์ มหาวิทยาลัยเชียงใหม่

ก-3 สมบัติของท่อคาร์บอนนาโนชนิดค่าการนำไฟฟ้าสูง Timesnano 1 (B) (High conductivity multi-wall Carbon nanotubes, MWNTS)

ขนาดเส้นผ่านศูนย์กลางภายนอก (นาโนเมตร)	30-50
ขนาดเส้นผ่านศูนย์กลางภายใน (นาโนเมตร)	5-20
ความยาว (ไมโครเมตร)	10-20
ความบริสุทธิ์ (ร้อยละ)	95
สภาพนำไฟฟ้า (ซีเมนส์ต่อเซนติเมตร)	> 100

แหล่งข้อมูล : บริษัท Chengdu Organic Chem.

ก-4 สมบัติของท่อคาร์บอนนาโนชนิดค่าการนำไฟฟ้าสูงและมีหมู่คาร์บอคิลิก Timesnano 2 (C) (High conductivity multi-wall Carbon nanotubes with carboxylic group, MWNTS-COOH)

ขนาดเส้นผ่านศูนย์กลางภายนอก (นาโนเมตร)	30-50
ขนาดเส้นผ่านศูนย์กลางภายใน (นาโนเมตร)	5-20
ความยาว (ไมโครเมตร)	10-20
ความบริสุทธิ์ (ร้อยละ)	95
สภาพนำไฟฟ้า (ซีเมนส์ต่อเซนติเมตร)	>100
หมู่คาร์บอคิลิก (ร้อยละโดยน้ำหนัก)	0.73

แหล่งข้อมูล : บริษัท Chengdu Organic Chem.

ก-5 ชิงค์เรซิน

คุณสมบัติ
ประกอบด้วยสังกะสีบริสุทธิ์ ร้อยละ 95 โดยน้ำหนัก
เป็นตัวคงพื้นที่ดีสำหรับโลหะ
เพื่อป้องกันสนิมและการกัดกร่อน
แห้งเร็วมาก ภายใน 5-10 นาที

แหล่งข้อมูล : บริษัท รีเดิร์จโปรดัก อินเตอร์เนชันแนล จำกัด

ก-6 อะคริลิกเรซิน

สมบัติ

เป็นสารอนุพันธ์ของอะคริลิก

มีสมบัติการยึดเกาะและความแข็งที่ดีเยี่ยม

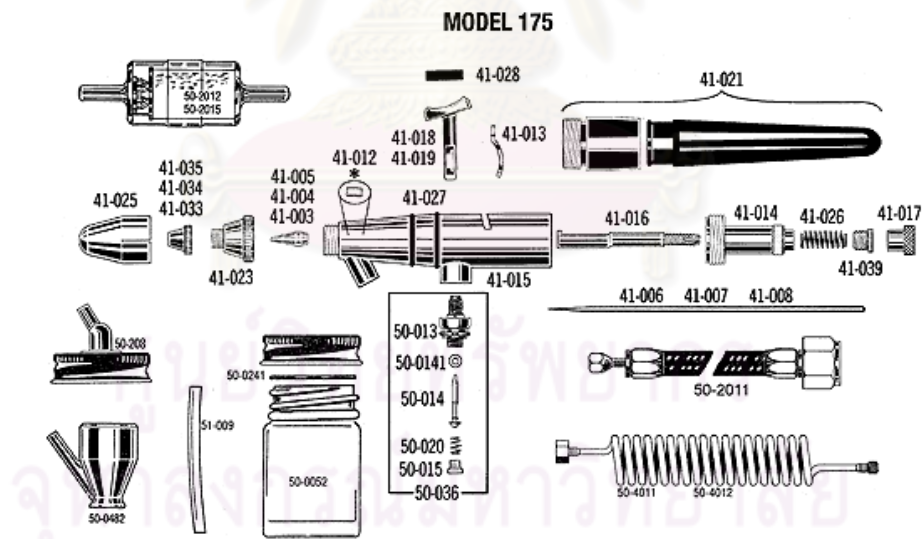
ป้องกันการกัดกร่อนจากสารเคมีได้ดี

แห้งเร็ว

ตัวทำละลายที่เข้ากันได้ : โอลูอีนและบิวทานอล

แหล่งข้อมูล : บริษัท Aekyung chemical

ก-7 เครื่องฉีดพ่น Model 175 Crescendo air brush





ปั๊มลม : ชนิด Oil Reciprocating Piston

กำลังม้า : 1/4 แรงม้า (HP.)

แรงดันลมสูงสุด : 6 บาร์ (BAR)

ระดับเสียง : 30 dB

ความจุถังลม : 3 ลิตร

กระแสไฟฟ้า : 220 V. 50 Hz.

หัวฉีดพ่น หมายเลข 41- 005 ขนาดใหญ่ มีเส้นผ่าศูนย์กลาง 2 มิลลิเมตร

ความดันปั๊มลมที่ใช้ในการทดลอง 10 lb/in²

แหล่งข้อมูล : บริษัท True International co., Ltd.

ภาคผนวก ข

ตัวอย่างการคำนวณ

ข-1 การคำนวณค่าความต้านทานเชิงสัมผัส

ข้อมูลการทดลอง ชิ้นงานเหล็กกล้าไร้สนิม (SUS 304) เคลือบด้วยคาร์บอนคอมพอยสิตที่ประกอบด้วยสารผงแปรรูปถ่าน (CB): โลหะอื่น: ซิงค์เรซิน ในอัตราส่วนร้อยละ 20:70:10 โดยนำหันก ที่ความหนาในการเคลือบประมาณ 0.09 มิลลิเมตร

$$\text{สมการหาค่าความต้านทานสัมผัส (ICR) } = (R_2 - R_1)/2$$

R_1 = วัดค่าความต้านทานสัมผัสของเครื่องมือวัด (mohm.cm^2)

R_2 = วัดค่าความต้านทานผิวสัมผัสตอนมีชิ้นงาน (mohm.cm^2)

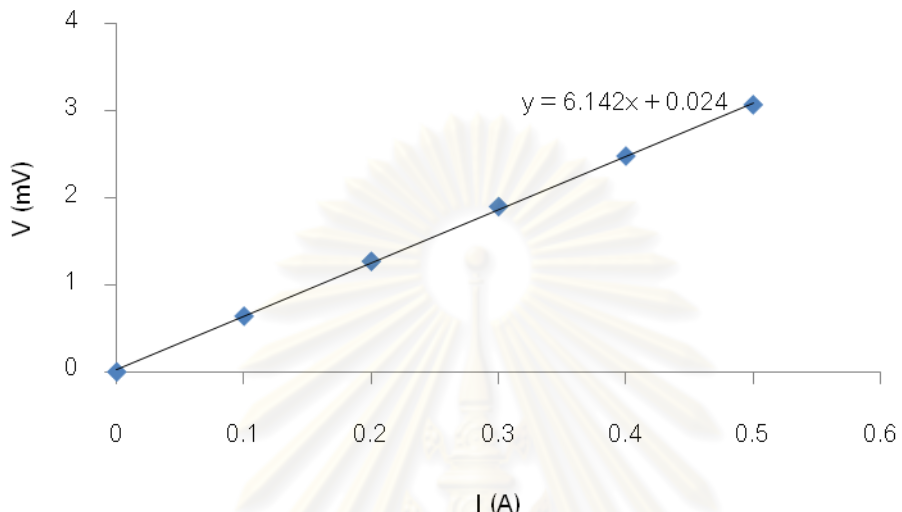
วัดค่าความต้านทานสัมผัสเครื่องมือวัด R_1

A คือพื้นผิวสัมผัสระหว่างผ้าคาร์บอน, $A = 1.7 \text{ cm}^2$

ที่ไมเมนต์ทอร์ก 60 ปอนด์แรงนิ่ว

I(A)	V(mV)
0	0
0.1	0.64
0.2	1.27
0.3	1.9
0.4	2.48
0.5	3.07

นำไปพล็อตกราฟระหว่างค่าความต่างศักย์และกระแสไฟฟ้าจากนั้นคำนวณหาความต้านทานโดยสมการกฎของโอล์ม $V = IR$



ความสัมพันธ์ของค่าความต่างศักย์และกระแสไฟฟ้าที่แสดงค่าความต้านทานของเครื่องมือ

ค่าความต้านทาน

$$R = 6.142 \text{ mohm}$$

ค่าความต้านทานเชิงสัมผัสของเครื่องมือวัด $R_1 = R \times A$

$$R_1 = 6.142 \times 1.7$$

$$R_1 = 10.44 \text{ mohm cm}^2$$

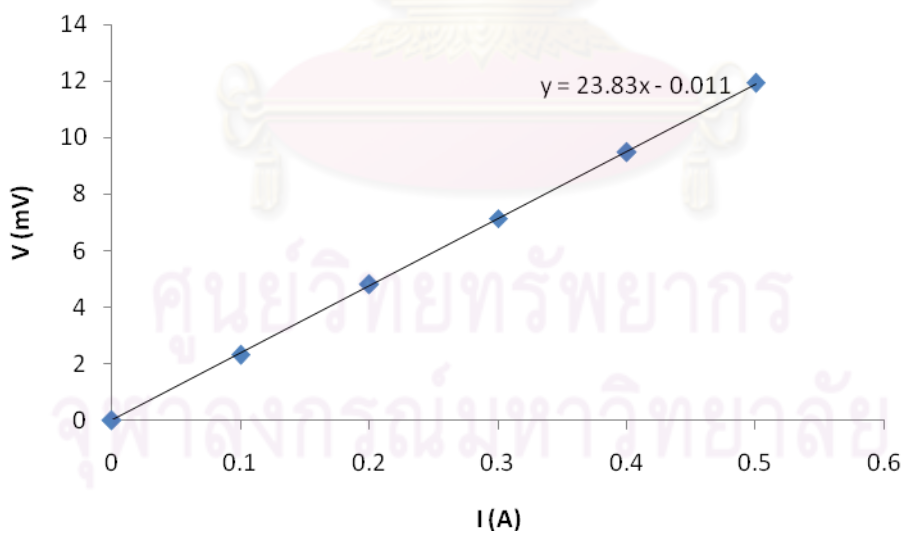
ศูนย์วิทยทรัพยากร
จุฬาลงกรณ์มหาวิทยาลัย

วัดค่าความต้านทานเชิงสัมผัสชิ้นงาน R_2

A คือพื้นผิวสัมผัสระหว่างชิ้นงานและผ้าคาร์บอน, $A = 1.4 \text{ cm}^2$

I(A)	V(mV)
0	0
0.1	2.32
0.2	4.81
0.3	7.15
0.4	9.48
0.5	12.28

นำไปพล็อตกราฟระหว่างค่าความต่างศักย์และกระแสไฟฟ้าจากนั้นคำนวณหาความต้านทานโดยสมการกฎของโอล์ม $V = IR$



ความสัมพันธ์ของค่าความต่างศักย์และกระแสไฟฟ้าที่แสดงค่าความต้านทานของชิ้นงาน

$$\begin{array}{ll} \text{ค่าความต้านทาน} & R = 23.83 \text{ mohm} \\ \text{ค่าความต้านทานสัมผัสของชิ้นงาน} & R_2 = RxA \\ & R_2 = 23.83 \times 1.4 \\ & R_2 = 33.362 \text{ mohmcm}^2 \end{array}$$

หากค่าความต้านทานสัมผัสรวมตามสมการหาค่าความต้านทานเชิงสัมผัส

$$(ICR) = (R_2 - R_1)/2$$

$$(ICR) = (33.362 - 10.44)/2$$

$$(ICR) = 11.46 \text{ mohmcm}^2$$

ข-2 ค่าความต้านทานเชิงสัมผัสของแผ่นเหล็กกล้าไร้สนิม

$$\begin{array}{l} \text{ที่ไมเมนต์ทอร์ก } 40 \text{ ปอนด์แรงนิว } (ICR) = 8.77 \text{ mohmcm}^2 \\ \text{ที่ไมเมนต์ทอร์ก } 200 \text{ ปอนด์แรงนิว } (ICR) = 1.41 \text{ mohmcm}^2 \end{array}$$

ศูนย์วิทยทรัพยากร
จุฬาลงกรณ์มหาวิทยาลัย

ประวัติผู้เขียนวิทยานิพนธ์

นาย จักรพงศ์ ศิริประสมทรัพย์ เกิดวันที่ 20 กรกฎาคม พ.ศ. 2529 ที่จังหวัดนครราชสีมา สำเร็จการศึกษาชั้นมัธยมศึกษา จากโรงเรียนบุญวัฒนา จังหวัดนครราชสีมา สำเร็จการศึกษา ปริญญาตรี วิทยาศาสตร์บัณฑิต ภาควิชาฟิสิกส์ มหาวิทยาลัยขอนแก่น ในปีการศึกษา 2550 และ เข้าศึกษาในหลักสูตรวิทยาศาสตร์บัณฑิต สาขาวิชาเทคโนโลยีเพลิง ภาควิชาเคมีเทคนิค จุฬาลงกรณ์มหาวิทยาลัย เมื่อ พ.ศ. 2551

ศูนย์วิทยทรัพยากร
จุฬาลงกรณ์มหาวิทยาลัย